

Şekil 2.4. Sonsuz küçük plak elemanın dengesi

$$1) \sum P_z = 0$$

$$\rho dx dy + \frac{\partial Q_x}{\partial x} dx dy + \frac{\partial Q_y}{\partial y} dx dy = 0$$

$$\frac{\partial Q_x}{\partial x} + \frac{\partial Q_y}{\partial y} = -\rho \quad (2.16)$$

$$2) \sum M_x = 0$$

$$\frac{\partial M_x}{\partial x} dx dy + \frac{\partial M_{yx}}{\partial y} dx dy - (Q_x + \frac{\partial Q_x}{\partial x} dx) dy dx - \frac{\partial Q_y}{\partial y} dy dx \cdot \frac{dx}{2} - \rho dx dy \cdot \frac{dx}{2} = 0$$

$$\frac{\partial M_x}{\partial x} + \frac{\partial M_{yx}}{\partial y} = Q_x \quad (2.17)$$

3)  $\sum M_y = 0$  benzer şekilde :

$$\frac{\partial M_y}{\partial y} + \frac{\partial M_{xy}}{\partial x} = Q_y \quad (2.18)$$

(2.17) ve (2.18) bağıntıları ile (2.15) bağıntısının yardımıyla  $Q_x$  ve  $Q_y$ 'nin ( $w$ ) cinsinden değerleri bulunabilir.

$$Q_x = -D (W'''_{xxx} + \mu \cdot W'''_{yyx}) - D(1-\mu) W'''_{xyy}$$

$$Q_x = -D (W'''_{xxx} + W'''_{yyx}) \quad (2.19)$$

$$Q_y = -D (W'''_{yyy} + W'''_{xxz}) \quad (2.20)$$

veya

$$Q_x = -D \left( \frac{\partial^3 w}{\partial x^3} + \frac{\partial^3 w}{\partial y \partial x^2} \right) = -D \cdot \frac{\partial}{\partial x} \Delta w \quad (2.21)$$

$$Q_y = -D \left( \frac{\partial^3 w}{\partial y^3} + \frac{\partial^3 w}{\partial x^2 \partial y} \right) = -D \cdot \frac{\partial}{\partial y} \Delta w \quad (2.22)$$

$\Delta$  : Laplace operatörü

$$\Delta = \frac{\partial^2}{\partial x^2} + \frac{\partial^2}{\partial y^2} \quad (2.23)$$

$Q_x$  ve  $Q_y$ 'nin (2.21) ve (2.22)'de bulunan değerleri (2.16) bağıntısında yerine yazılıp dış yükle deformasyonlar arasındaki diferansiyel denklem bulunabilir.

$$-D \left( \frac{\partial^4 w}{\partial x^4} + \frac{\partial^4 w}{\partial^2 y \partial x^2} \right) - D \left( \frac{\partial^4 w}{\partial y^4} + \frac{\partial^4 w}{\partial x^2 \partial y^2} \right) = -P$$

$$\frac{\partial^4 w}{\partial x^4} + 2 \frac{\partial^4 w}{\partial x^2 \partial y^2} + \frac{\partial^4 w}{\partial y^4} = \frac{P}{D}$$

(2.24)

Bunu Laplacien olarak gösterirsek

$$\Delta \Delta w = \Delta^2 w = \frac{P}{D}$$

$$\Delta^2 w = \nabla^2 w \quad \text{ile gösterilirse}$$

$$\nabla W = \frac{P}{D}$$

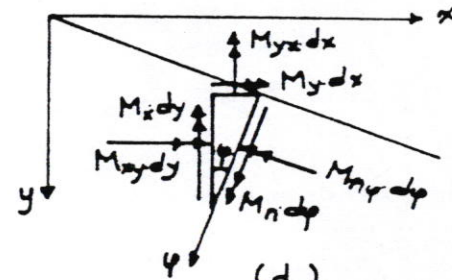
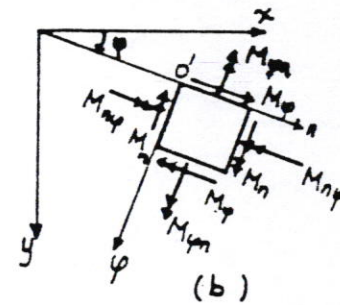
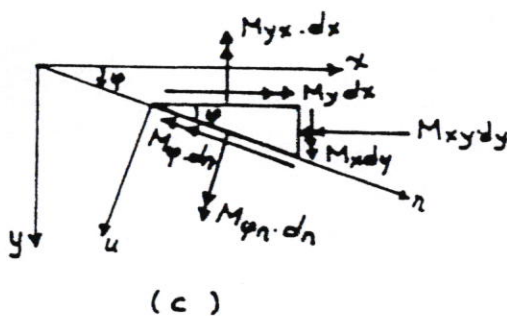
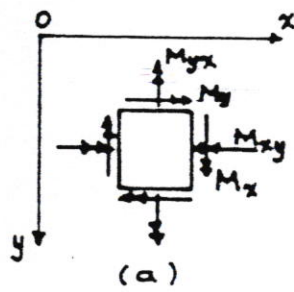
(2.25)

$\nabla$  harfinin gösterdiği işleme Hamilton operatörü denir. (2.24) ya da (2.25) bağıntıları "Karteziyen koordinatlarda plak diferansiyel denklemi" olarak adlandırılır. Bu denklem çözülderek  $w$ 'ler  $p$  cinsinden bulunursa (2.15), (2.21) ve (2.22) bağıntıları yardımıyla her noktada ki iç kuvvetler ( $M_x$ ,  $M_y$ ,  $M_{xy}$ ) hesaplanabilir.

$M_x = -D(W''_{xx} + \mu W''_{yy})$	$Q_x = -D \frac{\partial}{\partial x} \Delta w$
$M_y = -D(W''_{yy} + \mu W''_{xx})$	$Q_y = -D \frac{\partial}{\partial y} \Delta w$
$M_{xy} = -D(1-\mu) W''_{xy}$	

#### 2.8. Eksen Takiminin Değişmesi Durumunda Momentler

Bunlar birbirine dik ( $x, y$ ) eksen takımına göre  $x, y$  doğrultusunda bulunan momentlerdir. Acaba yine birbirine dik, fakat değişik bir ( $n, \varphi$ ) eksen takımına göre momentler ne olur?



Şekil 2.5. Eksen dönüştürme

Şekil (2.5.c) 'de

$$dx = dn \cdot \cos \varphi$$

$$dy = dn \cdot \sin \varphi$$

(n) ekseni üzerinde momentlerin izdüşümü alınırsa ( n eksenine göre denge şartı ) :

$$M_\varphi \cdot dn - M_y \cdot dx \cdot \cos \varphi - M_x \cdot dy \cdot \sin \varphi + M_{xy} \cdot dy \cdot \cos \varphi + M_{yx} \cdot dx \cdot \sin \varphi = 0$$

$$M_\varphi \cdot dn - M_y \cos^2 \varphi \cdot dn - M_x \cdot \sin^2 \varphi \cdot dn + 2M_{xy} \cdot \sin \varphi \cdot \cos \varphi \cdot dn = 0$$

$$M_\varphi = M_x \cdot \sin^2 \varphi + M_y \cdot \cos^2 \varphi - M_{xy} \cdot \sin 2\varphi$$

Yine şekil (2.5.c) 'de bu kez  $\varphi$  ekseni üzerinde izdüşüm alınırsa :

$$M_{\varphi n} \cdot dn - M_y \cdot dx \cdot \sin \varphi + M_{xy} \cdot dy \cdot \sin \varphi + M_x \cdot dy \cdot \cos \varphi - M_{yx} \cdot dx \cdot \cos \varphi = 0$$

$$M_{\varphi n} \cdot dn + (-M_y \sin \varphi \cos \varphi + M_{xy} \sin^2 \varphi + M_x \sin \varphi \cos \varphi - M_{yx} \cos^2 \varphi) dn = 0$$

$$M_{\varphi n} = M_{n\varphi} = \frac{1}{2} (M_y - M_x) \sin 2\varphi + M_{xy} \cdot \cos 2\varphi$$

Şekil (2.5.d) 'de :  $dx = d\varphi \cdot \sin \varphi$        $dy = d\varphi \cdot \cos \varphi$

Şekil (2.5.d) 'de ( $\varphi$ ) ekseni üzerinde izdüşüm denklemi yazılırsa :

$$M_n \cdot d\varphi - M_x \cdot \cos \varphi dy - M_y \cdot \sin \varphi dx - M_{yx} \cdot \cos \varphi dx - M_{xy} \cdot \sin \varphi dy = 0$$

$$M_n d\varphi - (M_x \cos^2 \varphi + M_y \sin^2 \varphi + 2M_{xy} \sin \varphi \cos \varphi) d\varphi = 0$$

$$M_n = M_x \cdot \cos^2 \varphi + M_y \cdot \sin^2 \varphi + M_{xy} \cdot \sin 2\varphi$$

$$M_\varphi = M_x \cdot \sin^2 \varphi + M_y \cdot \cos^2 \varphi - M_{xy} \cdot \sin 2\varphi$$

$$M_n = M_x \cdot \cos^2 \varphi + M_y \cdot \sin^2 \varphi + M_{xy} \cdot \sin 2\varphi \quad (2.26)$$

$$M_{n\varphi} = M_{\varphi n} = \frac{1}{2} (M_y - M_x) \sin 2\varphi + M_{xy} \cdot \cos 2\varphi$$

Bu denklemler eksen dönüşümü (transformasyon) denklemleri olarak adlandırılır.

Sonuçların İrdelenmesi :

1) İlk iki denklem toplanırsa :

$$M_n + M_\varphi = M_x + M_y \quad (2.27)$$

Orthogonal (dik) iki doğrultudaki momentlerin toplamı sabittir.

$$M_x = -D(W''_{xx} + \mu \cdot W''_{yy})$$

$$M_y = -D(W''_{yy} + \mu \cdot W''_{xx})$$

$$M_x + M_y = -D(1 + \mu)(W''_{xx} + W''_{yy})$$

$$\frac{M_x + M_y}{1 + \mu} = -D(W''_{xx} + W''_{yy})$$

$$\frac{M_x + M_y}{1 + \mu} = \mathcal{M} \quad \text{denirse ,} \quad (2.28)$$

$$\mathcal{M} = -D \cdot \Delta W \quad (2.29)$$

$$\Delta W = -\frac{\mathcal{M}}{D} \quad (2.30)$$

Açık yazılırsa  $\frac{\partial^2 w}{\partial x^2} + \frac{\partial^2 w}{\partial y^2} = -\frac{\mathcal{M}}{D}$

$$\Delta \Delta W = \nabla W = -\frac{\Delta \mathcal{M}}{D} \quad (2.31)$$

$$\nabla W = \frac{P}{D} \quad (2.24) \text{ ile bulunmuştur.}$$

$$-\frac{\Delta \mathcal{M}}{D} = \frac{P}{D}$$

$$\boxed{\Delta \mathcal{M} = -P} \quad (2.32)$$

Açık yazılırsa :

$$\boxed{\frac{\partial^2 \mathcal{M}}{\partial x^2} + \frac{\partial^2 \mathcal{M}}{\partial y^2} = -P} \quad (2.32 a)$$

(2.30) ve (2.32) bağıntıları ile plak diferansiyel denklemi, 2.mer-

tebeden iki diferansiyel denkleme ayrılabilir.

$$\frac{\partial^2 M}{\partial x^2} + \frac{\partial^2 M}{\partial y^2} = -P \quad \frac{\partial^2 w}{\partial x^2} + \frac{\partial^2 w}{\partial y^2} = -\frac{M}{D}$$

Bir plak probleminde momentler toplamının sınır değerleri biliniyorsa (2.32) 'den  $w$  'den bağımsız olarak  $M(x,y)$  bulunabilir. Sonra (2.30) dan  $w(x,y)$  hesaplanabilir.

2 ) Asal momentlerin bulunması :

$$M_{nt} = 0 \quad \text{olmalı}$$

$$\frac{1}{2} (M_y - M_x) \sin 2\varphi + M_{xy} \cdot \cos 2\varphi = 0$$

$$\operatorname{tg} 2\varphi = \frac{2 M_{xy}}{M_x - M_y} \quad (2.33)$$

$\operatorname{tg} 2\varphi$  'nin bu değeri (2.26) denklem takımda yerine yazılırsa :

$$\cos^2 2\varphi = \frac{1}{1 + \operatorname{tg}^2 2\varphi} \quad \cos 2\varphi = \frac{M_x - M_y}{\sqrt{(M_x - M_y)^2 + 4 M_{xy}^2}}$$

$$\sin 2\varphi = \operatorname{tg} 2\varphi \cdot \cos 2\varphi = \frac{2 M_{xy}}{\sqrt{(M_x - M_y)^2 + 4 M_{xy}^2}}$$

$$\begin{aligned} M_\varphi &= \frac{1}{2} M_x (1 - \cos 2\varphi) + \frac{1}{2} M_y (1 + \cos 2\varphi) - M_{xy} \sin 2\varphi \\ &= \frac{1}{2} [(M_x + M_y) - \cos 2\varphi (M_x - M_y) - 2 M_{xy} \cdot \sin 2\varphi] \end{aligned}$$

$$M_{\varphi n} = \frac{1}{2} (M_x + M_y) \mp \sqrt{(M_x - M_y)^2 + 4 M_{xy}^2}$$

$$M_{\varphi n} = 0$$

(2.34)

Özel hal :  $M_x = M_y$

$$\boxed{\begin{aligned} M_{\frac{\varphi}{n}} &= M_x \mp M_{xy} \\ M_{\varphi n} &= 0 \end{aligned}} \quad (2.35)$$

$$M_x = M_y = 0 \quad M_{xy} \neq 0$$

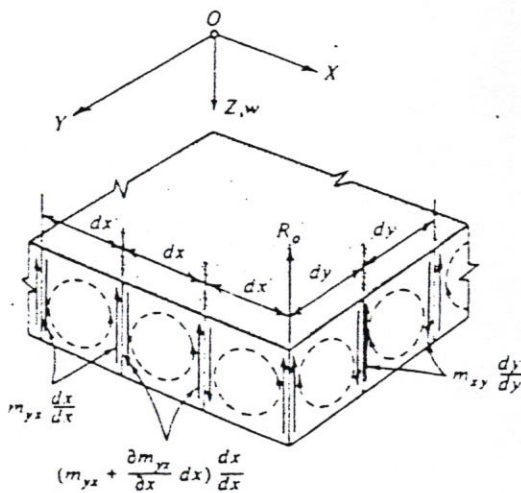
$$\boxed{\begin{aligned} M_{\frac{\varphi}{n}} &= \mp M_{xy} \\ \varphi &= \pi/4, 3\pi/4 \end{aligned}} \quad (2.36)$$

$$M_x \neq 0, M_y \neq 0, M_{xy} = 0$$

$$\boxed{\begin{aligned} M_{\frac{\varphi}{n}} &= M_x \\ \varphi &= 0, \pi/2 \end{aligned}} \quad (2.37)$$

### 2.9. Sınır Sartları

Bir plak probleminde  $w(x,y)$  çözümü yardımcıyla, plaqin kenarında kesit büyüklüklerinin 3 sınır değeri elde edilir. Bunlar eğil-



Şekil 2.6. Serbest mesnetlerde burulma etkisi

me momenti  $M_x$  ( ya da  $M_y$  ), burulma momenti  $M_{xy}$  ( ya da  $M_{yx}$  ) ve kesme kuvveti  $Q_x$  ( ya da  $Q_y$  ) dir. Sınır şartlarının kesin olarak sağlanması durumunda bu kenar büyülüklerinin , eğilme momenti , burulma momenti ve kesme kuvvetinin dış değerleri ile aynı olması gereklidir . Oysa  $w(x,y)$  çözümü ancak 2 sınır şartını sağlayacak biçimde tertiplenebilir . İki sınır şartının yeterli olabilmesi için şu yol izlenir: Kenarda etkiyen burulma momentleri , kuvvet çiftleri olarak ifade edilsin . Birim boyaya etkiyen burulma momenti  $M_{xy}$  , dy boyuma etkiyen burulma momenti  $M_{xy} \cdot dy$  dir. (Şekil 2.6)

Şimdi her bir eleman için ortadan kesim yapıp , düşey kuvvetlerin toplamı yazılırsa , aşağıya doğru etkiyen  $(\frac{\partial M_{xy}}{\partial y} \cdot dy)$  kuvvetleri bulunur . Birim boyaya etki eden kuvvet ise  $(\frac{\partial M_{xy}}{\partial y})$  olur . Demek ki burulma momenti yerine birim boyaya etkiyen  $(\frac{\partial M_{xy}}{\partial y})$  şiddetinde bir " eşdeğer kesme kuvveti " alınabilir . Literatürde bu kuvvetler "K i r - c h h o f f 'un ek kuvvetleri " olarak anılır .

$$\begin{aligned} V_x &= Q_x + \frac{\partial M_{xy}}{\partial y} \\ V_y &= Q_y + \frac{\partial M_{yx}}{\partial x} \end{aligned} \quad (2.38)$$

(2.19)da  $Q_x = -D(W''_{xxx} + W''_{yyx})$  bulunmuştur . (2.15)de ise  $M_{xy} = -D(1-\mu)W''_{xy}$

$$\frac{\partial M_{xy}}{\partial y} = -D(1-\mu)W'''_{yy}$$

$$V_x = -D[W'''_{xxx} + (2-\mu)W'''_{yyx}]$$

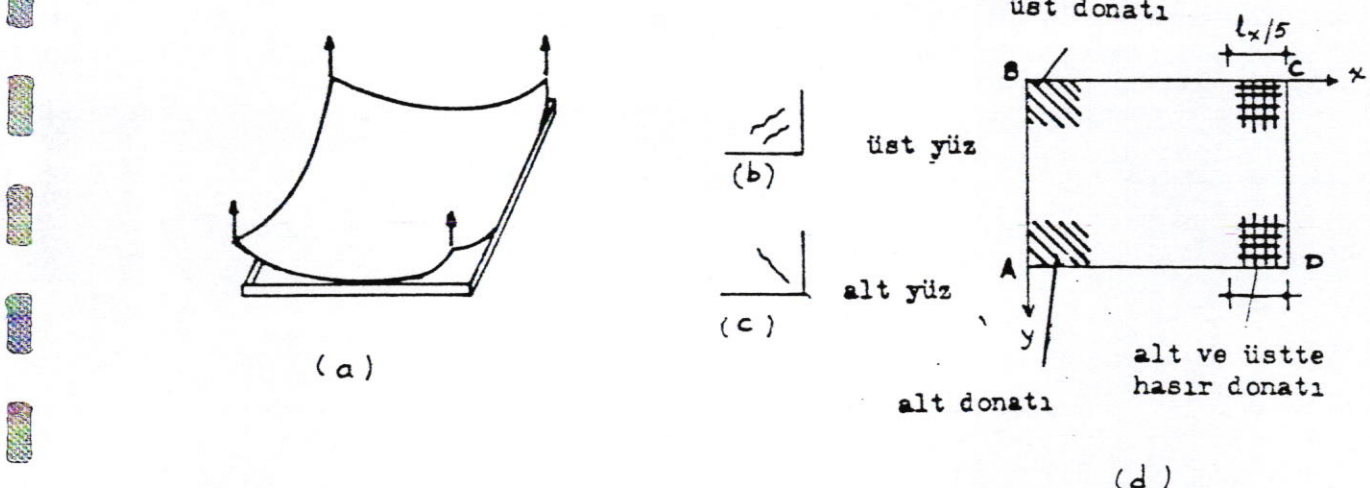
bulunur . Benzer şekilde  $V_y$  'de yazılırsa :

$$\begin{aligned} V_x &= -D[W'''_{xxx} + (2-\mu)W'''_{yyx}] \\ V_y &= -D[W'''_{yyy} + (2-\mu)W'''_{xxz}] \end{aligned} \quad (2.39)$$

Sadece köşelerde bir sorun çıkar . Diğer kuvvetler birbirini götürür , fakat uçtakiler toplanır ; buna " köşe kuvveti " denir .

$$R_o = 2 M_{xy} \quad (2.40)$$

Eğer plak köşelerde tutulmuyorsa , plakın köşeleri yukarı kalkacak ve kesit tesirleri değişeceğ demektir .



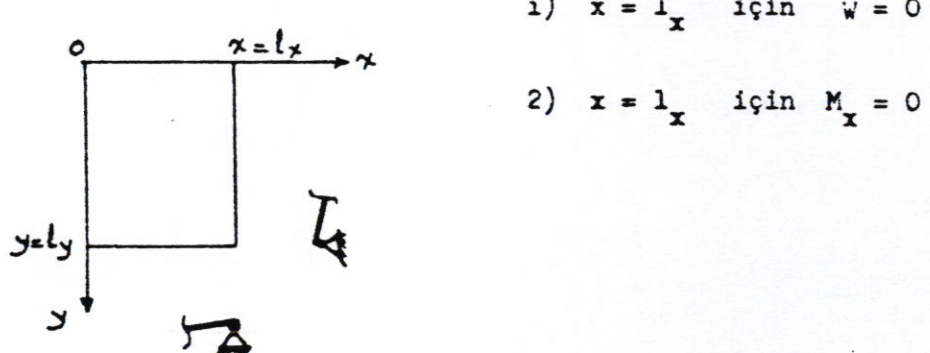
Şekil 2.7. Kenarlarından basit mesnetli plak

- (a) Köşelerden tutulmamış , (b) ve (c) Köşelerden tutulmuş,köşe donatısı yok
- (d) Köşe donatıları

Köşeler tutulur ve gerekli köşe donatısı konmazsa , (b) ve (c)'de görüldüğü gibi alt yüzde diyagonal ; üst yüzde ise buna dik çekme çatlakları görülür . Köşe donatılarının çekme çatlaklarına dik olması gereklidir . (d) 'de A ve B köşelerindeki bu donatılar gösterilmiştir . Ancak donatıyı böyle yerleştirmek pratik olmaz . Çünkü her donatinin boyu değişiktir . Bunun yerine C ve D köşelerinde görüldüğü gibi ,  $l_x/5$  uzunluğunda , alta ve üste her iki doğrultuda (hasır) köşe donatısı yerleştirilir .

Şimdi , mesnetlenme biçimine göre , (2.24) plak diferansiyel denkleminin sağlaması gereken sınır şartlarını araştıralım :

a) Basit mesnetlenmis ve çökmeyen kenar



Şekil 2.8. Basit mesnet

$$1) \quad w \Big|_{x=l_x} = 0 \quad \longrightarrow \quad w''_{yy} \Big|_{x=l_x} = 0$$

$$2) \quad w''_{xx} + M''_{yy} \Big|_{x=l_x} = 0 \quad \longrightarrow \quad w''_{yy} = w''_{xx} \Big|_{x=l_x} = 0$$

Su halde sınır şartları şöyle ifade edilebilir :

$$1) \quad w \Big|_{x=l_x} = 0 \quad \text{N a v i e r \; sınır şartları} \quad (2.41)$$

$$2) \quad \Delta w \Big|_{x=l_x} = 0$$

$\Delta w = 0$  olması  $w''_{xy}$ 'nin sıfır olmasını gerektirmez . 0 zaman

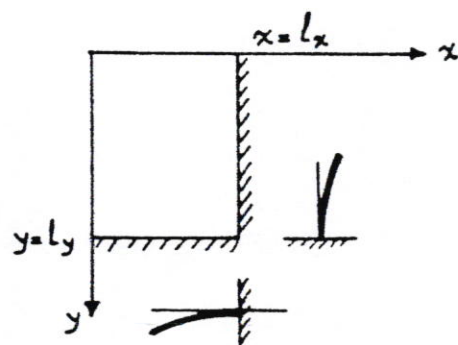
$$M_x \Big|_{x=l_x} = 0 \quad M_y \Big|_{x=l_x} = 0 \quad M_{xy} \Big|_{x=l_x} \neq 0$$

olur . Benzer şekilde :

$$1) \quad w \Big|_{y=l_y} = 0 \quad (2.41 \text{ a})$$

$$2) \quad \Delta w \Big|_{y=l_y} = 0$$

$$M_y \Big|_{y=l_y} = 0 ; \quad M_x \Big|_{y=l_y} = 0 ; \quad M_{yx} \Big|_{y=l_y} \neq 0$$

b ) Ankastre mesnet

$$1) \quad x = l_x \text{ için } w = 0$$

$$2) \quad x = l_x \text{ için } \theta = 0$$

Şekil 2.9. Ankastre mesnet

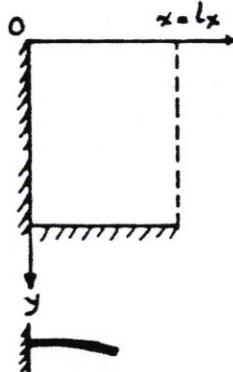
$$1) \quad w \Big|_{x=l_x} = 0$$

$$2) \quad \frac{\partial w}{\partial x} \Big|_{x=l_x} = 0 \quad \longrightarrow \quad \frac{\partial^2 w}{\partial x \partial y} = 0 \quad \longrightarrow \quad M_{xy} = 0 \quad (2.42)$$

Buradan şu önemli sonuç çıkar : Ankastre mesnetlerde burulma momenti meydana gelmez ve reaksiyon kuvvetleri :

$$V_x = Q_x$$

olur.

c ) Bösta kenar

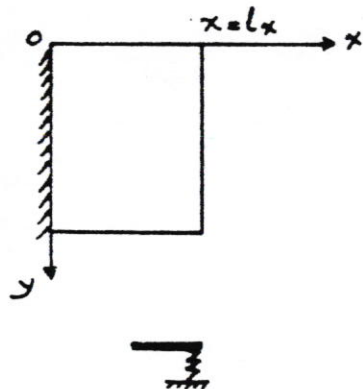
$$1) \quad x = l_x \text{ için } M_x = 0$$

$$2) \quad x = l_x \text{ için } V_x = 0$$

Şekil 2.10

$$\begin{aligned}
 1) \quad M_x \Big|_{x=1_x} &= 0 \longrightarrow w''_{xx} + \mu w''_{yy} \Big|_{x=1_x} = 0 \\
 2) \quad v_x \Big|_{x=1_x} &= 0 \longrightarrow w'''_{xxx} + (2-\mu) w'''_{yyx} \Big|_{x=1_x} = 0
 \end{aligned} \tag{2.43}$$

d ) Serbestçe dönebilen ve elastik çökебilen kenar



$$1) \quad x = l_x \text{ için } M_x = 0$$

$$2) \quad x = l_x \text{ için } w = f_1(y)$$

Şekil 2.11

$$1) \quad M_x \Big|_{x=1_x} = 0 \longrightarrow (w''_{xx} + \mu w''_{yy}) \Big|_{x=1_x} = 0$$

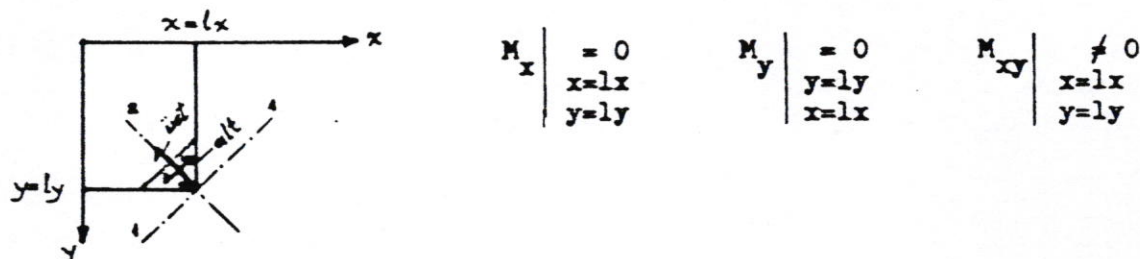
$$2) \quad w = f_1(y)$$

$$w = \frac{v}{c} \quad c = c(y) \longrightarrow \text{yay sabiti}$$

$$v_x = w \cdot c(y) = D \left[ w'''_{xxx} + (2 - \mu) w'''_{yyx} \right]$$

$$w \Big|_{x=1_x} = \frac{D}{c(y)} \left[ w'''_{xxx} + (2 - \mu) w'''_{yyx} \right]$$

e ) İki kenarın dik olarak kesiştiği köşe



Şekil 2.12

Burulma momentinin tesir etmediği iki asal moment doğrultusu (2.33)'de bulunmuştur .

$$\operatorname{tg} 2\varphi = \frac{2 M_{xy}}{M_x - M_y} = \infty \quad 2\varphi = \frac{\pi}{2}, \frac{3\pi}{2}$$

$$\varphi = \frac{\pi}{4}, \frac{3\pi}{4}$$

(2.34)'de  $M_x = M_y = 0$  yazılırsa  $M_1 = -M_2 = M_{xy}$  bulunur .

#### f ) Ankastre iki kenarın kölesi

Kenarlarda  $M_{xy} = 0$  olduğu için köşede  $R = 0$  olur .  
Plak kenarları asal moment düzlemlерidir .

#### g ) Boşta iki kenarın kölesi :

Boşta kenarlar boyunca  $M$  ve  $V$  sıfır olmalıdır .  
Şu halde köşede reaksiyon kuvveti olmaz .

$$M_{xy} = 0$$

olur.

$$\frac{\partial^2 w}{\partial x \partial y} = 0$$

### BÖLÜM . 3. PLAK DİFERANSİYEL DENKLEMİNİN ÇÖZÜM METOTLARI

#### 3.1. Giriş

Şekli , sınır şartları ve üzerindeki yük belirli olan bir plak problemini çözmek demek :

$$\Delta \Delta w = \frac{p(x,y)}{D}$$

Lagrange denkleminin , sınır şartlarını da sağlayan  $w(x,y)$  ifadesini bulmak demektir . Matematik olarak bu denklem , dördüncü mertebeden iki taraflı , parsiel türevli , sabit katsayılı lineer bir denklemidir . (Lineerdır , çünkü türevinının herhangi bir üssü denklemde kullanılmıyor) . Plak diferansiyel denkleminin homojen formu :

$$\Delta \Delta w = 0 \quad (3.1)$$

" Biharmonik denklem " olarak adlandırılır .

(2.24)'de verilen plak diferansiyel denklemi , kirişlerin diferansiyel denklemi

$$\frac{d^4 w}{dx^4} = \frac{p}{E I} \quad (3.2)$$

ile analogdur . Ancak (3.2) denklemi kolaylıkla çözülebilirken (2.24) plak denkleminin çözümü büyük güçlükler gösterir . Bu nedenle mevcut kapalı - çözümler sayılıdır . (2.24)'ün genel çözümü :

$$w(x,y) = w_h(x,y) + w_p(x,y) \quad (3.3)$$

$w_h$  : (3.1) denkleminin homojen çözümüdür . Yükle ilgisi yoktur . Sınır şartlarının bazısını sağlar , bazısını sağlamaz .

$w_p$  : (2.24) genel denklemi sağlayan bir özel çözümüdür . Yükle ilgiliidir . Homojen çözümde sağlanamayan sınır şartları özel çözümle sağlanmaya çalışılır .

Genellikle kapalı - çözüm bulunamaz ; yaklaşık metotlarla sonuca gidilir . Bu yaklaşık çözüm metotlarını incelemeye geçmeden önce, karteziyen koordinatlarda , (3.1) homojen denkleminin bazı basit çözümle rini araştıralım .

### 3.2. Homojen plak denkleminin karteziyen koordinatlardaki basit çözümleri

$\Delta \Delta W = 0$  homojen denkleminin çözümünün fiziksel anlamı , yalnız kenar kuvvetlerin etkisindeki bir plaqın  $w_h(x,y)$  sehimlerinin bulunmasıdır . Problemin türüne uygun bir şekil fonksiyonu seçilmesi önemlidir .

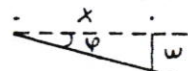
Aşağıda bazı basit şekil fonksiyonlarının seçilmesinin ne sonuç vereceği araştırılmıştır .

a )  $W = C$  olsun .  $W'_x = W'_y = 0$

$\boxed{\omega = C}$

Herhangi bir elastik yüzey meydana gelmez . Bir rıjıt cisim hareketi söz konusudur .

b )  $W = C \cdot x$  olsun .  $W'_x = C$        $W'_y = 0$

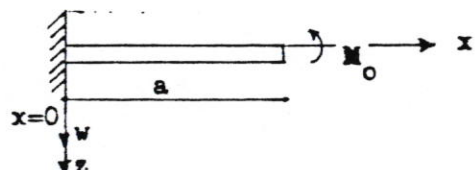


$c = \operatorname{tg} \varphi$

$W''_{xx} = 0$        $W''_{yy} = 0$        $W''_{xy} = 0$

Bütün momentler sıfırdır . Bu da rıjıt cisim hareketidir .

c )  $W = C \cdot x^2$  olsun .  $W'_x = 2Cx$        $W'_y = 0$



$W''_{xx} = 2C$        $W''_{yy} = 0$        $W''_{xy} = 0$

$W'''_{xxx} = W'''_{yyy} = W'''_{xxy} = 0$

$$M_x = -D (W''_{xx} + \mu W''_{yy}) = -2C \cdot D$$

$$M_y = -2C\mu D = \mu M_x ; \quad M_{xy} = 0$$

$$Q_x = Q_y = V_x = V_y = 0$$

Bu çözüm, örneğin  $x = 0$  kenarından ankastre,  $x = a$  ucundan uniform bir  $M_0$  momenti etkisinde olan sonsuz uzun konsol bir plaqı gösterir.

$$M_x = M_0 = -2C \cdot D \quad \rightarrow \quad C = -\frac{M_0}{2D}$$

$$w = -\frac{M_0}{2D} \cdot x^2 \quad (3.4)$$

Elastik yüzey parabolik silindirdir.  $M_y = \mu M_x$  momentinin ortaya çıkması şöyle açıklanabilir: Plak şeritlere ayrılsa idi, y doğrultusunda çekme yüzünde bir daralma, basınç yüzünde bir genişleme olacaktı. Sürekli bir plak olduğu için bu mümkün değildir. y doğrultusunda  $G_y = \mu G_x$  gerilmeleri, bunların bileşkesi olarak da  $M_y = \mu M_x$  momenti doğrudır.

d)  $w = C(x^2 + y^2)$  olsun.

$$W'_x = 2Cx \quad W'_y = 2Cy$$

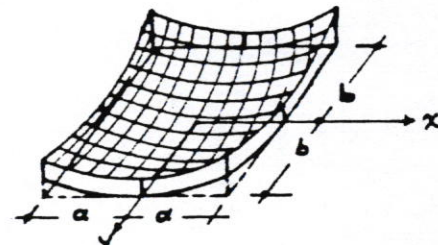
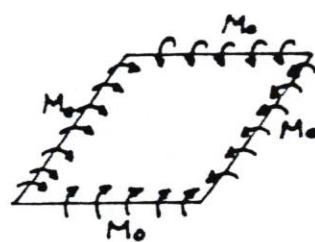
$$W''_{xx} = 2C \quad W''_{yy} = 2C \quad W''_{xy} = 0 \quad W'''_{xxx} = 0$$

$$M_x = -D(2C + \mu 2C) = -2C(1 + \mu)D = M_y \quad M_{xy} = 0$$

$$Q_x = Q_y = V_x = V_y = 0$$

Demek ki kesitin her noktasında,  $(x,y)$ 'den bağımsız olarak

$$M_x = M_y = M_0 \quad \text{sabittir.}$$



Şekil 3.1 Uniform eğilme

Bu, plaqin kenarlarından uniform yayılı  $M_o$  momentinin etkisinde olması demektir. Bu duruma "uniform eğilme" denir. Meydana gelen elastik yüzeyi araştıralım:

$$C = -\frac{M_o}{2(1+\mu)D}$$

$$w = -\frac{M_o}{2(1+\mu)D} (x^2 + y^2) \quad (3.5)$$

Elastik yüzey bir dönel paraboloid'dir.

e)  $w = C \cdot xy$  olsun.

$$w'_{xx} = C \cdot y \quad w'_{yy} = C \cdot x$$

$$w''_{xx} = 0 \quad w''_{yy} = 0 \quad w''_{xy} = c$$

$$w'''_{xxy} = w'''_{xxx} = w'''_{yyx} = 0$$

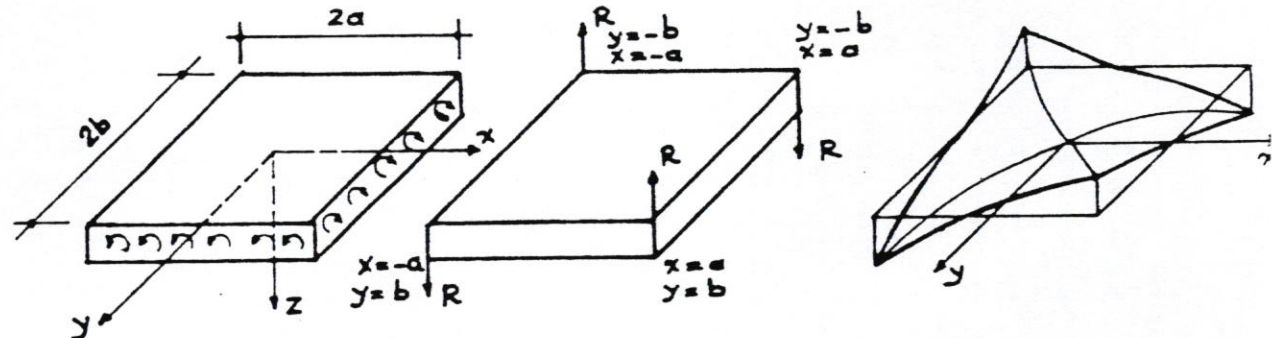
$$M_x = M_y = 0$$

$$Q_x = Q_y = 0$$

$$M_{xy} = M_{yx} = -D(1-\mu)C$$

$$R = 2M_{xy}$$

Basit burulma durumu. Asal eğilme momentleri  $m_n = \pm m_{xy}$  olur. Şekildeki gibi dört kenarı boyunca sabit  $M_{xy}$  momentinin etkisinde bir dikdörtgen plak göz önüne alınır:



Şekil 3.2. Basit burulma etkisinde plak

$$C = - \frac{M_{xy}}{D(1 - \mu)}$$

$$W = - \frac{M_{xy}}{D(1 - \mu)} xy \quad (3.6)$$

$$x = -a$$

$$y = -b$$

$$W = - \frac{M_{xy}}{D(1 - \mu)} ab$$

$$x = +a$$

$$y = +b$$

$$W = - \frac{M_{xy}}{D(1 - \mu)} ab$$

$$x = +a$$

$$y = -b$$

$$W = + \frac{M_{xy}}{D(1 - \mu)} ab$$

$$x = -a$$

$$y = +b$$

$$W = + \frac{M_{xy}}{D(1 - \mu)} ab$$

f )  $W = C_1 x^3 + C_2 x^2$  olsun .

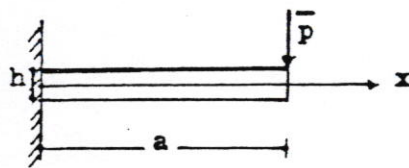
$$W'_x = 3C_1 x^2 + 2C_2 x \quad W'_y = 0$$

$$W''_{xx} = 6C_1 x + 2C_2 \quad W''_{yy} = 0 \quad W''_{xy} = 0$$

$$W'''_{xxx} = 6C_1 \quad W'''_{yyy} = W'''_{xyy} = 0$$

$$M_x = -D(6C_1 x + 2C_2) \quad M_y = \mu M_x \quad M_{xy} = 0$$

olur. Böyle bir çözüm , örneğin ,  $x = 0$  kenarından ankastre  $x = a$  kenarı boşta ve bu kenar boyunca  $\bar{p}$  şiddetinde düzgün yayılı çizgisel yük etkisinde , y doğrultusunda sonsuz uzun bir plăğı gösterir .



$x=a$  kenarı boyunca kenar şartları yazılırsa :

$$1) M_x|_{x=a} = 0 \quad 2) V_x|_{x=a} = \bar{p}$$

$$1) 6C_1 \cdot a + 2C_2 = 0 \longrightarrow C_2 = -3C_1 a$$

$$2) -D \cdot 6C_1 = \bar{p} \longrightarrow C_1 = -\frac{\bar{p}}{6D}$$

$$C_2 = +\frac{\bar{p} \cdot a}{2D}$$

Plak elastik yüzeyinin denklemi :

$$W = -\frac{\bar{P}}{6D} \cdot x^3 + \frac{\bar{P} \cdot a}{2D} \cdot x^2 = \frac{\bar{P}}{2D} \cdot x^2 \left( a - \frac{x}{3} \right)$$

$$W = \frac{\bar{P}}{2D} \cdot x^2 \left( a - \frac{x}{3} \right) \quad (3.7)$$

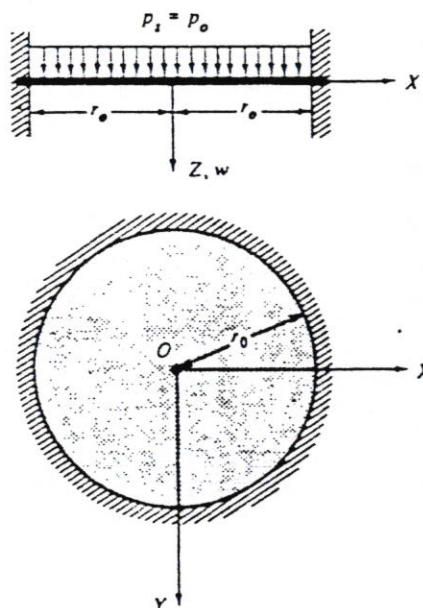
$$M_x = -D \left[ G \cdot \left( -\frac{\bar{P}}{6D} \right) \cdot x + 2 \cdot \frac{\bar{P}a}{2D} \right] = -\bar{P}(a-x); M_y = \mu M_x$$

$$M_{xy} = 0 \quad Q_x = V_x = \bar{f}_x$$

bulunur .

$\Delta \Delta W = \frac{P}{D}$  diferansiyel denkleminin kapalı çözümüyle ilgili bir örnek : /2/

Kapalı çözüm bulunmasının çok ender olduğu belirtilmiştir . Düzgün yayılı yük etkisinde ankastre dairesel plak bu ender örneklerden biridir .



Şekil 3.3. Düzgün yayılı yükle yüklü ankastre dairesel plak

Seçilen şekil fonksiyonu :

$$w(x,y) = C \left( \frac{x^2}{r_0^2} + \frac{y^2}{r_0^2} - 1 \right)^2$$

olsun. Bu fonksiyonun sınır şartlarını sağlayıp sağlamadığını araştıralım. Çevre boyunca

$$r_0^2 = x^2 + y^2$$

olduğundan

$$w = 0$$

olur. Acaba ikinci sınır şartı sağlanıyor mu?

$$\frac{\partial w}{\partial x} = \frac{\partial w}{\partial y} ? = 0$$

$$F = \left( \frac{x^2}{r_0^2} + \frac{y^2}{r_0^2} - 1 \right)$$

diyelim.

$$w = C \cdot F^2$$

$$\left. \begin{array}{l} \frac{\partial w}{\partial x} = 2C \cdot F \cdot \frac{\partial F}{\partial x} \\ \frac{\partial w}{\partial y} = 2C \cdot F \cdot \frac{\partial F}{\partial y} \end{array} \right\} = 0$$

Her iki bağıntı da  $F$ 'i içerdiginden ve  $F$  çevre boyunca (0) olduğundan mesnetlerde sınır şartları sağlanmaktadır.

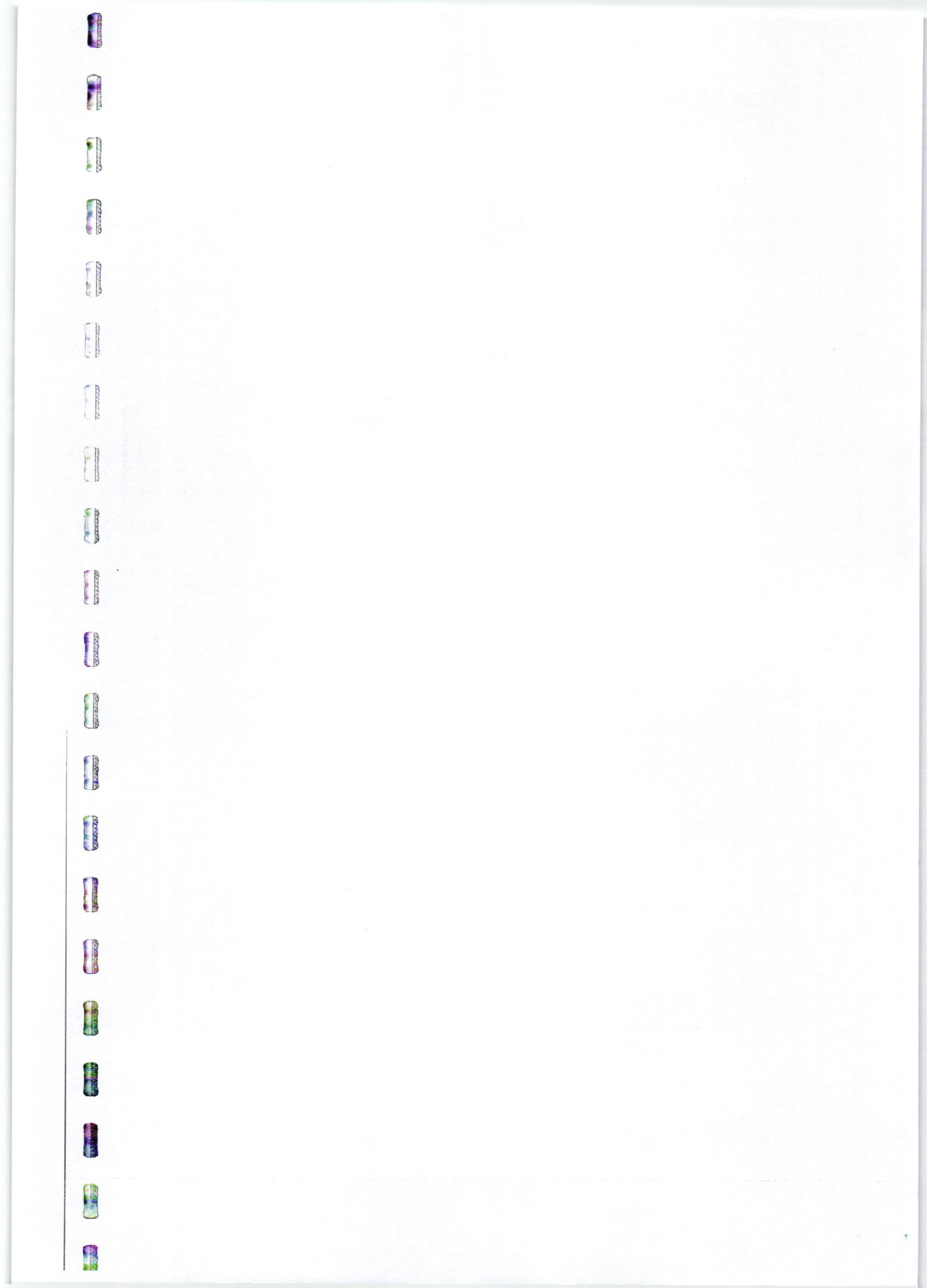
Diferansiyel denklemde, aynı değişken dönüşümü yaparak parsiyel türevleri alalım .:

$$F = \left( \frac{x^2}{r_0^2} + \frac{y^2}{r_0^2} - 1 \right)$$

$$F'_x = \frac{2x}{r_0^2} \quad F'_y = \frac{2y}{r_0^2}$$

$$F''_{xx} = \frac{2}{r_0^2} \quad F''_{yy} = \frac{2}{r_0^2} \quad F''_{xy} = 0$$

$$F''_{xx} = F''_{yy} = 0$$



$$W = C F^2$$

$$W'_x = 2 C F \cdot F'_{xx}$$

$$W''_{xx} = 2C(F'_{xx}^2 + F \cdot F''_{xx})$$

$$W''_{xyy} = 2C(0 + F'_{yy} \cdot F''_{xx} + 0)$$

$$W''_{xxx} = 2C(2F'_{xx} \cdot F''_{xx} + F''_{xx} + 0) = 6C(F'_{xx} \cdot F''_{xx})$$

$$W^{IV}_{xxxx} = 6C(F''_{xx}^2 + 0) = 6C\left(\frac{2}{r_0^2}\right)^2 = 24\frac{C}{r_0^4}$$

$$W^{IV}_{yyyy} = 24\frac{C}{r_0^4}$$

$$W^{IV}_{xxyy} = 2C(F''_{xx} \cdot F''_{yy} + 0) = 2C \cdot \frac{4}{r_0^4} = 8\frac{C}{r_0^4}$$

$$\frac{\partial^4 W}{\partial x^4} + 2 \frac{\partial^4 W}{\partial x^2 \partial y^2} + \frac{\partial^4 W}{\partial y^4} = \frac{C}{r_0^4} (24 + 16 + 24) = 64 \frac{C}{r_0^4} = \frac{P_0}{D}$$

$$C = \frac{P_0 r_0^4}{64 D}$$

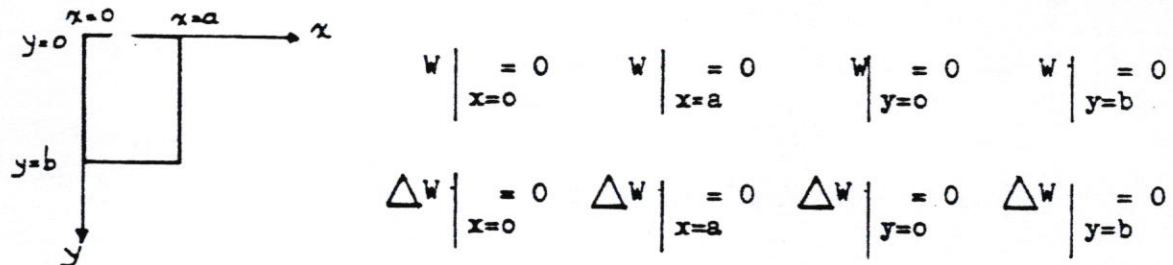
$$W(x, y) = \frac{P_0 r_0^4}{64 D} \left( \frac{x^2}{r_0^2} + \frac{y^2}{r_0^2} - 1 \right)^2$$

$$W = \frac{P_0}{64 D} (x^2 + y^2 - r_0^2)^2$$

3.3. Çift Fourier serileriyle plak diferansiyel denkleminin çözümü  
(Navier çözümü) (\*)

Navier, 1820 yılında, Fransız Bilimler Akademisine, dört kenarından serbestçe mesnetlenmiş dikdörtgen plakların çift trigonometrik serilerle çözümü konusunda bir makale verdi. Daha sonra bu çözümden diğer mesnetlenme biçimindeki plakların çözümünde de yararlanıldı.

Serbestçe mesnetlenmiş dikdörtgen plaklarda sınır şartları :



Şekil 3.4. Dört kenarından basit mesnetli plakta sınır şartları

$\Delta \Delta W = \frac{P}{D}$  plak denkleminin çözümü için Navier metodunda izlenen yol şöyledir :

1) Plak üzerindeki  $p$  yükü çift sinüs serisine açılır :

$$p(x,y) = \sum_{m=1}^{\infty} \sum_{n=1}^{\infty} p_{mn} \sin \frac{m\pi x}{a} \sin \frac{n\pi y}{b} \quad (m,n=1,2,3\dots) \quad (3.8)$$

Buradaki  $p_{mn}$  katsayılarının bulunusu, çeşitli yük biçimlerine göre, ek A'da incelenmiş olup,  $p_{mn}$ 'ler bilinen değerlerdir.

2) Düşey sehimler ( $w$ ) de çift sinüs serisine açılır :

$$w(x,y) = \sum_{m=1}^{\infty} \sum_{n=1}^{\infty} w_{mn} \sin \frac{m\pi x}{a} \sin \frac{n\pi y}{b} \quad (3.9)$$

\* Fourier serileri için Ek A'ya bakınız.

Buradaki  $w_{mn}$  katsayıları bilinmiyor. Acaba  $w(x,y)$  serisi sınır şartlarını sağlıyor mu?  $w = 0$  şartının sağlandığı kolayca görülebilir.

$$\Delta w \stackrel{?}{=} 0 \quad w_x' = \sum \sum w_{mn} \cdot \frac{m\pi}{a} \cdot \cos \frac{m\pi x}{a} \cdot \sin \frac{n\pi y}{b}$$

$$w_{xx}'' = - \sum \sum w_{mn} \cdot \left( \frac{m\pi}{a} \right)^2 \cdot \sin \frac{m\pi x}{a} \cdot \sin \frac{n\pi y}{b}$$

Benzer şekilde :

$$w_{yy}'' = - \sum \sum w_{mn} \cdot \left( \frac{n\pi}{b} \right)^2 \cdot \sin \frac{m\pi x}{a} \cdot \sin \frac{n\pi y}{b}$$

$$\Delta w = - \sum_m \sum_n w_{mn} \left[ \left( \frac{m\pi}{a} \right)^2 + \left( \frac{n\pi}{b} \right)^2 \right] \cdot \sin \frac{m\pi x}{a} \cdot \sin \frac{n\pi y}{b}$$

Altı çizili olan çarpan  $w(x,y)$  idi ve sınır şartını sağladığı görülmüştü. Bu da sağlar.

3)  $p(x,y)$  ve  $w(x,y)$  'in yukarıdaki açılımları plak diferansiyel denkleminde yerlerine yazılırsa, cebirsel bir denklem elde edilir.  $w_{mn}$  değerleri buradan bulunur.

$$\Delta \Delta w = \sum \sum w_{mn} \left[ \left( \frac{m\pi}{a} \right)^2 + \left( \frac{n\pi}{b} \right)^2 \right]^2 \sin \frac{m\pi x}{a} \cdot \sin \frac{n\pi y}{b}$$

$$\sum_m \sum_n w_{mn} \left[ \left( \frac{m\pi}{a} \right)^2 + \left( \frac{n\pi}{b} \right)^2 \right]^2 \cdot \sin \frac{m\pi x}{a} \cdot \sin \frac{n\pi y}{b} = \sum \sum \frac{1}{D} p_{mn} \sin \frac{m\pi x}{a} \sin \frac{n\pi y}{b} \quad (3.10)$$

$$w_{mn} \cdot \pi^4 \left[ \left( m^2/a^2 \right) + \left( n^2/b^2 \right) \right]^2 = \frac{p_{mn}}{D}$$

$$w_{mn} = \frac{p_{mn}}{\pi^4 D \left[ \left( m^2/a^2 \right) + \left( n^2/b^2 \right) \right]^2} \quad (3.11)$$

$$w(x,y) = \frac{1}{\pi^4 D} \sum_{m=1}^{\infty} \sum_{n=1}^{\infty} \frac{p_{mn}}{\left[ \left( m^2/a^2 \right) + \left( n^2/b^2 \right) \right]^2} \cdot \sin \frac{m\pi x}{a} \cdot \sin \frac{n\pi y}{b} \quad (3.12)$$

Elastik yüzeyi belirten  $w(x,y)$  böylece belirlendikten sonra iç kuvvetler :

$$M_x = \pi^2 D \sum_{m=1}^{\infty} \sum_{n=1}^{\infty} \left[ \left( m/a \right)^2 + \mu \left( n/b \right)^2 \right] w_{mn} \cdot \sin \frac{m\pi x}{a} \cdot \sin \frac{n\pi y}{b} \quad (3.13)$$

$$M_y = \pi^2 D \sum_{m=1}^{\infty} \sum_{n=1}^{\infty} \left[ \left( n/b \right)^2 + \mu \left( m/a \right)^2 \right] w_{mn} \cdot \sin \frac{m\pi x}{a} \cdot \sin \frac{n\pi y}{b} \quad (3.14)$$

$$M_{xy} = -\pi^2 D (1-\mu) \sum_m \sum_n \frac{mn}{ab} \cdot W_{mn} \cos \frac{m\pi x}{a} \cdot \cos \frac{n\pi y}{b} \quad (3.15)$$

$$Q_x = \pi^3 D \sum_m \sum_n W_{mn} \frac{m}{a} \left[ \left( \frac{m}{a} \right)^2 + \left( \frac{n}{b} \right)^2 \right] \cos \frac{m\pi x}{a} \cdot \sin \frac{n\pi y}{b} \quad (3.16)$$

$$Q_y = \pi^3 D \sum_m \sum_n W_{mn} \frac{n}{b} \left[ \left( \frac{m}{a} \right)^2 + \left( \frac{n}{b} \right)^2 \right] \sin \frac{m\pi x}{a} \cdot \cos \frac{n\pi y}{b} \quad (3.17)$$

$$V_x = \pi^3 D \sum_m \sum_n W_{mn} \frac{m}{a} \left[ \left( \frac{m}{a} \right)^2 + \left( \frac{n}{b} \right)^2 (2-\mu) \right] \cos \frac{m\pi x}{a} \cdot \sin \frac{n\pi y}{b} \quad (3.18)$$

$$V_y = \pi^3 D \sum_m \sum_n W_{mn} \frac{n}{b} \left[ \left( \frac{n}{b} \right)^2 + \left( \frac{m}{a} \right)^2 (2-\mu) \right] \sin \frac{m\pi x}{a} \cdot \cos \frac{n\pi y}{b} \quad (3.19)$$

$$R = 2M_{xy} = -2\pi^2 D (1-\mu) \sum_m \sum_n \frac{mn}{ab} W_{mn} \cos \frac{m\pi x}{a} \cos \frac{n\pi y}{b} \quad (3.20)$$

Kenarlarından serbestçe oturan dikdörtgen plaklarla ilgili Navier çözümü, başka türlü mesnetlenmiş dikdörtgen plakların çözümünde partiküler çözüm olarak da kullanılır. Yani serbestçe oturan plağa ait  $w_p$  çözümü, sınır kuvvetleri ve momentlerle süperpoze edilir.

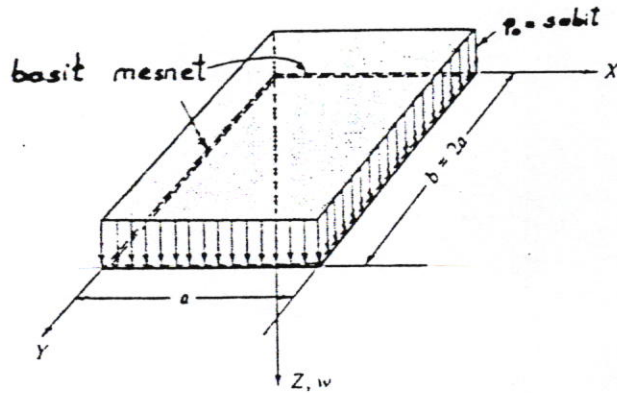
$$w(x,y) = w_p + \sum w_h \quad (3.21)$$

$w$  sehimlerinin bulunmasında sonsuz serilerin kullanılması, genellikle hızlı yakınsak oldukları için, yalnızca birkaç terimin göz önüne alınmasıyla yeterli yaklaşıklik sağlanır. Sadece tek kuvvetlerin etkisinde yakınsaklık yavaş olur. İç kuvvetlerin bulunması  $w(x,y)$ 'in ikinci ve üçüncü türevleri ile ilgili olduğu için yakınsaklık hızı biraz azalır. Fakat yaklaşıklik yine yeterlidir. Çünkü istenen sayıda terimi göz önüne almak olanağı her zaman vardır.

- Özet:** Serbestçe oturan dikdörtgen plakların çözümünde, Navier metodunun kullanılması, diferansiyel denklemin çözümünü basit bir cebirsel denkleme indirgediği için, büyük kolaylık sağlar. Navier metodunun uygulama teknigini özetlersek:
- 1 ) Yük bir çift Fourier (sinüs) serisine açılır.
  - 2 )  $w$  sehimleri de çift sinüs serisine açılır.
  - 3 ) Yukardaki değerler plak denkleminden yerlerine yazılarak bilinmeyen  $W_{mn}$  değerleri bulunur ve  $w(x,y)$  hesaplanır.
  - 4 )  $W_{mn}$  değerlerine göre iç kuvvetleri veren bağıntılar ( $M_x, M_y, M_{xy}, Q_x, Q_y, V_x, V_y$ ) yazılır.
  - 5 ) Bütün bu bağıntılar  $m$  ve  $n$ 'e değişik değerler verilerek açılır; yeterli sayıda terim alınarak bunların toplanması ile sonuç bulunur.

### Örnek 3.1

( $a \times 2a$ ) boyutunda serbestçe mesnetlenmiş dikdörtgen bir plak düzgün yayılı yükle yüklenmiştir. Elastik yüzeyi belirleyen  $w$  ifadesini, maksimum eğilme momentlerini ve kenar reaksiyonlarını bulunuz.



Şekil 3.5. Düzgün yayılı yük etkisinde basit mesnetli plak

1)  $p$  yükünü  $p_{mn} = \frac{16 p_0}{\pi^2 mn}$  olacak şekilde çift sinüs serisine açalım

$$p(x, y) = \frac{16 p_0}{\pi^2} \sum \sum \frac{1}{mn} \cdot \sin \frac{m\pi x}{a} \cdot \sin \frac{n\pi y}{b}$$

$$m = (1, 3, 5, \dots); \quad n = (1, 3, 5, \dots)$$

2)  $w$  sehimini de çift sinüs serisine açalım.  $w_{mn}$  değeri için  $b = 2a$  yazarak :

$$W_{mn} = \frac{p_{mn}}{\pi^4 D \left[ \left( \frac{m}{a} \right)^2 + \left( \frac{n}{2a} \right)^2 \right]^2} = \frac{16 p_0 a^4}{D \cdot \pi^6 m n \left[ m^2 + \frac{n^2}{4} \right]^2}$$

$$w(x, y) = \frac{16 p_0 a^4}{D \cdot \pi^6} \sum \sum \frac{\sin(m\pi x/a) \cdot \sin(n\pi y/2a)}{mn \left[ m^2 + (n^2/4) \right]^2}$$

$$m = (1, 3, 5, \dots); \quad n = (1, 3, 5, \dots)$$

3) Maksimum sehim  $x = a/2$ ,  $y = a$  noktasında ( $\partial w / \partial x = 0$ ) ( $\partial w / \partial y = 0$ )

$$w_{max} = \frac{16 p_0 a^4}{D \cdot \pi^6} \sum \sum \frac{\sin m \frac{\pi}{2} \cdot \sin n \frac{\pi}{2}}{mn \left[ m^2 + \frac{n^2}{4} \right]^2}$$

$$w_{\max} = \frac{16 p_o a^4}{D \cdot \pi^6} (0,640 - 0,032 - 0,004 + 0,004 + \dots)$$

$$\approx \frac{0,0101 p_o a^4}{D}$$

Göründüğü gibi çift sinüs serisinin yakınsaklısı hızlıdır, iki terim almak yeterlidir.

$$(M_x)_{\max} = \frac{16 p_o a^2}{\pi^4} \sum_m \sum_n \frac{\left[m^2 + \mu \cdot \frac{n^2}{4}\right] \cdot \sin \frac{m\pi}{2} \cdot \sin \frac{n\pi}{2}}{mn \left[m^2 + \frac{n^2}{4}\right]^2}$$

$$(M_y)_{\max} = \frac{16 p_o a^2}{\pi^4} \sum_m \sum_n \frac{\left[\left(n^2/4\right) + \mu m^2\right] \sin(m\pi/2) \cdot \sin(n\pi/2)}{mn \left[m^2 + (n^2/4)\right]^2}$$

$$m = (1, 3, 5, \dots); \quad n = (1, 3, 5, \dots)$$

Bu seriler daha az hızlı yakınsaktır. İlk dört terimi almak yeterli yaklaşılığı sağlar.

$$(V_x)_{m,n} = \frac{16 p_o a}{\pi^3} \left[ \frac{m^3}{mn \left[m^2 + (n^2/4)\right]^2} + (2-\mu) \frac{m \cdot (n/2)^2}{mn \left[m^2 + (n^2/4)\right]^2} \right] \cos \frac{m\pi x}{a} \cdot \sin \frac{n\pi y}{b}$$

$$(V_x)_{x=0} = -\frac{16 p_o a}{\pi^3} \sum_m \sum_n \frac{m^2 + (2-\mu) \frac{n^2}{4}}{n \left(m^2 + \frac{n^2}{4}\right)^2} \cdot \sin \frac{n\pi y}{2a}$$

$$(V_y)_{y=0} = -\frac{16 p_o a}{\pi^3} \sum_m \sum_n \frac{n^2 + (2-\mu) \frac{m^2}{4}}{n \left(m^2 + \frac{n^2}{4}\right)^2} \cdot \sin \frac{m\pi x}{a}$$

$$m = (1, 3, 5, \dots); \quad n = (1, 3, 5, \dots)$$

Maksimum momentlerin değerlerini bulursak ( $\mu = 0,20$  için)

$$(M_x)_{\max} = \frac{16 p_o a^2}{4} (0.672 - 0.046 - 0.036 + 0.008 + 0.009 + 0.008 - 0.0008 - 0.0003 + \dots)$$

$$= 0.100 p_o a^2$$

$$(M_y)_{\max} = \frac{16 p_o a^2}{4} (0.288 - 0.065 - 0.010 + 0.003 + 0.021 + 0.002 - 0.008 + \dots)$$

$$= 0.038 p_o a^2$$

Marcus metodu ile karsilastirma:

$$w_x = \frac{5}{384} \frac{P_x l_x^4}{E I}$$

$$w_y = \frac{5}{384} \frac{P_y l_y^4}{E I}$$

$$\frac{P_x}{P_y} = \left(\frac{l_y}{l_x}\right)^4 = 16$$

$$P_x = \frac{16}{17} P_o$$

$$P_y = \frac{1}{17} P_o$$

$$M_x = \frac{1}{8} \cdot \left(\frac{16}{17}\right) P_o a^2 = 0.118 P_o a^2 ; M_{ox} = -\frac{1}{8} P_o a^2$$

$$M_y = \frac{1}{8} \left(\frac{1}{17} P_o\right) (2a)^2 = 0.029 P_o a^2 ; M_{oy} = \frac{1}{8} P_o (2a)^2$$

$$M_x = \nu_x \cdot M_x \quad \nu_x = 1 - \frac{5}{6} \cdot \left(\frac{l_x}{l_y}\right)^2 \frac{M_x}{M_{ox}} = 1 - \frac{5}{6} \cdot \frac{1}{4} \cdot 0.944 = 0.748 ; M_x = 0.088 P_o a^2$$

$$M_y = \nu_y \cdot M_y$$

$$\nu_y = 1 - \frac{5}{6} \left(\frac{l_y}{l_x}\right)^2 \frac{M_y}{M_{oy}} = 1 - \frac{5}{6} \cdot 4 \cdot 0.058 = 0.807 ; M_y = 0.023 P_o a^2$$

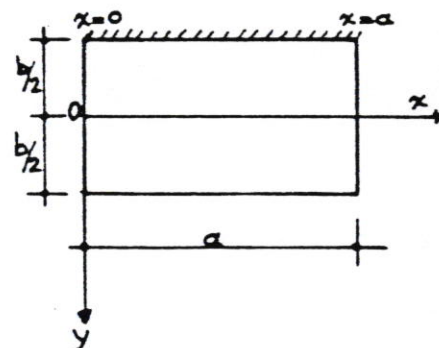
3.4. Tek Fourier serileriyle çözüm  
(Levy Metodu)

$$w(x,y) = w_h + w_p \quad (3.21)$$

Levy metodunda birinci adım partiküler çözümü elde etmektedir. Bunun için :

- 1 ) Plakın karşılıklı iki kenarının serbestçe mesnetlenmesi istenir
- 2 ) Diğer doğrultuda plak uzunluğunun  $\infty$  olduğu varsayılmıştır.
- 3 ) x eksenine paralel kesitlerde yük dağılımının aynı olduğu varsayılmıştır.

$x = 0$  ve  $x = a$  kenarlarından serbestçe mesnetlendiğini kabul edelim.



Şekil 3.6. Levy metodunda koordinat sistemi

$b = \infty$  varsayıldığına göre plak denklemi şu şekilde girer :

$$\frac{d^4 w}{dx^4} = -\frac{P(x)}{D} \quad (3.22)$$

Göründüğü gibi bu denklem (3.2) kırış diferansiyel denklemiyle analojudur. Kırış diferansiyel denklemi :

$$\frac{d^4 w}{dx^4} = \frac{P}{E I} \quad \longrightarrow \quad D = \frac{E I}{1 - \mu^2}$$

idi.

$$w = w^* (1 - \mu^2) \quad (3.23)$$

(3.22) denkleminin çözümü için Navier metodunu kullanalım :

$$P(x) = \sum_m P_m \cdot \sin \frac{m\pi x}{a} \quad (3.24)$$

$$W_p(x) = \sum_m W_m \cdot \sin \frac{m\pi x}{a} \quad (3.25)$$

$$W'_x = \sum_m W_m \cdot \frac{m\pi}{a} \cdot \cos \frac{m\pi x}{a}$$

$$W''_{xx} = - \sum_m W_m \left(\frac{m\pi}{a}\right)^2 \cdot \sin \frac{m\pi x}{a}$$

$$W'''_{xxx} = - \sum_m W_m \left(\frac{m\pi}{a}\right)^3 \cdot \cos \frac{m\pi x}{a}$$

$$W^{IV}_x = W_m \left(\frac{m\pi}{a}\right)^4 \sum_m \cdot \sin \frac{m\pi x}{a} \quad (3.26)$$

Bu değer ve (3.24)'de verilen  $p(x)$ , (3.22) diferansiyel denkleminde yerine yazılırsa :

$$W_m \left(\frac{m\pi}{a}\right)^4 \sum_m \sin \frac{m\pi x}{a} = \frac{1}{D} P_m \sum_m \sin \frac{m\pi x}{a} \quad (3.27)$$

$$W_m = \frac{P_m a^4}{D \cdot m^4 \pi^4} \quad (3.28)$$

$$p(x) = p_0 \text{ için } \rightarrow P_m = \frac{4 p_0}{m \pi} \quad (m=1,3,5,\dots)$$

$$W_m = \frac{4 p_0 a^4}{D \pi^5 m^5}$$

olur.

İkinci adım  $w_h$  homojen çözümünün bulunmasıdır.

$$\Delta \Delta w_h = 0$$

Homojen denkleminin çözümü :

$$w_h = X(x) \cdot Y(y) \quad (3.29)$$

şeklinde ifade edilirse :

$$X^{IV} \cdot Y + 2 X'' Y'' + X \cdot Y^{IV} = 0 \quad (3.30)$$

$W_h$  'i tek sinüs serisi olarak yazalım :

$$W_h(x, y) = \sum_m Y_m(y) \cdot \sin \frac{m\pi x}{a} \quad (3.31)$$

Bu ifade  $x = 0$  ve  $x = a$  için  $w = 0$ ,  $\Delta w = 0$  sınır şartlarını sağlar.  $\Delta \Delta W_h = 0$  denkleminde yerine yazılırsa :

$$\sum_m \left[ \frac{m^4 \pi^4}{a^4} Y_m(y) - 2 \frac{m^2 \pi^2}{a^2} Y_m''(y) + Y_m^{IV}(y) \right] = 0 \quad (3.32)$$

Buradan ,

$$\frac{m^4 \pi^4}{a^4} Y_m(y) - 2 \frac{m^2 \pi^2}{a^2} Y_m''(y) + Y_m^{IV}(y) = 0 \quad (3.33)$$

(3.33) denklemi dördüncü mertebeden sabit katsayılı lineer homojen bir diferansiyel denklemidir. Bunun çözümü :

$$Y_m(y) = A_m \cosh \frac{m\pi y}{a} + B_m \frac{m\pi y}{a} \sinh \frac{m\pi y}{a} + C_m \sinh \frac{m\pi y}{a} + D_m \frac{m\pi y}{a} \cosh \frac{m\pi y}{a} \quad (3.34)$$

Burada  $A_m$ ,  $B_m$ ,  $C_m$ ,  $D_m$  dört kenardaki sınır şartlarından bulunacak integrasyon sabitleridir. Eğer sınır şartları  $x$  eksenine göre simetrik ise elastik yüzey ( $y$ ) 'ye göre çift fonksiyon olur .

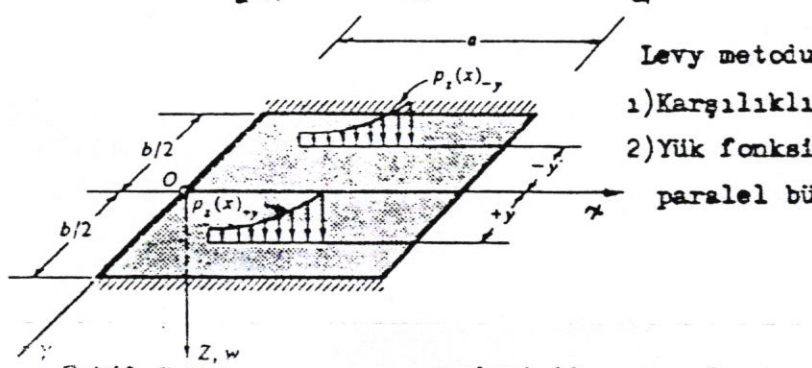
$$w(y) = w(-y) \quad (3.35)$$

O zaman  $C_m$  ve  $D_m$  katsayıları (0) olur ve :

$$Y_m(y) = A_m \cosh \frac{m\pi y}{a} + B_m \frac{m\pi y}{a} \sinh \frac{m\pi y}{a} \quad (3.36)$$

Böylece  $y = \pm b/2$  için eşit sınır şartları mevcut olduğunda :

$$W(x, y) = \left[ \sum_m W_m + \sum_m \left( A_m \cosh \frac{m\pi y}{a} + B_m \frac{m\pi y}{a} \sinh \frac{m\pi y}{a} \right) \right] \sin \frac{m\pi x}{a} \quad (3.37)$$



Levy metodunu uygulama şartları:

- 1) Karşılıklı iki kenarı serbestçe mesnetli
- 2) Yük fonksiyonunun şekli, diğer iki kenara paralel bütün kesitlerde aynı olacak .

Şekil 3.7. Levy metodunda simetriden yararlanma

Ornek 3.2

Dört kenarından serbestçe oturan uniform yayılı yüklü ( $p=p_0$ ) bir dikdörtgen plaq'ın sehimlerini Levy metoduyla hesaplayın.

$$P(x) = \sum_m P_m \cdot \sin \frac{m\pi x}{a}$$

$$P_m = \frac{2}{a} \int_0^a p(x) \cdot \sin \frac{m\pi x}{a} dx$$

$$p(x) = p_0 \text{ isin}; P_m = \frac{2p_0}{a} \int_0^a \sin \frac{m\pi x}{a} dx = \frac{2p_0}{m\pi} (1 - \cos m\pi)$$

$$P_m \begin{cases} = \frac{4p_0}{m\pi} & (m=1, 3, 5, \dots) \\ = 0 & (m=2, 4, 6, \dots) \end{cases}$$

Buna göre  $p(x)$ i sinüs serisine açarsak :

$$p(x) = \frac{4p_0}{\pi} \sum_m \frac{1}{m} \cdot \sin \frac{m\pi x}{a} \quad (m=1, 3, 5, \dots)$$

$$W_m = \frac{P_m \cdot a^4}{D \cdot m^4 \pi^4} \quad P_m = \frac{4p_0}{m\pi} \quad W_m = \frac{4p_0 a^4}{D m^5 \pi^5}; \quad (m=1, 3, 5, \dots)$$

Böylace partiküler çözüm :

$$W_p = \frac{4p_0 a^4}{D \pi^5} \sum_m \frac{1}{m^5} \cdot \sin \frac{m\pi x}{a} \quad (m=1, 3, 5, \dots)$$

Homojen çözüm ise :

$$W_h = \sum_m (A_m \cosh \frac{m\pi y}{a} + B_m \frac{m\pi y}{a} \sinh \frac{m\pi y}{a}) \sin \frac{m\pi x}{a}$$

$$W(x, y) = \left[ \frac{4p_0 a^4}{D \pi^5} \sum_m \frac{1}{m^5} + \sum_m (A_m \cosh \frac{m\pi y}{a} + B_m \frac{m\pi y}{a} \sinh \frac{m\pi y}{a}) \right] \sin \frac{m\pi x}{a}$$

Sınır şartları  $y = \pm \frac{b}{2}$  için 1)  $W=0$ , 2)  $\Delta W=0$  buradan iki denklem elde edilir :

$$A_m \cosh \frac{m\pi b}{2a} + B_m \frac{m\pi b}{2a} \sinh \frac{m\pi b}{2a} = - \frac{4p_0 a^4}{D \pi^5 \cdot m^5}$$

$$A_m \frac{m^2 \pi^2}{a^2} \cosh \frac{m\pi b}{2a} + B_m \frac{m^2 \pi^2}{a^2} \left( \frac{m\pi b}{2a} \sinh \frac{m\pi b}{2a} + 2 \cosh \frac{m\pi b}{2a} \right) = 0$$

Bu ifadelerden  $A_m$  ve  $B_m$  bulunur. Sonuçta elastik yüzey :

$$W(x,y) = \frac{4P_0 a^4}{\pi^5 D} \sum_m \frac{1}{m^5} \left( 1 - \frac{2 \cosh \alpha_m \cosh \eta_m + \alpha_m \sinh \alpha_m \cosh \eta_m - \eta_m \sinh \eta_m \cosh \alpha_m}{1 + \cosh 2\alpha_m} \right) \cdot \sin \frac{m\pi x}{a}$$

Burada :

$$\alpha_m = \frac{m\pi b}{2a} \quad ; \quad \eta_m = \frac{m\pi y}{a}$$

Şimdi tekrar plak diferansiyel denkleminin çözüm metotlarına dönelim. Problemin kesin çözümünün, genellikle, mümkün olmadığını, bu nedenle yaklaşık çözüm yollarının araştırıldığını belirtmiştik.

### 3.5. Yaklaşık çözüm metotları

Elde bazı  $f_i(x,y)$  çözümleri var. Bunların kesin çözüm olabilmesi için :

$$\Delta \Delta W = \frac{p}{D}$$

denklemini ve sınır şartlarını sağlaması gereklidir. Bunlardan birini sağlayan; fakat diğerini sağlamayan  $f_i(x,y)$  fonksiyonlarının eksiklikleri giderilmeye çalışılır.

#### 3.5.1 - Çözümün Plak Denklemini Sağlayıp, Sınır Şartlarını Sağlamaması Durumu :

Bu durumda  $W$  fonksiyonu  $f_i$  fonksiyonlarının toplamı olarak ifade edilir. :

$$W = \sum_{i=1}^r a_i f_i = a_1 f_1 + a_2 f_2 + \dots + a_r f_r \quad (3.38)$$

$f_i$  fonksiyonları plak denklemini sağladığına göre  $W$  fonksiyonu da plak denklemini sağlayacak; sınır şartlarının ise bazılarını sağlayacak bazılarını ise sağlayamayacaktır.  $a_1, a_2, \dots, a_r$  sabitleri, geri kalan sınır şartlarını mümkün olduğu kadar sağlayabilecek biçimde saptanmalıdır. O halde problem şudur :

$a_i$ 'leri nasıl seçelim ki, hataların toplamı minimum olsun?

İşaret farklarının ( $\pm$ ) etkisinden kaçınabilmek için bunu şu şekilde ifade etmek daha doğru olur :

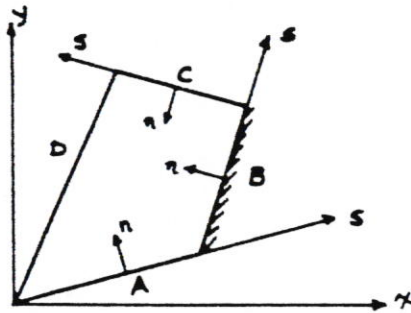
$a_i$ 'leri nasıl seçelim ki, bütün kenarlar boyunca yapılan hataların kareleri toplamı, minimum olsun.

Hataların kareleri toplamı  $F$  olsun :

$$F = F(a_1, a_2, \dots, a_r)$$

$$\frac{\partial F}{\partial a_1} = 0, \frac{\partial F}{\partial a_2} = 0, \dots, \frac{\partial F}{\partial a_r} = 0 \quad (3.39)$$

Böylece  $(a_1, a_2, \dots, a_r)$ 'e göre r adet denklem bulunur. Bunlardan  $a_1, a_2, \dots, a_r$  değerleri hesaplanır.



**Şekil 3.8**

Genel durumda şekildeki gibi bir plak olsun. Farklı kenarlarda farklı sınır şartları sağlanması gereklidir. Örneğin :

A kenarında  $W = 0$

B kenarında  $\frac{\partial W}{\partial n} = 0$

$$6 \text{ kenarında } M_n = 0 \rightarrow \frac{\partial^2 w}{\partial n^2} + \mu \frac{\partial^2 w}{\partial s^2} = 0$$

Farklı mesnetlerde , farklı cinsten hataların karelerinin toplamı minimum olacak :

$$F = \int_A w^2 ds + \int_B \left( \frac{\partial w}{\partial n} \right)^2 ds + \int_C \left( \frac{\partial^2 w}{\partial n^2} + \mu \frac{\partial^2 w}{\partial s^2} \right)^2 ds \quad (3.40)$$

Öncelikle boyutları (dimensiyonları) düzeltmek gerekiyor ki, bir toplam söz konusu olsun. 1 birim boyu karakterize etmekte olup,  $1^2$ ,  $1^4$

toplamanın boyutunu homojen kılmak amacıyla konmuş faktörlerdir.  $l$ 'in boyutunu seçmek ön plana alınan sınır şartına bağlıdır. Örneğin  $l = o$  seçmek demek sehim şartını dikkate almak demektir.

### 3.5.2 - Çözümün Sınır Sartlarını Sağlayıp, Plak Denklemini Sağlamaması Durumu:

$$W = \sum_{i=1}^r a_i f_i = a_1 f_1 + a_2 f_2 + \dots + a_r f_r \quad (3.38)$$

$\Delta \Delta W = p/D$  'i mümkün mertebe sağlayacak şekilde  $a_1, a_2 \dots a_r$  belirlenecek. Bunun için farklı yollardan gidilebilir.

a ) Yine hataların karelerinin toplamanının minimum olmasından hareket edilir.

$$D. \Delta \Delta W \neq p$$

$$D. \Delta \Delta W = p'$$

diyelim . Park

$$p - p' = p - \Delta \Delta W$$

Bu hataların karelerinin toplamanının minimum olması isteniyor.

$$\begin{aligned} \mathcal{F} &= \int_A (p - D \cdot \Delta \Delta W)^2 dF \quad \frac{\partial \mathcal{F}}{\partial a_i} = 0 \text{ olmalı.} \\ \frac{\partial \mathcal{F}}{\partial a_i} &= \int_A 2(p - D \cdot \Delta \Delta W) \left( -D \frac{\partial \Delta \Delta W}{\partial a_i} \right) dF = 0 \\ &\int_A (p - D \cdot \Delta \Delta W) \frac{\partial (\Delta \Delta W)}{\partial a_i} dF = 0 \quad i = 1, 2, \dots, r \end{aligned}$$

Buradan  $r$  tane denklem elde edilir ve  $a_i$ 'ler hesaplanır.

b ) Ritz metodu : Minimum potansiyel enerji prensibinden hareket eder. Sistemin gerçek deformasyonu öyle bir durumdur ki, yük ve moment şartlarına uygun bu durumda potansiyel enerji, diğer bütün durumda kilerden daha küçüktür. Herhangi bir andaki potansiyel enerji  $\Pi$  ise  $\partial \Pi = 0$  olmalıdır.

Bir cisim etki eden hacimsel kuvvetler  $X, Y, Z$

Yer değiştirmeleri  $u, v, w$

Yüzeysel kuvvetler  $p_x, p_y, p_z$

Yer değiştirmeleri  $\bar{u}, \bar{v}, \bar{w}$

$$\bar{\Pi} = A_i - \left( \int_V (X.u + Y.v + Z.) dV + \int_A (\rho_x \cdot \bar{u} + \rho_y \cdot \bar{v} + \rho_z \cdot \bar{w}) dF \right) \quad (3.41)$$

Burada  $A_i$  deformasyon işidir.

Plaklarda :	$X = 0$	$p_x = 0$
	$Y = 0$	$p_y = 0$
	$Z = 0$	$p_z = p \quad \bar{w} = w$

$$\bar{\Pi} = A_i - \int_A p \cdot w \cdot dF \quad (3.42)$$

olur.  $A_i$  deformasyon işi ise ( $\bar{\epsilon}_z = 0$ ,  $\bar{\epsilon}_z = 0$  olduğu hatırlanarak)

$$A_i = \frac{1}{2} \int_V (\bar{\epsilon}_x \epsilon_x + \bar{\epsilon}_y \epsilon_y + \bar{\gamma}_{xy} \gamma_{xy}) dV \quad (3.43)$$

$$\epsilon_x = \frac{1}{E} (\bar{\epsilon}_x - \mu \bar{\epsilon}_y); \epsilon_y = \frac{1}{E} (\bar{\epsilon}_y - \mu \bar{\epsilon}_x); \gamma_{xy} = \frac{\bar{\gamma}_{xy}}{G} = \frac{2 \bar{\gamma}_{xy} (1 + \mu)}{E}$$

değerleri yerlerine yazılırsa :

$$A_i = \frac{1}{2E} \int_V [(\bar{\epsilon}_x^2 + \bar{\epsilon}_y^2 - 2\mu \bar{\epsilon}_x \bar{\epsilon}_y) + 2(1+\mu) \bar{\gamma}_{xy}^2] dV \quad (3.44)$$

$\bar{\epsilon}_x$ ,  $\bar{\epsilon}_y$ ,  $\bar{\gamma}_{xy}$  yerine, (2.9), (2.10), (2.11)'de bulunan  $w$  cinsinden eşdeğerleri yazılırsa :

$$A_i = \frac{E}{1-\mu^2} \int_V \left\{ \frac{1}{2} (W''_{xx} + W''_{yy})^2 - (1-\mu) [W''_{xx} W''_{yy} - (W''_{xy})^2] \right\} z^2 dV$$

$dV = dF \cdot dz$  yazılıp  $z = \pm h/2$  sınırları arasında  $z$ 'e göre integrasyon yapılırsa :

$$A_i = D \int_A \left\{ \frac{1}{2} (W''_{xx} + W''_{yy})^2 - (1-\mu) [W''_{xx} W''_{yy} - (W''_{xy})^2] \right\} dF \quad (3.45)$$

Serbestçe mesnetlenmiş, kalınlığı sabit ve kenarları doğru olan plaklarda bu ifade daha basitleşerek (Gauss eğriliği diye adlandırılan ikinci terim sıfır olur) :

$$A_i = \frac{D}{2} \int_A (W''_{xx} + W''_{yy})^2 dF \quad (3.46)$$

halini alır. Genel halde :

$$\Pi = \frac{1}{2} \iint_D \left\{ (W_{xx}'' + W_{yy}'')^2 - 2(1-\mu) [W_{xx}'' \cdot W_{yy}'' - (W_{xy}'')^2] \right\} dx dy - \iint_D \rho w dx dy \quad (3.47)$$

$$W = c_1 f_1(x, y) + c_2 f_2(x, y) + c_3 f_3(x, y) + \dots + c_n f_n(x, y) = \sum_{i=1}^n c_i f_i(x, y) \quad (3.48)$$

Burada  $f_i(x, y)$  ( $i = 1, 2, 3, \dots, n$ ) fonksiyonları sınır şartlarını sağlamalı ve deformen plak yüzeyini temsil edebilmelidir.

$\partial \Pi = 0$  olması gereklidir. Bu demektir ki :

$$\frac{\partial \Pi}{\partial c_1} = 0, \frac{\partial \Pi}{\partial c_2} = 0, \frac{\partial \Pi}{\partial c_3} = 0, \dots, \frac{\partial \Pi}{\partial c_n} = 0 \quad (3.49)$$

Buradan  $c_i$  değerleri hesaplanır.

Buraya kadar anlatılanlardan, Ritz metoduya plak probleminin çözümünde sınır şartlarını sağlayan ve plaqın gerçek deformeyi yaklaşık olarak belirleyebilecek uygun  $f_i(x, y)$  fonksiyonlarının seçiminin önemi hemen anlaşılır. Metodun istenilen yaklaşılığının sağlanması buna bağlıdır.

Uygun şekil fonksiyonlarının seçilmesi için de burada, trigonometrik fonksiyonlardan ve kırışların sehim formüllerinden yararlanılacaktır.

Düsey sehimleri, değişkenlerine ayrılmış sonsuz bir seri olarak ifade edelim.

$$W(x, y) = \sum_m \sum_n W_{mn} X_m(x) Y_n(y) \quad (3.50)$$

Burada  $X_m(x)$  ve  $Y_n(y)$ , seri ifadesi içinde, tek başına (hiç değilse) geometrik sınır şartlarını sağlayan ve her biri  $x$ 'in veya  $y$ 'in fonksiyonları olan terimleri ifade ediyor.

$x = 0$  ve  $x = a$  da serbestçe mesnetlenmiş kenarlarda, örneğin

$$\sum_m W_m \sin \frac{m\pi x}{a} \quad (m = 1, 2, 3, \dots) \quad (3.51)$$

biriminde bir sinüs serisi kullanılabilir. Benzer şekilde  $y$  doğrusunda  $y = 0$  ve  $y = b$  için serbestçe mesnetlenmiş kenarlarda

$$\sum_n W_n \sin \frac{n\pi y}{b} \quad (3.52)$$

serisi kullanılabilir. Eğer  $x = 0$  ve  $x = a$  kenarları ankastre ise:

$$\sum_{m=1}^{\infty} \frac{1}{2} W_m \left( 1 - \cos \frac{2m\pi x}{a} \right) \quad (m = 1, 3, 5, \dots) \quad (3.53)$$

tipinde bir cosinus serisi kullanmak yararlı olur. Koordinat eksenlerinin başlangıcı plaqın ortası alınırsa :

$$X_m = \sum_{m=1}^{\infty} W_m \left[ 1 - (-1)^m \cos \frac{2m\pi x}{a} \right] \quad (m = 1, 3, 5, \dots) \quad (3.54)$$

Benzer şekilde  $y = 0$ ,  $y = a$  kenarları ankastre ise :

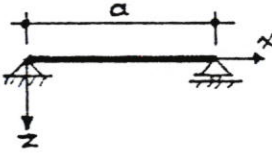
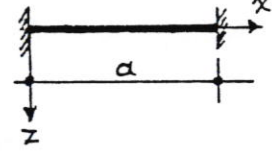
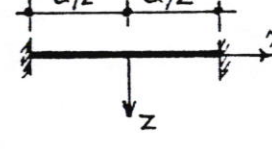
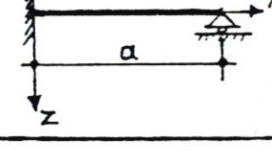
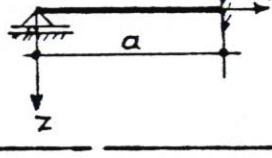
$$Y_n = \sum_{n=1}^{\infty} \frac{1}{2} W_n \left( 1 - \cos \frac{2n\pi y}{b} \right) \quad (n = 1, 3, 5, \dots) \quad (3.55)$$

Karşılıklı kenarlar serbestçe mesnetlenmiş ve diğerleri ankastre ise sinüs ve cosinus serilerinin bir kombinezonunu birlikte kullanmak faydalı olur .

$$W(x, y) = \frac{1}{2} \sum_{m=1}^{\infty} \sum_{n=1}^{\infty} W_{mn} \cdot \sin \frac{m\pi x}{a} \left( 1 - \cos \frac{2n\pi y}{b} \right) \\ (m = 1, 2, 3, \dots; n = 1, 3, 5, \dots)$$

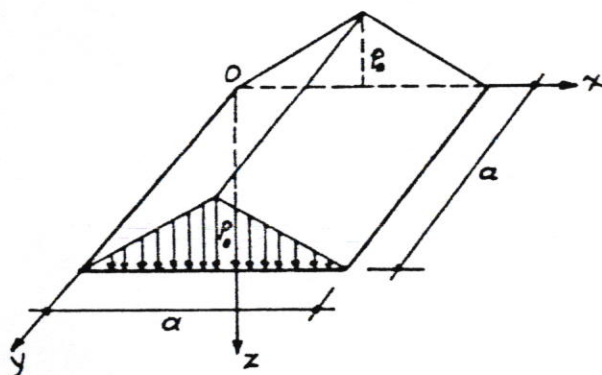
Trigonometrik fonksiyonlar ,şekil fonksiyonu için tek seçenek degildir . Şekil fonksiyonları aynı zamanda kirişlerin sehim ifadele-rinden yararlanarak da bulunabilir . Bunun için ( $dy$ ) genişliğinde bir şerit kiriş gibi düşünüllür ve kiriş diferansiyel denklemini integre ederek elastik eğri denklemi elde edilir . Kirişin sehim formülü ile trigonometrik serilerin kobinezonu da şekil fonksiyonu için yeni bir olanak sağlar .

T a b l o 3 . 1 . DİKDÖRTGEN PLAKLARIN YAKLAŞIK ANALİZİ İÇİN  
BAZI ŞEKİL FONKSİYONLARI /2/

Durum	Sınır şartları	$w(x,y) = \sum \sum W_{mn} \cdot X_m(x) \cdot Y_n(y)$ ifadesindeki $\sum_m X_m(x)$ şekil fonksiyonları
1		$\sum_m X_m(x) = \sum_m \sin \frac{m\pi x}{a}$
2		$\sum_m X_m = \sum_m \frac{1}{2} (1 - \cos \frac{2m\pi x}{a}) \quad (m=1,3,5\dots)$ $\sum_m X_m = \sum_m \sin \frac{\pi x}{a} \cdot \sin \frac{m\pi x}{a}$ $\sum_m X_m = \frac{x}{a} (\frac{x}{a} - 1)^2 + \sum_m (-1)^m \frac{x^2}{a^2} (\frac{x}{a} - 1) - \sum_m \frac{1}{m m\pi} \cdot \sin \frac{m\pi x}{a}$
3		$\sum_m X_m = \sum_m (a^2 - 4x^2)^2 \cdot x^m \quad (m=0,1,2\dots)$
4		$\sum_m X_m = \frac{x}{a} (\frac{x}{a} - 1) (\frac{x}{2a} - 1) - \sum_m \frac{1}{m m\pi} \cdot \sin \frac{m\pi x}{a}$
4a		$\sum_m X_m = \sum_m \frac{x}{2a} (\frac{x^2}{a^2} - 1) (-1)^m - \sum_m \frac{1}{m m\pi} \cdot \sin \frac{m\pi x}{a}$

Örnek 3.3.

Dört kenarından serbestçe mesnetlenmiş kare bir plak, şekil (3.9)'da görüldüğü gibi üçgen prizma şeklinde bir yük etkisi altındadır. Maksimum sehimini bulunuz.



$$0 < x < \frac{a}{2} \text{ için } p = \frac{2p_0 x}{a}$$

$$\frac{a}{2} < x < a \text{ için } p = 2p_0 - \frac{2p_0 x}{a}$$

Şekil 3.9

Kenarlardan serbestçe mesnetlendiği için, bir çift sinüs serisi elastik yüzeyi belirtebilir.

$$W(x,y) = \sum_m \sum_n W_{mn} \cdot \sin \frac{m\pi x}{a} \cdot \sin \frac{n\pi y}{b}$$

$$(m = 1, 3, 5, \dots ; n = 1, 3, 5, \dots)$$

Burada  $w_{mn} = c_1$  ;  $\sin \frac{m\pi x}{a} = X_m(x)$  ;  $\sin \frac{n\pi y}{b} = Y_n(y)$  yerine geçiyor. Dış yüklerin potansiyel enerjisi :

$$V_d = \iint_{0,0}^{a,b} [p(x,y) w(x,y)] dx dy$$

$$= -2 \sum_m \sum_n \iint_{0,0}^{a,b} \frac{2p_0 x}{a} \cdot W_{mn} \cdot \sin \frac{m\pi x}{a} \cdot \sin \frac{n\pi y}{b} dx dy$$

$$= - \sum_m \sum_n \frac{8p_0 a^2}{m^2 n \pi^3} \cdot W_{mn} \cdot \sin \frac{m\pi}{2}$$

$$A_i = \frac{D}{2} \iint_{0,0}^{a,a} \sum_m \sum_n \left[ W_{mn} \left( \frac{m^2 \pi^2}{a^2} + \frac{n^2 \pi^2}{b^2} \right) \sin \frac{m\pi x}{a} \cdot \sin \frac{n\pi y}{b} \right]^2 dx dy$$

$$= \frac{D \pi^4 a^2}{8} \sum_m \sum_n W_{mn}^2 \left( \frac{m^2}{a^2} + \frac{n^2}{b^2} \right)$$

$$T = \frac{D \pi^4 a^2}{8} \sum_m \sum_n W_{mn}^2 \left( \frac{m^2}{a^2} + \frac{n^2}{b^2} \right)^2 - \sum_m \sum_n \frac{8p_0 a^2}{m^2 n \pi^3} W_{mn} \cdot \sin \frac{m\pi}{2}$$

Toplam potansiyel enerjinin minimum olması için  $\frac{\partial \Pi}{\partial W_{mn}} = 0$  olmalı.

$$\frac{D\Pi^4 a^2}{4} W_{mn} \left( \frac{m^2}{a^2} + \frac{n^2}{a^2} \right)^2 - \frac{8P_0 a^2}{m^2 n \Pi^3} \cdot \sin \frac{m\Pi}{2} = 0$$

$$W_{mn} = \frac{32 P_0 a^4 \sin \frac{m\Pi}{2}}{m^2 n \Pi^7 D (m^2 + n^2)^2}$$

$$W(x,y) = \frac{32 P_0 a^4}{D \cdot \Pi^7} \sum_m \sum_n \frac{\sin(m\Pi/2)}{m^2 n (m^2 + n^2)^2} \cdot \sin \frac{m\Pi x}{a} \cdot \sin \frac{n\Pi y}{a}$$

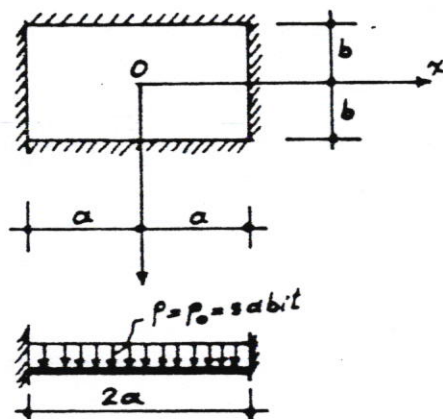
$$(m,n = 1,3,5,\dots)$$

Maksimum sehim  $x = y = a/2$  noktasındadır. Serinin ilk üç terimini alarak ( $m = 1, n = 1 ; m = 1, n = 3 ; m = 3, n = 1$ )

$$W_{max.} = \frac{7,9289 \frac{P_0 a^4}{D}}{7} = 0,002625 \frac{P_0 a^4}{D} \quad (\text{Kesin çözüm : } 0,00263 \frac{P_0 a^4}{D})$$

#### Örnek 3.4.

Kenarlarının oranı  $a/b = 1,5$  olan, düzgün yayılı yükle yüklü ankastre bir plaqın maksimum sehimini bulunuz.



Sekil 3.10

Deforme plak yüzeyinin iki doğrultuda da simetrik olmasından yararlanmak için koordinat eksenlerinin başlangıç noktasını plaqın orta noktası seçiyoruz.

$$W(x,y) = \sum_m \sum_n \frac{W_{mn}}{4} \left[ 1 - (-1)^m \cos \frac{m\Pi x}{a} \right] \left[ 1 - (-1)^n \cos \frac{n\Pi y}{b} \right]$$

$$(m = 1,3,5,\dots ; n = 1,3,5,\dots)$$

Bu ifade sınır şartlarını sağlar :

$$(w)_{x=\pm a} = 0$$

$$\left(\frac{\partial w}{\partial x}\right)_{x=\pm a} = 0$$

$$(w)_{y=\pm b} = 0$$

$$\left(\frac{\partial w}{\partial y}\right)_{y=\pm b} = 0$$

Basitliği sağlamak için yukarıdaki  $w(x,y)$  ifadesinin sadece ilk terimi alalım :

$$w = \frac{W_{11}}{4} \left(1 + \cos \frac{\pi x}{a}\right) \left(1 + \cos \frac{\pi y}{b}\right)$$

Deformasyon enerjisi :

$$A_i = \frac{D}{2} \iint_{-a-b}^{a+b} (\Delta w)^2 dx dy = \frac{D\pi^4 W_{11}^2}{32} \left(\frac{3b}{a^3} + \frac{3a}{b^3} + \frac{2}{ab}\right)$$

Dış kuvvetlerin potansiyel enerjisi :

$$V_d = -p_0 \iint_{-a-b}^{a+b} w(x,y) dx dy = -p_0 W_{11} a \cdot b$$

$$\pi = \frac{D\pi^4 W_{11}^2}{32} \left(\frac{3b}{a^3} + \frac{3a}{b^3} + \frac{2}{ab}\right) - p_0 W_{11} a \cdot b$$

$$\frac{\partial \pi}{\partial W_{11}} = 0 \rightarrow \frac{2 W_{11} D \pi^4}{32} \left(\frac{3b}{a^3} + \frac{3a}{b^3} + \frac{2}{ab}\right) = p_0 \cdot a \cdot b$$

$$\frac{W_{11} \cdot D \cdot \pi^4}{16} \cdot \frac{3b^4 + 3a^4 + 2a^2b^2}{a^3b^3} = p_0 \cdot a \cdot b$$

$$W_{11} = \frac{16 p_0 a^4}{D \cdot \pi^4} \cdot \frac{1}{3 + 3 \frac{a^4}{b^4} + 2 \frac{a^2}{b^2}}$$

$x = 0, y = 0$  için  $w_{11} = w_{\max}$ . olur.  $a/b = 1,5$  alınırsa :

$$w_{\max} = 0,0072398 \frac{p_0 a^4}{D}$$

$$w_{\max} \approx 0,079 \frac{p_0 a^4}{E h^3} \quad (\mu = 0,3)$$

### 3. 6 . Galerkin metodu

Galerkin metodu çok değişik türde problemlere (plak ve kabukların küçük veya büyük sehimli olanlarına, lineer veya lineer olmayan titreşim ve stabilité problemlerine) uygulanabilen geniş kapsamlı bir varyasyon metodudur. Burada, özel olarak, küçük sehimli plak problemine uygulanacaktır.

Dengede bulunan bir taşıyıcı sistem düşünelim. Doğal olarak dış kuvvetlerle iç kuvvetlerin toplamı sıfır olur. Sonsuz küçük bir elemanın denge konumu,  $x, y, z$  doğrultusundaki dengeyi ifade eden uygun diferansiyel denklemlerle açıklanabilir. Özel olarak, küçük sehimli plak probleminde  $z$  doğrultusunda denge yeterlidir.

$$D \cdot \Delta \Delta w - p(x, y) = 0 \quad (3.56)$$

Şekil fonksiyonu olarak :

$$w(x, y) = \sum_{i=1}^n c_i f_i(x, y) \quad (3.57)$$

seçelim. Bu fonksiyonun bütün terimleri bütün sınır şartlarını (geometrik ve statik) sağlamalıdır. Fakat plak diferansiyel denklemini sağlaması gerekmektedir. Plak denklemi iç ve dış kuvvetlerin  $z$  doğrultusundaki dengesinden çıkarıldığından, bütün bu kuvvetlerin ( $\delta w$ ) virtüel deplasmanında yaptıkları toplam iş :

$$\iint_A [D \cdot \Delta \Delta w - p_z(x, y)] (\delta w) dx dy = 0 \quad (3.58)$$

(3.58) bağıntısında  $w$  yerine (3.57)'deki değeri yazılırsa :

$$\sum_{i=1}^n \delta c_i \iint_A [D \cdot \Delta \Delta w(x, y) - p_z(x, y)] \cdot f_i(x, y) dx dy = 0 \quad (3.59)$$

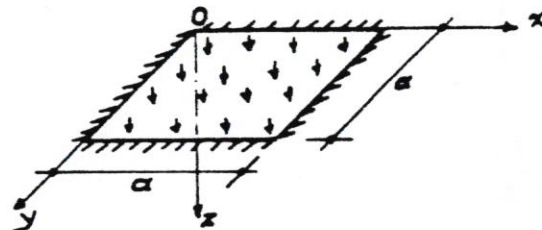
(3.59) denkleminin  $\delta c_i$ 'nin her değeri için sağlanabilmesi koşulu:

$$\begin{aligned} \iint_A (D \cdot \Delta \Delta w - p_z) f_1(x, y) dx dy &= 0 \\ \iint_A (D \cdot \Delta \Delta w - p_z) f_2(x, y) dx dy &= 0 \\ \cdots &\cdots \\ \iint_A (D \cdot \Delta \Delta w - p_z) f_n(x, y) dx dy &= 0 \end{aligned} \quad (3.60)$$

(3.57) 'deki  $w$  değerleri (3.60) 'da yerine yazıldıkten sonra plak yüzeyince integrasyon yapılırsa , plak diferansiyel denkleminin çözümü , basit fonksiyonların belirli integralerine indirgenmiş olur . Bunun sonucu da elde edilen lineer denklemlerden bilinmeyen ( $c_1, c_2 \dots c_n$ ) katsayıları bulunur . Bütün enerji yaklaşımlarında olduğu gibi , metodun yaklaşıklığı , uygun şekil fonksiyonlarının seçilmesine bağlıdır .

### Örnek 3.5.

Şekilde verilen dört kenarından ankastre kare plaqın ,  $p = p_0$  düzgün yayılı yük etkisinde , sehim ifadesini ve maksimum sehimini bulunuz .



Şekil 3.11. Düzgün yayılı yükle yüklü kare plak

$$W(x,y) = \sum \sum W_{mn} \frac{1}{4} \left( 1 - \cos \frac{2m\pi x}{a} \right) \left( 1 - \cos \frac{2n\pi y}{a} \right)$$

$$(m, n = 1, 3, 5, \dots)$$

seçelim . Bu şekil fonksiyonu (  $x=0$  ve  $x=a$  için )  $w=0$  ve  $\frac{\partial w}{\partial x} = \frac{\partial w}{\partial y} = 0$  şartlarını sağlar . Çözümü basitleştirmek için sadece ilk terimi ( $m=1 ; n=1$ ) gözönüne alalım . Böylece varyasyon ifadesi :

$$\iint_{0,0}^{a,a} \left[ D.W_{11} \cdot \Delta \Delta f_1(x,y) - p_0 \right] f_1(x,y) dx dy = 0$$

haline gelir . Burada :

$$f_1(x,y) = \frac{1}{4} \left( 1 - \cos \frac{2\pi x}{a} \right) \left( 1 - \cos \frac{2\pi y}{b} \right)$$

dir. Bu değer yerine yazılırsa :

1. Terim :

$$\begin{aligned}
 W_{11} D \iint_{0,0}^{a,a} [\Delta \Delta f_1(x,y)] f_1(x,y) dx dy &= W_{11} D \iint_{0,0}^{a,a} \left[ -\frac{1}{16} \left( \frac{2\pi}{a} \right)^4 (1-\cos \frac{2\pi x}{a}) \cos \frac{2\pi x}{a} \right. \\
 &\quad \left. + \frac{1}{8} \left( \frac{2\pi}{a} \right)^4 \cos \frac{2\pi x}{a} \cdot \cos \frac{2\pi y}{a} - \frac{1}{16} \left( \frac{2\pi}{a} \right)^4 (1-\cos \frac{2\pi x}{a}) \cos \frac{2\pi y}{a} \right] (1-\cos \frac{2\pi x}{a})(1-\cos \frac{2\pi y}{a}) \\
 &= W_{11} D \left( \frac{3\pi^4}{4a^2} + \frac{\pi^4}{2a^2} + \frac{3\pi^4}{4a^2} \right) = \frac{2W_{11} D \pi^4}{a^2}
 \end{aligned}$$

2. Terim :

$$P_0 \iint_{0,0}^{a,a} f_1(x,y) dx dy = \frac{P_0}{4} \iint_{0,0}^{a,a} (1-\cos \frac{2\pi x}{a})(1-\cos \frac{2\pi y}{a}) dx dy = \frac{P_0 a^2}{4}$$

Böylece :

$$\frac{2W_{11} \cdot D \pi^4}{a^2} = \frac{P_0 \gamma^2}{4}$$

$$W_{11} = \frac{P_0 a^4}{8D\pi^4}$$

$$W_{max} = \left. \frac{P_0 a^4}{8D\pi^4} \cdot \frac{1}{4} (1+1)(1+1) \right|_{\substack{x=a/2 \\ y=a/2}} = 0.00128 \frac{P_0 a^4}{D}$$

W<sub>max.</sub> için kesin değer:

$$W_{max.} = 0,00126 \frac{P_0 a^4}{D}$$

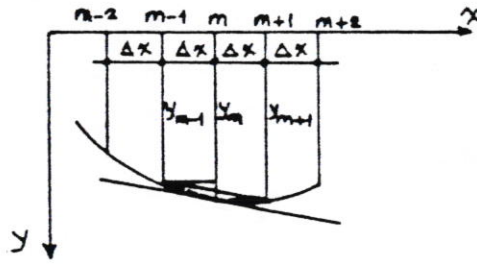
Yalnız bir terim alındığı halde hata :

$$\frac{(0,00128 - 0,00126)}{0,00126} = 1,6 \%$$

### 3.7. Sonlu farklar metodu

#### 3.7.1 - Kirişler için sonlu farklar :

Sonlu farklar metodu, analitik çözümü güç olan birçok plak probleminde başvurulan, uygulama alanı çok geniş, yaklaşık bir sayısal metottur. Metodun özü, plak diferansiyel denklemini sonlu farklardan (finite differences) oluşan bir yaklaşık cebirsel denklemeye dönüştürmektedir. Problemi önce tek boyutlu olarak dikkate alalım. Yani  $y = f(x)$  eğrisini göz önüne alalım:



Şekil 3.12. Kirişte sonlu farklar

$$x_m - x_{m-1} = x_{m+1} - x_m = \dots = \Delta x$$

olsun. Bu eğrinin  $m$  noktasındaki teğetinin eğimini yani  $(\frac{dy}{dx})_m$  sonlu farklar cinsinden ifade etmek istiyoruz.

$$(\frac{dy}{dx})_m \approx (\frac{\Delta y}{\Delta x})_m \quad (3.61)$$

$\frac{\Delta y}{\Delta x}$  için iki değer yazılabilir: (1) İleri değer; (2) geri değer

(1) İleri değer:

$$\frac{y_{m+1} - y_m}{\Delta x} = (\frac{\Delta y}{\Delta x})_{m+1,m}$$

(2) Geri değer:

$$\frac{y_m - y_{m-1}}{\Delta x} = (\frac{\Delta y}{\Delta x})_{m,m-1}$$

(3) Ortalama(merkezi) değer:

$$\frac{1}{2} \left[ (\frac{\Delta y}{\Delta x})_{m+1,m} + (\frac{\Delta y}{\Delta x})_{m,m-1} \right]$$

$$(\frac{\Delta y}{\Delta x})_m = \frac{y_{m+1} - y_m}{2 \Delta x} + \frac{y_m - y_{m-1}}{2 \Delta x} = \frac{y_{m+1} - y_{m-1}}{2 \Delta x}$$

$$\left(\frac{dy}{dx}\right)_m \approx \left(\frac{\Delta Y}{\Delta X}\right)_m = \frac{y_{m+1} - y_{m-1}}{2\Delta x} \quad (3.62)$$

$$\left(\frac{d^2Y}{dx^2}\right)_m = \frac{d}{dx} \left(\frac{dy}{dx}\right)_m \approx \frac{\Delta}{\Delta x} \left(\frac{\Delta Y}{\Delta X}\right)_m$$

$\frac{\Delta Y}{\Delta x}$  'in birim boydaki değişimini arayalım.

$$\frac{\Delta}{\Delta x} \left(\frac{\Delta Y}{\Delta X}\right)_m = \frac{1}{\Delta x} \left[ \left(\frac{\Delta Y}{\Delta X}\right)_{m+1,m} - \left(\frac{\Delta Y}{\Delta X}\right)_{m,m-1} \right]$$

$$\frac{\Delta^2 Y}{\Delta x^2} = \frac{\frac{y_{m+1} - y_m}{\Delta x} - \frac{y_m - y_{m-1}}{\Delta x}}{\Delta x} = \frac{y_{m+1} - 2y_m + y_{m-1}}{(\Delta x)^2}$$

$$\frac{d^2Y}{dx^2} \approx \frac{\Delta^2 Y}{\Delta x^2} = \frac{y_{m+1} - 2y_m + y_{m-1}}{(\Delta x)^2} \quad (3.63)$$

Acaba  $\frac{d^4 y}{dx^4}$  sonlu farklar cinsinden nasıl ifade edilir?

$$\left(\frac{d^4 Y}{dx^4}\right)_m \approx \left(\frac{\Delta^4 Y}{\Delta x^4}\right)_m$$

$$\left(\frac{\Delta^2 Y}{\Delta x^2}\right)_m = \frac{y_{m+1} - 2y_m + y_{m-1}}{(\Delta x)^2} = \phi(x)_m$$

diyelim.

$$\left(\frac{\Delta^4 Y}{\Delta x^4}\right) = \left(\frac{\Delta^2 \phi}{\Delta x^2}\right)$$

olacaktır. (3.63) ifadesi yardımıyla :

$$\frac{\Delta^2 \phi}{\Delta x^2} = \frac{\phi_{m+1} - 2\phi_m + \phi_{m-1}}{(\Delta x)^2}$$

$$\phi_{m+1} = \frac{y_{m+2} - 2y_{m+1} + y_m}{(\Delta x)^2}$$

$$\phi_{m-1} = \frac{y_m - 2y_{m-1} + y_{m-2}}{(\Delta x)^2}$$

Bu değerler yukarıda yerine yazılırsa :

$$\frac{\Delta^4 Y}{\Delta x^4} = \frac{(y_{m+2} - 2y_{m+1} + y_m) - (y_{m+1} - 2y_m + y_{m-1})2 + (y_m - 2y_{m-1} + y_{m-2})}{(\Delta x)^4}$$

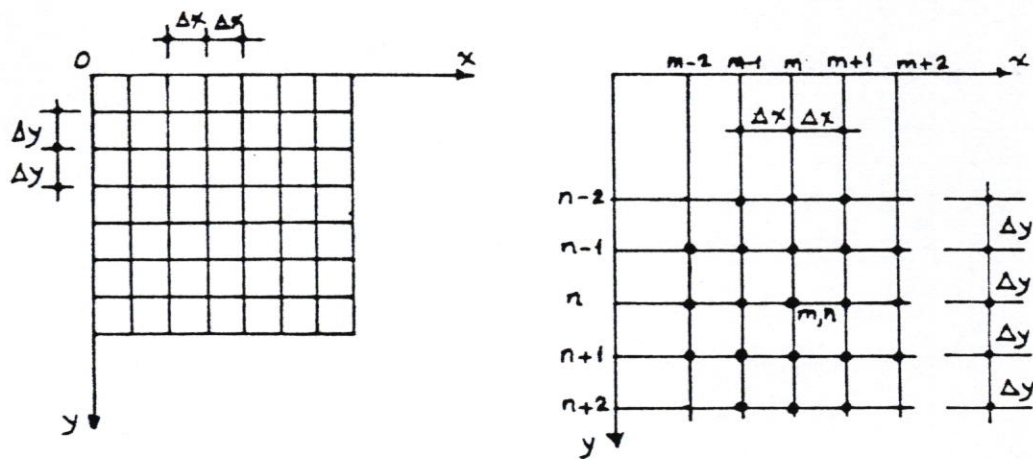
$$\frac{\Delta^4 Y}{\Delta x^4} = \frac{y_{m+2} - 4y_{m+1} + 6y_m - 4y_{m-1} + y_{m-2}}{(\Delta x)^4} \quad (3.64)$$

TÜREV	K A T S A Y I L A R	ÇARPAN
$y'$	$-1 \quad +1$	$\frac{1}{2 \Delta x}$
$y''$	$+1 \quad -2 \quad +1$	$\frac{1}{(\Delta x)^2}$
$y'''$	$-1 \quad +2 \quad -2 \quad +1$	$\frac{1}{2(\Delta x)^3}$
$y^{(4)}$	$+1 \quad -4 \quad +6 \quad -4 \quad +1$	$\frac{1}{(\Delta x)^4}$
NOKTA	$m-2 \quad m-1 \quad m \quad m+1 \quad m+2$	

Tablo 3.2. Kırışık türevlerin sonlu farklarla ifadesi için katsayılar şeması

### 3.7.2 - Plaklar için sonlu farklar :

Şimdi plak denklemine gelelim :  $W = W(x,y)$  ; yani iki doğrultuda değişkenlik söz konusudur. Fakat parsiyel türev alınırken, diğer değişken sabit kabul edileceğinden, tek bir değişkene göre türevlerde bulunan ifadeler geçerli olur.



Şekil 3.13 . Plaklarda sonlu farklar ağı

Plağı şekilde görüldüğü gibi, bir sağ biciminde  $\Delta x$  ve  $\Delta y$  genişliğinde dilimlere ayırdığımızı, ağıın kesim noktalarındaki sehimleri sonlu farklar olarak gösterdiğimizi düşünelim.  $(m,n)$  noktasını merkez noktası kabul edelim.

$$\left(\frac{\partial^4 w}{\partial x^4}\right)_m \approx \frac{w_{m-2,n} - 4w_{m-1,n} + 6w_{mn} - 4w_{m+1,n} + w_{m+2,n}}{(\Delta x)^4} \quad (3.65)$$

$$\left(\frac{\partial^4 w}{\partial y^4}\right)_m \approx \frac{w_{m,n-2} - 4w_{m,n-1} + 6w_{mn} - 4w_{m,n+1} + w_{m,n+2}}{(\Delta y)^4} \quad (3.66)$$

İki değişkene göre alınan türevleri yeniden inceleyelim.

$$\left(\frac{\partial w}{\partial x}\right) \approx \frac{w_{m+1,n} - w_{m-1,n}}{2\Delta x} = \phi_{mn} \quad \left(\frac{\partial w}{\partial y}\right) \approx \frac{w_{m,n+1} - w_{m,n-1}}{2\Delta y}$$

Burada  $\phi_{m,n} = \phi(x,y)_{m,n}$

$$\left(\frac{\partial^2 w}{\partial x \partial y}\right) \approx \frac{\Delta}{\Delta y} \left(\frac{\partial w}{\partial x}\right)_{mn} = \left[ \frac{\Delta \phi(x,y)}{\Delta y} \right]_{mn} = \frac{\phi_{m,n+1} - \phi_{m,n-1}}{2\Delta y}$$

$$\phi_{m,n+1} = \frac{w_{m+1,n+1} - w_{m-1,n+1}}{2\Delta x}; \phi_{m,n-1} = \frac{w_{m+1,n-1} - w_{m-1,n-1}}{2\Delta x}$$

$$\frac{\partial^2 w}{\partial x \partial y} \approx \frac{\Delta^2 w}{\Delta x \cdot \Delta y} = \frac{(w_{m+1,n+1} + w_{m-1,n-1}) - (w_{m-1,n+1} + w_{m+1,n-1})}{4\Delta x \Delta y} \quad (3.67)$$

$$\left(\frac{\partial^2 w}{\partial x^2}\right)_{mn} \approx \frac{w_{m+1,n} - 2w_{mn} + w_{m-1,n}}{(\Delta x)^2} \quad (3.68)$$

$$\left(\frac{\partial^2 w}{\partial y^2}\right)_{mn} \approx \frac{w_{m,n+1} - 2w_{mn} + w_{m,n-1}}{(\Delta y)^2} \quad (3.69)$$

$$\left(\frac{\partial^4 w}{\partial x^2 \partial y^2}\right)_{mn} \approx \frac{\Delta^4 w}{\Delta x^2 \Delta y^2} = \frac{\Delta^2}{\Delta y^2} \left(\frac{\partial^2 w}{\partial x^2}\right) = \frac{\Delta^2 \phi}{\Delta y^2} = \frac{\phi_{m,n+1} - 2\phi_{mn} + \phi_{m,n-1}}{(\Delta y)^2}$$

$$\begin{aligned} \left(\frac{\partial^4 w}{\partial x^2 \Delta y^2}\right)_{mn} &= \frac{(w_{m+1,n+1} - 2w_{m,n+1} + w_{m-1,n+1}) - 2(w_{m+1,n} - 2w_{mn} + w_{m-1,n})}{(\Delta x)^2 (\Delta y)^2} \\ &\quad + \frac{(w_{m+1,n-1} - 2w_{m,n-1} + w_{m-1,n-1})}{(\Delta x)^2 (\Delta y)^2} \end{aligned}$$

$$\left(\frac{\partial^4 w}{\partial x^2 \partial y^2}\right)_{mn} = \left(\frac{\Delta^4 w}{\Delta x^2 \Delta y^2}\right)_{mn} = \frac{4w_{mn} - 2(w_{m,n+1} + w_{m+1,n} + w_{m-1,n} + w_{m,n-1})}{(\Delta x)^2 (\Delta y)^2} + \dots$$

$$\dots + \frac{W_{m+1,n+1} + W_{m-1,n+1} + W_{m+1,n-1} + W_{m-1,n-1}}{(\Delta x)^2 (\Delta y)^2} \quad (3.70)$$

Plak diferansiyel denklemi sonlu farklar cinsinden yazılırsa :

$$\frac{\partial^4 w}{\partial x^4} + 2 \frac{\partial^4 w}{\partial x^2 \partial y^2} + \frac{\partial^4 w}{\partial y^4} = \frac{\Delta^4 w}{\Delta x^4} + 2 \frac{\Delta^4 w}{\Delta x^2 \Delta y^2} + \frac{\Delta^4 w}{\Delta y^4} = \frac{P}{D}$$

Sonlu farklar için (3.65), (3.66), (3.70)de bulunan değerler yerlerine yazılırsa :

$$\begin{aligned} & \frac{W_{m-2,n} - 4W_{m-1,n} + 6W_{mn} - 4W_{m+1,n} + W_{m+2,n}}{(\Delta x)^4} + \dots \\ & + \frac{8W_{mn} - 4(W_{m,n+1} + W_{m+1,n} + W_{m-1,n} + W_{m,n-1}) + 2(W_{m+1,n+1} + W_{m-1,n+1} + W_{m+1,n-1} + W_{m-1,n-1})}{(\Delta x)^2 (\Delta y)^2} + \dots \\ & + \frac{W_{m,n-2} - 4W_{m,n-1} + 6W_{mn} - 4W_{m,n+1} + W_{m,n+2}}{(\Delta y)^4} = \frac{P}{D} \end{aligned} \quad (3.71)$$

Denklemi her iki tarafı  $(\Delta x)^2 (\Delta y)^2$  ile çarpılır ve  $\frac{\Delta x}{\Delta y} = \alpha$  denirse :

Dikdörtgen elemanlar için, plak denklemi sonlu farklarla ifadesi

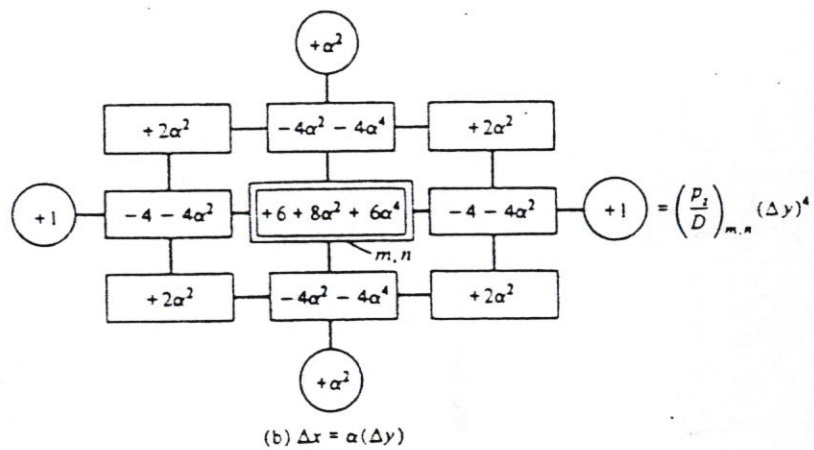
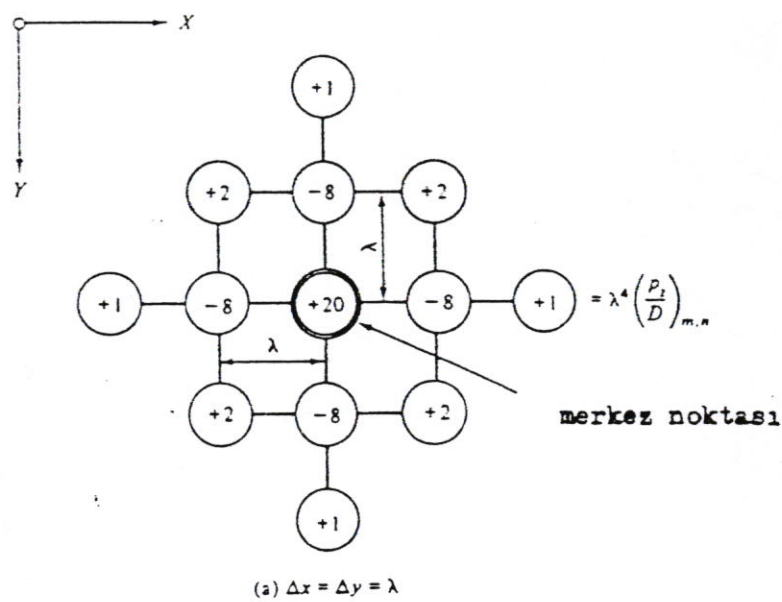
$$\begin{aligned} & W_{mn} \left[ 6\left(\alpha^2 + \frac{1}{\alpha^2}\right) + 8 \right] - 4 \left[ \left(1 + \frac{1}{\alpha^2}\right)(W_{m-1,n} + W_{m+1,n}) + (1 + \alpha^2)(W_{m,n-1} + W_{m,n+1}) \right] + \dots \\ & + 2 \left( W_{m+1,n+1} + W_{m-1,n+1} + W_{m+1,n-1} + W_{m-1,n-1} \right) + \frac{1}{\alpha^2} \left( W_{m-2,n} + W_{m+2,n} \right) + \alpha^2 \left( W_{m,n-2} + W_{m,n+2} \right) = \frac{P}{D} \cdot \alpha^2 (\Delta y)^4 \end{aligned}$$

(3.72)

Eğer  $\Delta x = \Delta y$  olarak alınırsa  $\alpha = 1$  olur.

Kare elemanlar için plak denklemi .

$$\begin{aligned} & 20W_{mn} - 8 \left( W_{m-1,n} + W_{m+1,n} + W_{m,n-1} + W_{m,n+1} \right) + 2 \left( W_{m+1,n+1} + W_{m-1,n+1} + W_{m+1,n-1} + W_{m-1,n-1} \right) + \dots \\ & + (W_{m-2,n} + W_{m+2,n} + W_{m,n-2} + W_{m,n+2}) = \frac{P}{D} \cdot (\Delta y)^4 \end{aligned} \quad (3.73)$$



Tablo 3.3. Plaklarda Sonlu Parklar Ağlı için  
Katsayılar Şeması

### 3.7.3 - İç kuvvetler

$$\boxed{\begin{aligned}(M_x)_{m,n} &= -D \left[ \frac{W_{m+1,n} - 2W_{mn} + W_{m-1,n}}{(\Delta x)^2} + \mu \frac{W_{m,n+1} - 2W_{mn} + W_{m,n-1}}{(\Delta y)^2} \right] \\(M_y)_{m,n} &= -D \left[ \frac{W_{m,n+1} - 2W_{mn} + W_{m,n-1}}{(\Delta y)^2} + \mu \frac{W_{m+1,n} - 2W_{mn} + W_{m-1,n}}{(\Delta x)^2} \right] \\(M_{xy})_{mn} &\equiv -D(1-\mu) \frac{(W_{m+1,n+1} + W_{m-1,n-1}) - (W_{m-1,n+1} + W_{m+1,n-1})}{4 \cdot \Delta x \cdot \Delta y}\end{aligned}} \quad (3.74)$$

$\Delta x = \Delta y = \lambda$  ise :

$$\boxed{\begin{aligned}(M_x)_{m,n} &= -\frac{D}{\lambda^2} \left[ (W_{m+1,n} - 2W_{mn} + W_{m-1,n}) + \mu (W_{m,n+1} - 2W_{mn} + W_{m,n-1}) \right] \\(M_y)_{mn} &= -\frac{D}{\lambda^2} \left[ (W_{m,n+1} - 2W_{mn} + W_{m,n-1}) + \mu (W_{m+1,n} - 2W_{mn} + W_{m-1,n}) \right] \\(M_{xy})_{mn} &= \frac{(1-\mu)D}{4\lambda^2} (W_{m+1,n+1} - W_{m+1,n-1} - W_{m-1,n+1} + W_{m-1,n-1})\end{aligned}} \quad (3.75)$$

$Q_x$  ve  $Q_y$  değerlerini bulmak için önce :  $(\Delta W) \approx \frac{\Delta^2 W}{(\Delta x)^2} + \frac{\Delta^2 W}{(\Delta y)^2}$

$$(\Delta W)_{mn} = \frac{W_{m-1,n} - 2W_{mn} + W_{m+1,n}}{(\Delta x)^2} + \frac{W_{m,n-1} - 2W_{mn} + W_{m,n+1}}{(\Delta y)^2}$$

$\Delta x = \Delta y = \lambda$ :

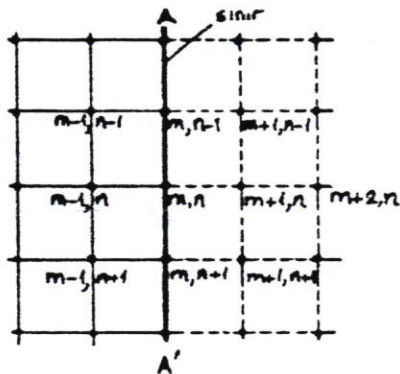
$$\begin{aligned}(\Delta W)_{mn} &= \frac{1}{\lambda^2} (W_{m-1,n} + W_{m+1,n} + W_{m,n-1} + W_{m,n+1} - 4W_{mn}) \\Q_x &= -D \frac{\partial}{\partial x} (\Delta W)_{mn} = -D \frac{(\Delta W)_{m+1,n} - (\Delta W)_{m-1,n}}{2\Delta x} \\&= -\frac{D}{2\lambda} \left\{ \left[ \left( \frac{\Delta^2 W}{(\Delta x)^2} \right)_{m+1,n} - \left( \frac{\Delta^2 W}{(\Delta x)^2} \right)_{m-1,n} \right] + \left[ \left( \frac{\Delta^2 W}{(\Delta y)^2} \right)_{m+1,n} - \left( \frac{\Delta^2 W}{(\Delta y)^2} \right)_{m-1,n} \right] \right\}\end{aligned}$$

$$\boxed{\begin{aligned}(Q_x)_{mn} &= -\frac{D}{2\lambda^3} (W_{m+2,n} - 4W_{m+1,n} + 4W_{m,n} - W_{m-1,n} + W_{m-2,n} + W_{m+1,n+1} - W_{m+1,n-1} - W_{m-1,n+1} + W_{m-1,n-1}) \\(Q_y)_{mn} &= -\frac{D}{2\lambda^3} (W_{m,n+2} - 4W_{m,n+1} + 4W_{m,n} - W_{m,n-1} + W_{m,n-2} + W_{m+1,n+1} - W_{m+1,n-1} - W_{m-1,n+1} + W_{m-1,n-1})\end{aligned}} \quad (3.76)$$

$$\boxed{\begin{aligned}(V_x)_{mn} &= -\frac{D}{2\lambda^3} \left[ 2(3-\mu)(W_{m,n} - W_{m+1,n}) + (2-\mu)(W_{m+1,n+1} - W_{m+1,n-1} - W_{m-1,n+1} + W_{m-1,n-1}) + W_{m+2,n} - W_{m-2,n} \right] \\(V_y)_{mn} &= -\frac{D}{2\lambda^3} \left[ 2(3-\mu)(W_{m,n} - W_{m,n+1}) + (2-\mu)(W_{m+1,n+1} - W_{m+1,n-1} - W_{m-1,n+1} + W_{m-1,n-1}) + W_{m,n+2} - W_{m,n-2} \right]\end{aligned}} \quad (3.77)$$

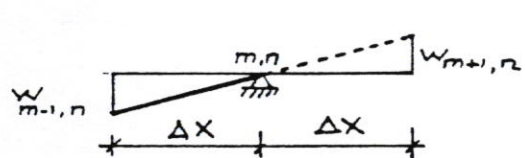
### 3.7.4 - Sınır şartları

Çözümün tam olması için, diferansiyel denklemin çözümü yetmez; sınır şartlarının da sağlanması gereklidir. Bunun için merkez noktası, sınır üzerine taşınır ve plaqin fiktif olarak devam ettiği varsayılar.



Sekil 3.14

#### a ) A - A' basit mesnetlenmiş kenar ise :



$$1) \quad w \Big|_{AA'} = 0$$

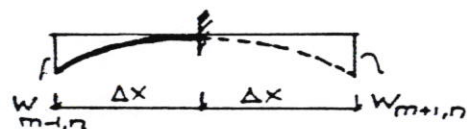
$$2) \quad \Delta w \Big|_{AA'} = 0$$

$$1) \quad w_{m,n} = w_{m,n+1} = w_{m,n-1} = w_{m,n+2} = w_{m,n-2} = 0$$

$$2) \quad \Delta w_{m,n} = \frac{w_{m+1,n} - 2w_{mn} + w_{m-1,n}}{(\Delta x)^2} + \frac{w_{m,n+1} - 2w_{mn} + w_{m,n-1}}{(\Delta y)^2} = 0$$

$$w_{m+1,n} + w_{m-1,n} = 0 \quad w_{m+1,n} = -w_{m-1,n} \quad (3.78)$$

#### b ) A - A' ankastre kenar ise :



$$1) \quad w \Big|_{AA'} = 0$$

$$2) \quad \frac{\partial w}{\partial x} \Big|_{AA'} = 0$$

$$1) \quad w_{m,n} = w_{m,n-1} = w_{m,n+1} = w_{m,\dots} = 0$$

$$2) \quad \frac{w_{m+1,n} - w_{m-1,n}}{2 \Delta x} = 0 \quad w_{m+1,n} = w_{m-1,n} \quad (3.79)$$

c ) A - A' boşta kenar ise :

65

$$1) M_x \Big|_{AA'} = 0$$

$$2) V_x \Big|_{AA'} = 0$$

$$1) (M_x)_{m,n} \approx -2(1+\mu) W_{m,n} + W_{m+1,n} + W_{m-1,n} + \mu(W_{m,n+1} + W_{m,n-1}) = 0$$

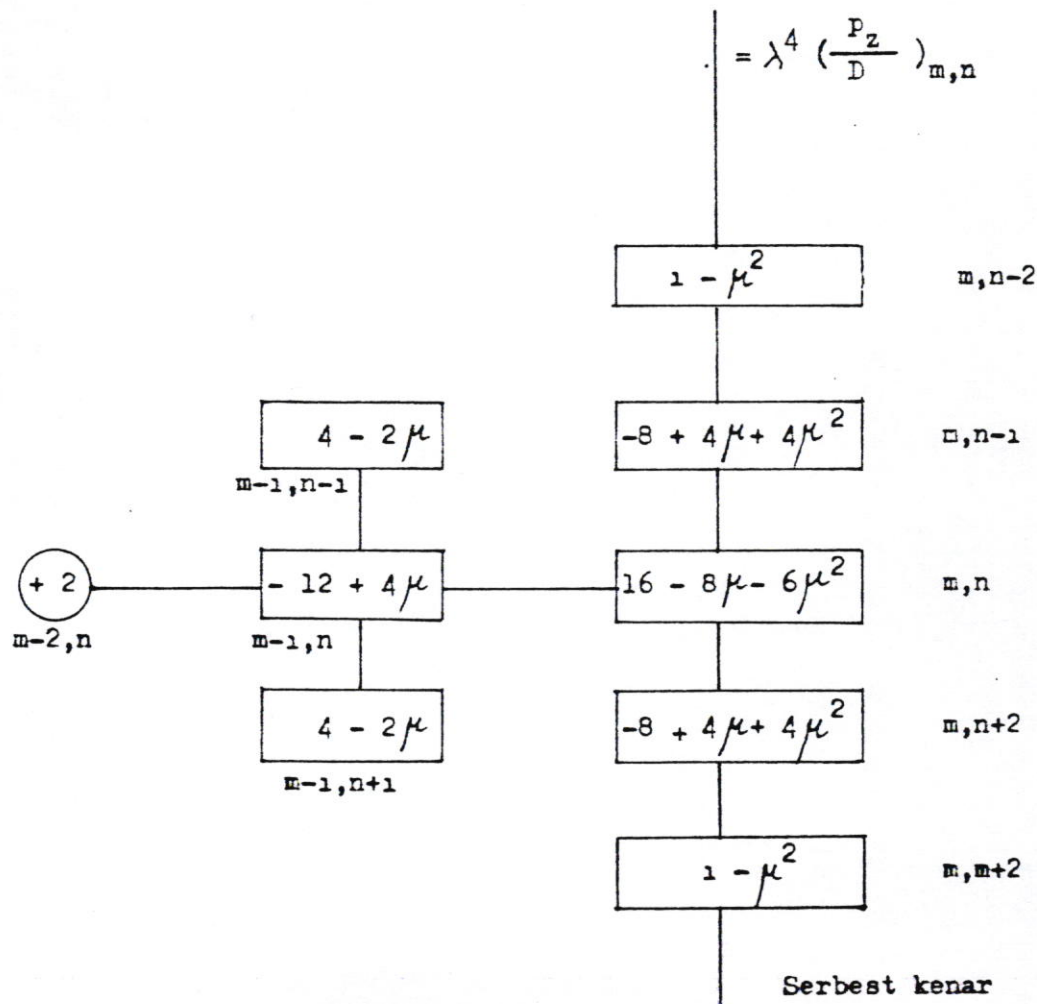
$$2) (V_x)_{m,n} \approx 2(3-\mu)(W_{m-1,n} - W_{m+1,n}) + (2-\mu)(W_{m+1,n+1} - W_{m+1,n-1} - W_{m-1,n-1} + W_{m+2,n} - W_{m-2,n}) = 0$$

Fiktif noktaların sehimlerini elime etmek için iki ek ifade gerekli.

$$3) (M_x)_{m,n-1} \approx -2(1+\mu) W_{m,n-1} + W_{m-1,n-1} + W_{m+1,n-1} + \mu(W_{m,n-2} + W_{mn}) = 0$$

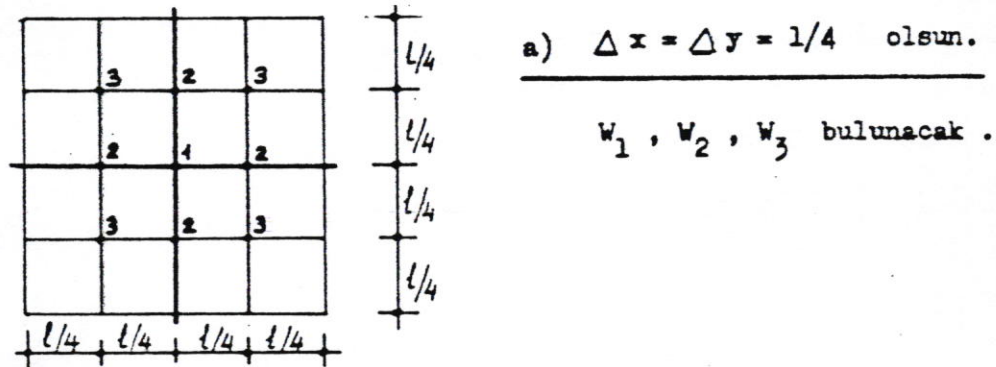
$$4) (M_x)_{m,n+1} \approx -2(1+\mu) W_{m,n+1} + W_{m-1,n+1} + W_{m+1,n+1} + \mu(W_{m,n+2} + W_{mn}) = 0$$

Bu ifadelerden  $W_{m+2,n}$ ,  $W_{m+1,n}$ ,  $W_{m-1,n-1}$ ,  $W_{m+1,n+1}$  yok edilirse boşta (serbest) kenar için katsayılar şeması elde edilir .



Örnek 3.5.

Düzgün yayılı yük etkisinde, kenarlarından serbestçe mesnetlenmiş kare plak



Şekil 3.15

1 noktası için :

$$20W_1 - 8(4W_2) + 2(4W_3) = \frac{p_o (\frac{1}{4})^4}{D}$$

$$a = p_o \cdot \frac{(\frac{1}{4})^4}{D} = \frac{p_o 1^4}{256 D}$$

$$\underline{20W_1 - 32W_2 + 8W_3 = a} \quad (1)$$

2 noktası için :

$$20W_2 - 8(2W_3 + W_1 + 0) + (2W_2 + 0 + 0)2 + (W_2 + 0 + 0 + W'_2) = a$$

$$20W_2 - 8(W_1 + 2W_3) + 4W_2 = a$$

$$\underline{24W_2 - 8W_1 - 16W_3 = a} \quad (2)$$

3 noktası için :

$$20W_3 - 8(2W_2 + 0 + 0) + 2W_1 + 2W_1 + 2W'_1 = a$$

$$\underline{20W_3 - 16W_2 + 2W_1 = a} \quad (3)$$

$$W_3 = \frac{35}{64}a$$

$$W_2 = \frac{3}{4}a$$

$$W_1 = \frac{33}{32}a$$

$$W = \frac{33}{32} \cdot \frac{P_o l^4}{256 D} = 0,004028 \frac{P_o l^4}{D}$$

Kesin çözüm (serilerle bulunmuş değer : 0.0041  $\frac{P_o l^4}{D}$ )

Momentler :

$$\begin{aligned} \text{max } M_x &= M_{x(1)} = -D \left( \frac{-2W_1 + W_2 + W_2}{12} + \mu \cdot \frac{-2W_1 + 2W_2}{16} \right) \\ &= -\frac{32D}{l^2} (1 + \mu) (W_2 - W_1) \\ &= \frac{32}{256} \cdot \frac{9}{32} P_o l^2 (1 + \mu) = 0,0351 P_o l^2 (1 + \mu) \end{aligned}$$

Betonarme için  $\mu = 0,15$  alınırsa  $\text{max. } M_x = 0,040365 P_o l^2$

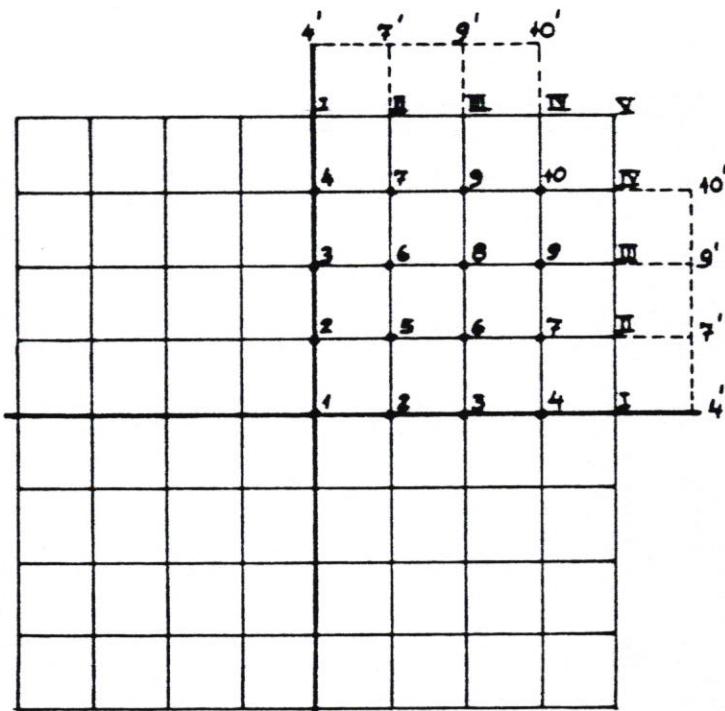
$\mu = 0,20$  için  $M_x = 0,04212 P_o l^2$

$\mu = 0,25$  için  $M_x = 0,04390 P_o l^2$

Serilerle hesaplanmış kesin çözüm :

$$\mu = 0,25 \text{ için } M_{x(1)} = 0,046 P_o l^2$$

b)  $\Delta x = \Delta y = 1/8$  olsun



Şekil 3.16

Sınır şartlarından :

$$W_1 = W_{11} = W_{111} = W_{1111} = 0$$

$$W'_4 = -W_4, \quad W'_7 = -W_7, \quad W'_9 = -W_9, \quad W'_{10} = -W_{10}$$

Diferansiyel denklemi düğüm noktaları için yazılırsa,  $a = p_o \frac{(1/8)^4}{D}$  olmak üzere :

i	$W_1$	$W_2$	$W_3$	$W_4$	$W_5$	$W_6$	$W_7$	$W_8$	$W_9$	$W_{10}$	İkinci taraflı
1	5	-8	1	-	2	-	-	-	-	-	$a/4$
2	-8	25	-8	1	-16	6	-	-	-	-	$a$
3	1	-8	20	-8	4	-16	4	2	-	-	$a$
4	-	1	-8	19	-	4	-16	-	2	-	$a$
5	1	-8	2	-	11	-8	1	1	-	-	$a/2$
6	-	3	-8	2	-8	23	-7	-8	3	-	$a$
7	-	-	2	-8	1	-8	20	2	-8	1	$a$
8	-	-	1	-	1	-8	2	10	-8	1	$a/2$
9	-	-	-	1	-	3	-8	-8	21	-8	$a$
10	-	-	-	-	-	1	1	-	-8	9	$a/2$

$$W_1 = 16,6081 a$$

$$W_6 = 11,1962 a$$

$$W_2 = 15,4436 a$$

$$W_7 = 6,2065 a$$

$$W_3 = 12,0311 a$$

$$W_8 = 8,7427 a$$

$$W_4 = 6,6634 a$$

$$W_9 = 4,8598 a$$

$$W_5 = 14,3636 a$$

$$W_{10} = 2,7144 a$$

$$M_x = -D \left\{ \frac{\partial^2 w}{\partial x^2} \Big|_i + \mu \left| \frac{\partial^2 w}{\partial y^2} \right|_i \right\}$$

$$\begin{aligned} \frac{\partial^2 w}{\partial x^2} \Big|_{(1)} &= \frac{+W_2 - 2W_1 + W_2}{(\Delta x)^2} = -\frac{2(W_1 - W_2)}{(\Delta x)^2} \\ &= -2 \frac{1,1645}{(\Delta x)^2} a = -\frac{2,3290}{(\Delta x)^2} a \end{aligned}$$

$$M_x = + D \frac{2,3290}{(\Delta x)^2} (1 + \mu) a = \frac{2,3290}{(1/8)^2} \cdot p (1/8)^4 = \frac{2,3290}{64} p_0 l^2$$

$$M_x = 0,0364 (1 + \mu) p_0 l^2$$

$$\mu = 0,25 \text{ için } M_x = 1,25 \cdot 0,0364 p_0 l^2 = 0,0455 p_0 l^2$$

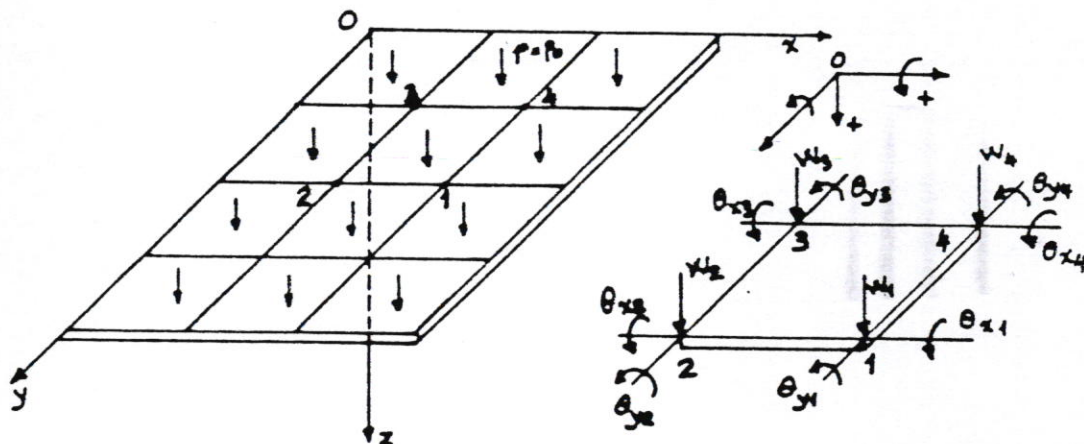
$$\mu = 0,25 \text{ için kesin çözüm : } 0,046 p_0 l^2$$

$$w_{\max.} = 16,6081 \frac{p_0 (1/8)^4}{D} = \frac{16,6081}{64,64} \cdot \frac{p_0 l^4}{D} = 0,00406 \frac{p_0 l^4}{D}$$

$$\text{kesin çözüm : } 0,0041 \frac{p_0 l^4}{D}$$

### 3.8. Sonlu elemanlar metodu

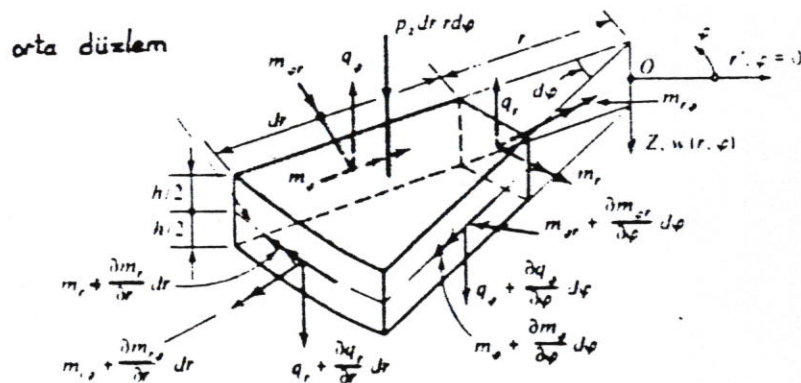
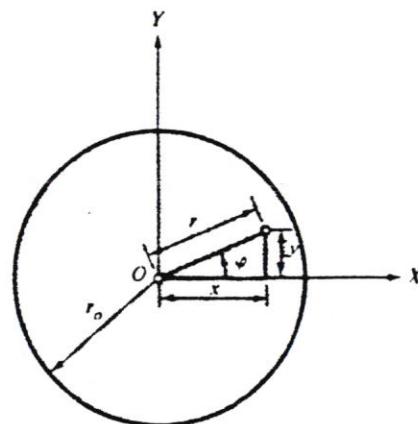
Sürekli bir ortam olan plak, fiktif (iyali) sınırlarla sonlu sayıda elemana bölünür. Bu sonlu elemanların, birbirleriyle bağlantısının, yalnızca, "düğüm noktaları" denilen köşe noktalarında olduğu varsayılmır. Aynı şekilde elemanların kenarlarında yayılı durumındaki iç kuvvetler ya da deplasmanlar, düğüm noktalarında yoğunlaşmış kabul edilir.



Şekil 3.17.(a) Dikdörtgen bir plakta sonlu eleman ağı  
 (b) Dikdörtgen bir sonlu elemanın düğüm noktalarındaki deplasmanlar

Seçilen metoda göre bilinmeyen olarak düğüm noktalarındaki deplasmanlar ya da kuvvetler alınır. Buna göre sonlu eleman "deplasman modeli" ya da "denge modeli" olarak adlandırılır. Geometrik bir bakış açısı sağladığı için genellikle deplasman modeli kullanılır. Düğüm noktaları için sürekliş şartları yazılıarak lineer bir cebirsel denklem takımı elde edilir. Böylece plak diferansiyel denkleminin çözümü, cebirsel bir denklem takımının çözümüne dönüştürülmüş olur. Ancak çözüm hızlı bir bilgisayar yardımı olmaksızın mümkün değildir. Konuya ilgilenenler daha geniş bilgiyi kaynak /2/ ve /5/ de bulabilirler.

## BÖLÜM. 4 . DAİRESEL PLAKLAR

4 . 1. Polar koordinatlara geçiş

Şekil 4.1. Dairesel plak

Dairesel plakların incelenmesinde polar koordinatların kullanılması büyük kolaylık sağlar. Bunun için karteziyen koordinatlardan polar'a geçiş gereklidir.

$$x = r \cdot \cos \varphi$$

$$y = r \cdot \sin \varphi$$

(4.1)

$$r = \sqrt{x^2 + y^2}$$

$$\varphi = \tan^{-1} \left( \frac{y}{x} \right) = \arctan \left( \frac{y}{x} \right)$$

$x$ ,  $r$  ve  $\varphi$  'nin fonksiyonu olduğuna göre  $W(r, \varphi)$  nin  $x$  'e göre türevi :

$$\frac{\partial W}{\partial x} = \frac{\partial W}{\partial r} \cdot \frac{\partial r}{\partial x} + \frac{\partial W}{\partial \varphi} \cdot \frac{\partial \varphi}{\partial x} \quad (4.2)$$

$$\frac{\partial r}{\partial x} = \frac{x}{r} = \cos \varphi \quad \frac{\partial \varphi}{\partial x} = -\frac{y}{x^2+y^2} = -\frac{1}{r} \cdot \sin \varphi \quad (4.3)$$

$$\frac{\partial W}{\partial x} = \cos \varphi \cdot \frac{\partial W}{\partial r} - \frac{1}{r} \cdot \sin \varphi \cdot \frac{\partial W}{\partial \varphi} = \left( \cos \varphi \frac{\partial W}{\partial r} - \frac{1}{r} \sin \varphi \frac{\partial W}{\partial \varphi} \right) W \quad (4.4)$$

$$\frac{\partial^2 W}{\partial x^2} = \frac{\partial}{\partial x} \left( \frac{\partial W}{\partial x} \right) = \left( \cos \varphi \frac{\partial}{\partial r} - \frac{1}{r} \sin \varphi \frac{\partial}{\partial \varphi} \right) \left( \cos \varphi \frac{\partial W}{\partial r} - \frac{1}{r} \sin \varphi \frac{\partial W}{\partial \varphi} \right)$$

$$\frac{\partial^2 W}{\partial x^2} = \cos^2 \varphi \frac{\partial^2 W}{\partial r^2} + \frac{1}{r^2} \sin^2 \varphi \frac{\partial^2 W}{\partial \varphi^2} + \frac{1}{r} \sin^2 \varphi \frac{\partial^2 W}{\partial r^2} - \frac{1}{r} \sin 2\varphi \frac{\partial^2 W}{\partial r \partial \varphi} + \frac{1}{r^2} \sin 2\varphi \frac{\partial^2 W}{\partial \varphi^2} \quad (4.5)$$

Benzer şekilde :

$$\frac{\partial W}{\partial y} = \frac{\partial W}{\partial r} \cdot \frac{\partial r}{\partial y} + \frac{\partial W}{\partial \varphi} \cdot \frac{\partial \varphi}{\partial y}, \quad \frac{\partial r}{\partial y} = \sin \varphi \text{ ve } \frac{\partial \varphi}{\partial y} = \frac{1}{r} \cos \varphi$$

olduğu için

$$\frac{\partial W}{\partial y} = \sin \varphi \cdot \frac{\partial W}{\partial r} + \frac{1}{r} \cdot \cos \varphi \cdot \frac{\partial W}{\partial \varphi} \quad (4.6)$$

$$\frac{\partial^2 W}{\partial y^2} = \sin^2 \varphi \frac{\partial^2 W}{\partial r^2} + \frac{1}{r^2} \cos^2 \varphi \frac{\partial^2 W}{\partial \varphi^2} + \frac{1}{r} \cos^2 \varphi \frac{\partial^2 W}{\partial r^2} + \frac{1}{r} \sin 2\varphi \frac{\partial^2 W}{\partial r \partial \varphi} - \frac{1}{r^2} \sin 2\varphi \frac{\partial^2 W}{\partial \varphi^2} \quad (4.7)$$

(4.4) ve (4.6) bağıntıları dikkate alınarak ve  $\frac{\partial^2 W}{\partial x \partial y} = \frac{\partial}{\partial y} \left( \frac{\partial W}{\partial x} \right)$  olduğu hatırlanarak :

$$\begin{aligned} \frac{\partial^2 W}{\partial x \partial y} &= \frac{1}{2} \sin 2\varphi \frac{\partial^2 W}{\partial r^2} - \frac{1}{r^2} \cos 2\varphi \frac{\partial^2 W}{\partial \varphi^2} - \frac{1}{2r^2} \cdot \sin 2\varphi \frac{\partial^2 W}{\partial \varphi^2} - \frac{1}{2r} \cdot \sin 2\varphi \frac{\partial^2 W}{\partial r^2} + \dots \\ &\quad + \frac{1}{r} \cos 2\varphi \frac{\partial^2 W}{\partial r \partial \varphi} \end{aligned} \quad (4.8)$$

(4.5) ve (4.7) yardımıyla  $\Delta_P W = \frac{\partial^2 W}{\partial x^2} + \frac{\partial^2 W}{\partial y^2}$  aranırsa :

$$\Delta_P W = \frac{\partial^2 W}{\partial r^2} + \frac{1}{r^2} \frac{\partial^2 W}{\partial \varphi^2} + \frac{1}{r} \frac{\partial^2 W}{\partial r} \quad (4.9)$$

bulunur. Şu halde polar koordinatlarda Laplace operatörü :

$$\Delta_p = \frac{\partial^2}{\partial r^2} + \frac{1}{r^2} \frac{\partial^2}{\partial \varphi^2} + \frac{1}{r} \frac{\partial}{\partial r} \quad (4.10)$$

Buna göre polar koordinatlarda plak diferansiyel denklemi :

$$\Delta_p \Delta_p w = \frac{p(r, \varphi)}{D} \quad (4.11)$$

Açık yazılırsa :

$$\left( \frac{\partial^2}{\partial r^2} + \frac{1}{r^2} \frac{\partial^2}{\partial \varphi^2} + \frac{1}{r} \frac{\partial}{\partial r} \right) \left( \frac{\partial^2 w}{\partial r^2} + \frac{1}{r^2} \frac{\partial^2 w}{\partial \varphi^2} + \frac{1}{r} \frac{\partial w}{\partial r} \right) = \frac{p(r, \varphi)}{D} \quad (4.11a)$$

İç kuvvetlerin Polar koordinatlarda ifadesi :

$$M_r = -D \left[ \frac{\partial^2 w}{\partial r^2} + \mu \left( \frac{1}{r^2} \frac{\partial^2 w}{\partial \varphi^2} + \frac{1}{r} \frac{\partial w}{\partial r} \right) \right]$$

$$M_\varphi = -D \left( \frac{1}{r^2} \frac{\partial^2 w}{\partial \varphi^2} + \frac{1}{r} \frac{\partial w}{\partial r} + \mu \frac{\partial^2 w}{\partial r^2} \right)$$

$$M_{r\varphi} = M_{\varphi r} = -D(1-\mu) \frac{\partial}{\partial r} \left( \frac{1}{r} \frac{\partial w}{\partial \varphi} \right) = -D(1-\mu) \left( \frac{\partial^2 w}{\partial \varphi \partial r} \cdot \frac{1}{r} - \frac{1}{r^2} \frac{\partial^2 w}{\partial \varphi^2} \right)$$

$$Q_r = -D \frac{\partial}{\partial r} (\Delta_p w)$$

$$Q_\varphi = -D \cdot \frac{1}{r} \frac{\partial}{\partial \varphi} (\Delta_p w)$$

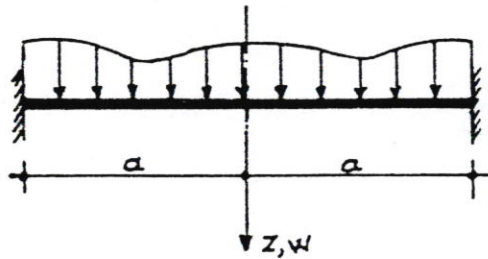
$$V_r = Q_r + \frac{1}{r} \frac{\partial M_{r\varphi}}{\partial \varphi}$$

$$V_\varphi = Q_\varphi + \frac{\partial M_{\varphi r}}{\partial r}$$

(4.12)

## 4.2. Merkeze göre simetrik yüklü Dairesel Plaklar

### 4.2.1 - Genel



Şekil 4.2. Merkeze göre simetrik yüklü dairesel plak

Yükün merkeze göre simetrik olması demek, yük yalnızca  $r$ 'e bağlı olarak değişiyor demektir.  $p(r, \varphi) \equiv p(r)$ . Plak da merkeze göre simetrik ve her yerde mesnet şartları aynı. Böyle olunca  $W$  de sadece  $r$ 'e bağlı olarak değişir;  $\varphi$ 'den bağımsızdır. İç kuvvetler içinde de aynı şey söylenebilir. Demek ki hiçbir şekilde  $\varphi$ 'e göre değişim söz konusu değildir.  $\frac{\partial}{\partial \varphi} = 0$  olur.

Bu durumda polar koordinatlarda Laplace operatörü :

$$\Delta_p = \frac{d^2}{dr^2} + \frac{1}{r} \cdot \frac{d}{dr} \quad (4.13)$$

birimini alır. Plak diferansiyel denklemi :

$$\Delta_p \Delta_p W(r) = \frac{p(r)}{D} \quad (4.14)$$

$$\left( \frac{d^2}{dr^2} + \frac{1}{r} \frac{d}{dr} \right) \left( \frac{d^2 W}{dr^2} + \frac{1}{r} \frac{d W}{dr} \right) = \frac{p(r)}{D}$$

$$\frac{d^4 W}{dr^4} + \frac{1}{r} \frac{d^3 W}{dr^3} - \frac{2}{r^2} \frac{d^2 W}{dr^2} + \frac{2}{r^3} \frac{d W}{dr} + \frac{1}{r} \left( \frac{d^3 W}{dr^3} - \frac{1}{r^2} \frac{d W}{dr} + \frac{1}{r} \frac{d^2 W}{dr^2} \right) = \frac{p(r)}{D}$$

$$\boxed{\frac{d^4 W}{dr^4} + \frac{2}{r} \frac{d^3 W}{dr^3} - \frac{1}{r^2} \frac{d^2 W}{dr^2} + \frac{1}{r^3} \frac{d W}{dr} = \frac{p(r)}{D}} \quad (4.15)$$

Merkezine göre simetrik dairesel plakların diferansiyel denklemi .

$\frac{\partial}{\partial \varphi} = 0$  yazılırsa :

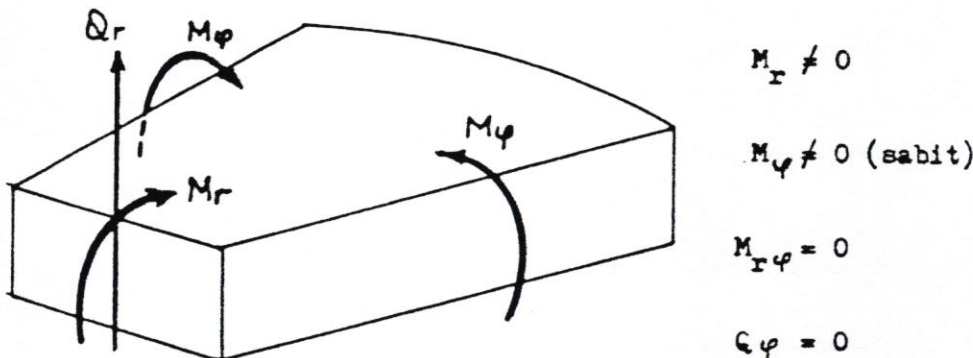
$$M_r = -D \left( \frac{d^2 W}{dr^2} + \frac{\mu}{r} \frac{dW}{dr} \right)$$

$$M_{\varphi} = -D \left( \frac{1}{r} \frac{dW}{dr} + \mu \frac{d^2 W}{dr^2} \right)$$

$$M_{r\varphi} = M_{\varphi r} = 0 \quad (4.16)$$

$$Q_r = V_r = -D \frac{d}{dr} \left( \frac{d^2 W}{dr^2} + \frac{1}{r} \frac{dW}{dr} \right) = -D \left( \frac{d^3 W}{dr^3} + \frac{1}{r} \frac{d^2 W}{dr^2} - \frac{1}{r^2} \frac{dW}{dr} \right)$$

$$Q_{\varphi} = 0$$



Şekil 4.3. Dairesel plek elemanında momentler

Diferansiyel denklemin çözümü :

$$\frac{r}{a} = \rho \text{ değişken dönüşümünü yapalım. } dr = a \cdot d\rho$$

$$\boxed{\frac{d^4 W}{d\rho^4} + \frac{2}{\rho} \frac{d^3 W}{d\rho^3} - \frac{1}{\rho^2} \frac{d^2 W}{d\rho^2} + \frac{1}{\rho^3} \frac{dW}{d\rho} = \frac{\rho a^4}{D}} \quad (4.17)$$

$$W = W_H + W_P$$

$$(4.18)$$

4 . 2 . 2 - Homojen çözüm :

76

Denklemin homojen kısmı Euler tipi bir diferansiyel denklemidir. Katsayıların üsleri ile türev mertebesi toplamı her terimde sabittir.

$$w^{IV} + \frac{2}{\rho} w'' - \frac{1}{\rho^2} w'' + \frac{1}{\rho^3} \cdot w' = 0$$

Her iki tarafı  $\rho^4$  ile çarpalım :

$$\rho^4 w^{IV} + 2\rho^3 w'' - \rho^2 w'' + \rho w' = 0 \quad (4.19)$$

Böyle bir denklemin genel çözümü :

$$w = C \cdot \rho^\lambda$$

$$w' = C \cdot \lambda \cdot \rho^{\lambda-1}$$

$$w'' = \lambda(\lambda-1)C \cdot \rho^{\lambda-2}$$

$$w''' = \lambda(\lambda-1)(\lambda-2)C \cdot \rho^{\lambda-3}$$

$$w^{IV} = \lambda(\lambda-1)(\lambda-2)(\lambda-3)C \cdot \rho^{\lambda-4}$$

Bu değerleri (4.19) denkleminde yerleştirirsek :

$$C \cdot \rho^\lambda [\lambda(\lambda-1)(\lambda-2)(\lambda-3) + 2\lambda(\lambda-1)(\lambda-2) - \lambda(\lambda-1) + \lambda] = 0$$

Parantez içindeki değer,  $f(\lambda)$ , karakteristik denklemidir.

Bu denklemin kökleri :  $\lambda_1, \lambda_2, \lambda_3, \lambda_4$

Farklı kökler ise :

$$w_h = C_1 \rho^{\lambda_1} + C_2 \rho^{\lambda_2} + C_3 \rho^{\lambda_3} + C_4 \rho^{\lambda_4}$$

şeklinde olacaktır. Bu köklerden örneğin ikisi katlı kök ise :

( $\lambda_i = \lambda_{i+1}$ ) bu köklere ait terimler :

$$C_i \rho^{\lambda_i} + \ln \rho C_{i+1} \rho^{\lambda_{i+1}}$$

biriminde olur.

Şimdi karakteristik denkleme dönelim; önce  $\lambda$  parantezine alalım

$$f(\lambda) = \lambda [(\lambda-1)(\lambda-2)(\lambda-3) + 2(\lambda-1)(\lambda-2) - (\lambda-1) + 1]$$

Köşeli parantezi sadeleştirelim.

$$f(\lambda) = \lambda(\lambda - z)(\lambda^2 - z\lambda) = 0$$

$$f(\lambda) = \lambda^2 (\lambda - z)^2 = 0$$

$$\boxed{\begin{array}{l} \lambda_1 = \lambda_2 = 0 \\ \lambda_3 = \lambda_4 = z \end{array}}$$

(4.20)

$$w_h = c_1 \rho^{\lambda_1} + \ln \rho c_2 \rho^{\lambda_2} + c_3 \rho^{\lambda_3} + \ln \rho c_4 \rho^{\lambda_4}$$

$$w_h = c_1 + \ln \rho \cdot c_2 + c_3 \cdot \rho^2 + c_4 \cdot \rho^2 \cdot \ln \rho \quad (4.21)$$

$$p(\rho) = p_0 (B_0 + B_1 \cdot \rho + B_2 \rho^2 + \dots + B_r \rho^r) \quad (4.22)$$

Buna göre  $w_p$  partiküler çözümünü de yine  $\rho$ 'ya bağlı bir polinomla :

$$w_p(\rho) = A_0 + A_1 \cdot \rho + A_2 \rho^2 + A_3 \rho^3 + \dots + A_n \cdot \rho^n \quad (4.23)$$

birimde ifade edilebilir. (4.22) ve (4.23) ifadelerinde :

$B_0, B_1, B_2, B_3, \dots, B_r$  katsayıları biliniyor.

$A_0, A_1, A_2, A_3, \dots, A_n$  katsayıları bilinmiyor.

$w_p(\rho)$  'yu türetip (4.23) denkleminde yerlerine yazalım :

$$w_p(\rho) = A_1 + 2A_2 \rho + 3A_3 \rho^2 + 4A_4 \rho^3 + 5A_5 \rho^4 + A_r \rho^{r-1} + \dots + n \cdot A_n \rho^{n-1}$$

$$w_p'(\rho) = 2A_2 + 6A_3 \rho + 12A_4 \rho^2 + 20A_5 \rho^3 + (r-1)r \cdot A_r \rho^{r-2} + \dots + (n-1)n \cdot A_n \rho^{n-2}$$

$$w_p''(\rho) = 6A_3 + 24A_4 \rho + 60A_5 \rho^2 + (r-2)(r-1)r \cdot A_r \rho^{r-3} + \dots + (n-2)(n-1)n \cdot A_n \rho^{n-3}$$

$$w_p'''(\rho) = 24A_4 + 120A_5 \rho + (r-3)(r-2)(r-1)r \cdot A_r \rho^{r-4} + \dots + (n-3)(n-2)(n-1)n \cdot A_n \rho^{n-3}$$

$$\begin{aligned} & \left[ 24A_4 + 120A_5 + \dots + (n-3)(n-2)(n-1)n \cdot A_n \rho^{n-4} \right] + 2\rho^{-1} \left[ 6A_3 + 24A_4 \rho + 60A_5 \rho^2 + \dots \right. \\ & \left. + (n-2)(n-1)n \cdot A_n \rho^{n-3} \right] - \rho^{-2} \left[ 2A_2 + 6A_3 \rho + 12A_4 \rho^2 + 20A_5 \rho^3 + \dots + (n-1)n \cdot A_n \rho^{n-2} \right] + \\ & + \rho^{-3} \left[ A_1 + 2A_2 \rho + 3A_3 \rho^2 + 4A_4 \rho^3 + 5A_5 \rho^4 + n \cdot A_n \rho^{n-1} \right] = \frac{a^4}{D} p(\rho) \end{aligned}$$

$$\begin{aligned} & \rho^{-3} A_1 + 9\rho^{-2} A_2 + 64A_3 + 225\rho A + \dots + n^2(n-2)^2 A_n \rho^{n-4} = \\ & = \frac{a^4}{D} p_0 (B_0 + B_1 \rho + B_2 \rho^2 + B_3 \rho^3 + \dots + B_r \rho^r) \end{aligned} \quad (4.24)$$

İki polinomun eşitliği için aynı kuvvetteki terimlerin katsayıları eşit olmalıdır.

$$A_0 = A_1 = A_2 = A_3 = 0$$

$$64A_4 = \frac{p_0 a^4}{D} B_0 \quad \longrightarrow \quad A_4 = \frac{p_0 a^4}{D} \cdot \frac{B_0}{64} \quad (4.25)$$

$$225A_5 = \frac{p_0 a^4}{D} B_1 \quad \longrightarrow \quad A_5 = \frac{p_0 a^4}{D} \cdot \frac{B_1}{225} \quad (4.26)$$

Genel terimleri inceleyelim. Genel terimin sıfırdan farklı olması için  $n - 4 = r$ ,  $n = r + 4$  olmalı. Yani partiküler çözüm yük polinomundan 4 fazla kuvvete kadar yazılmalıdır.

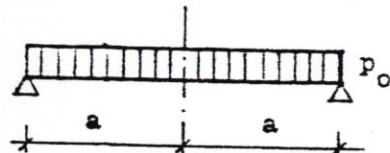
$$\begin{aligned} n^2(n-2)^2 A_n &= \frac{p_0 a^4}{D} B_r \\ A_n &= \frac{p_0 a^4}{D} \cdot \frac{B_r}{n^2(n-2)^2} \\ A_{r+4} &= \frac{p_0 a^4}{D} \cdot \frac{B_r}{(r+4)^2(r+2)^2} \end{aligned} \quad (4.27)$$

$$\begin{aligned} w_p &= A_4 \rho^4 + A_5 \rho^5 + \dots + A_{r+4} \rho^{r+4} = \sum_{i=4}^{r+4} A_i \rho^i \\ w_p &= \frac{p_0 a^4}{D} \left( \frac{B_0}{64} \rho^4 + \frac{B_1}{225} \rho^5 + \dots + \frac{B_r}{(r+4)^2(r+2)^2} \rho^{r+4} \right) \end{aligned} \quad (4.28)$$

$$w = w_H + w_p = C_1 + C_2 \ln \rho + C_3 \rho^2 + C_4 \cdot \rho^2 \cdot \ln \rho + \sum_{i=4}^{r+4} A_i \rho^i \quad (4.29)$$

4.2.3 - Değişik yükler için partiküler çözümler :

a ) Düzgün yayılı yük :



$$p = p_0$$

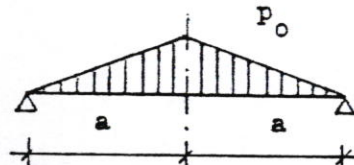
$$B_0 = 1 ; B_2 = B_3 = \dots = 0$$

$$r = 0 ; n = r+4 = 4$$

$$A_{r+4} = \frac{p_0 a^4}{D} \cdot \frac{B_r}{(r+4)^2 (r+2)^2} = \frac{p_0 a^4}{D} \cdot \frac{1}{64}$$

$$W_p = \frac{p_0 a^4}{64 D} \cdot \rho^4 \quad (4.30)$$

b ) Kenarda sıfır, merkeze doğru lineer artan yük :



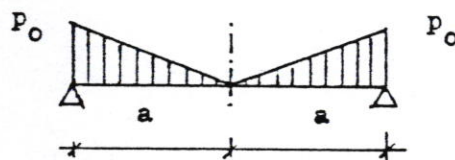
$$p(\rho) = (1-\rho)p_0$$

$$B_0 = 1 \quad B_1 = -1 \quad r = 1 \quad n = r+4 = 5$$

$$A_4 = \frac{p_0 a^4}{64 D} ; \quad A_5 = -\frac{p_0 a^4}{225 D}$$

$$W_p = \frac{p_0 a^4}{D} \left( \frac{\rho^4}{64} - \frac{\rho^5}{225} \right) \quad (4.31)$$

c ) Merkezde sıfır, kenara doğru lineer artan yük :

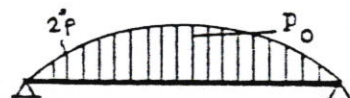


$$p(\rho) = p_0 \cdot \rho \quad B_0 = 0 \quad r = 1 \\ B_1 = 1 \quad r+4 = 5$$

$$A_5 = \frac{p_0 a^4}{225 D}$$

$$W_p = \frac{p_0 a^4}{225 D} \cdot \rho^5 \quad (4.32)$$

d ) Kenarlarda sıfır, merkeze doğru parabolik artan yük :



$$p(\rho) = (1 - \rho^2)p_0$$

$$B_0 = 1 ; \quad B_1 = 0 ; \quad B_2 = -1$$

$$r = 2 \quad r+4 = 6$$

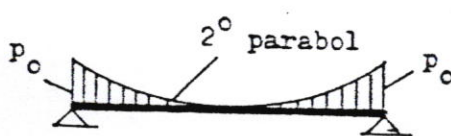
$$A_4 = \frac{p_0 a^4}{64 D}$$

$$A_5 = 0$$

$$A_6 = -\frac{p_0 a^4}{6^2 \cdot 4^2 \cdot D} = -\frac{p_0 a^4}{576 D}$$

$$W_p = -\frac{p_0 a^4}{D} \left( \frac{\rho^4}{64} - \frac{\rho^6}{576} \right) \quad (4.33)$$

e) Merkezde sıfır, kenarlara doğru parabolik artan yük :



$$p(\rho) = \rho^2 \cdot p_0 \\ B_2 = 1 ; B_0 = B_1 = 0 \\ r = 2 \quad r+4 = 6$$

$$A_6 = \frac{p_0 a^4}{576 D}$$

$$w_p = \frac{p_0 a^4}{576 D} \cdot \rho^6 \quad (4.34)$$

4.2.4 - Ortasında boşluğu olmayan dairesel plaklarda  
Homojen çözümün özel durumu

$$w_h = C_1 + C_2 \cdot \ln \rho + C_3 \rho^2 + C_4 \rho^2 \cdot \ln \rho$$

idi .

$$w = \sum_{i=4}^{r+4} A_i \rho^i + C_1 + C_2 \ln \rho + C_3 \rho^2 + C_4 \rho^2 \cdot \ln \rho$$

$\rho = 0$  için  $\ln \rho = \infty$  olur. Plaqın ortasında maddi bir noktası bulunduğundan, burada  $w = \infty$  olamayacağına göre  $C_2 = 0$  olmalıdır .

$$\lim_{\rho \rightarrow 0} \rho^2 \cdot \ln \rho = 0 \cdot \infty \rightarrow \text{Belirsiz şekil}$$

$$\lim_{\rho \rightarrow 0} \frac{\ln \rho}{\rho^{-2}} = \lim_{\rho \rightarrow 0} \frac{1/\rho}{-2 \cdot \rho^{-3}} = -\frac{\rho^2}{2} = 0$$

demek ki  $C_4 \neq 0$  olabilir .

$(\frac{d^2 w}{d \rho^2})$  değerini arayalım :

$$\frac{dw}{d\rho} = (\sum i \cdot A_i \cdot \rho^{i-1}) + 2 C_3 \rho + C_4 (2 \rho \cdot \ln \rho + \rho)$$

$$\frac{d^2 w}{d \rho^2} = \sum (i-1)i A_i \rho^{i-2} + 2 C_3 + C_4 (2 \ln \rho + 3)$$

$\lim \rho \rightarrow 0 \quad (\frac{d^2 w}{d \rho^2}) = \infty$  olur . Bu da plak merkezindeki momen-  
tin sonsuz büyük  $\frac{d^2 w}{d \rho^2}$  olması demektir . Bu olağaksız olduğuna göre  
 $C_4 = 0$  olmalı .

Şu halde ortasında boşluğu olmayan simetrik yüklü dairesel plaklarda :

$$c_2 = c_4 = 0 \quad (4.35)$$

$$w_h = c_1 + c_3 \rho^2 \quad (4.36)$$

$$w = c_1 + c_3 \rho^2 + \sum_{i=4}^{r+4} A_i \rho^i \quad (4.37)$$

İç tesirlerin  $\rho$  cinsinden ifadesi :

$$M_r = -D \left( \frac{d^2 w}{dr^2} + \frac{\mu}{r} \frac{dw}{dr} \right) = -\frac{D}{a^2} \left( \frac{d^2 w}{d\rho^2} + \frac{\mu}{\rho} \cdot \frac{dw}{d\rho} \right)$$

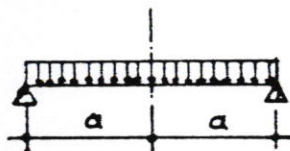
$$M_\varphi = -D \left( \frac{1}{r} \frac{dw}{dr} + \mu \frac{d^2 w}{dr^2} \right) = -\frac{D}{a^2} \left( \frac{1}{\rho} \frac{dw}{d\rho} + \mu \frac{d^2 w}{d\rho^2} \right) \quad (4.38)$$

$$Q_r = -D \left( \frac{d^3 w}{dr^3} + \frac{1}{r} \cdot \frac{d^2 w}{dr^2} - \frac{1}{r^2} \cdot \frac{dw}{dr} \right) = -\frac{D}{a^3} \left( \frac{d^3 w}{d\rho^3} + \frac{1}{\rho} \frac{d^2 w}{d\rho^2} - \frac{1}{\rho^2} \frac{dw}{d\rho} \right)$$

$$Q_\varphi = 0$$

$$M_{r\varphi} = M_{\varphi r} = 0$$

#### Örnek 4.1.



Çevresi boyunca serbestçe oturan., düzgün yayılı yüklü yüklü, boşluksuz dairesel plak

$$w_p = \frac{p_0 a^4}{64 D} \cdot \rho^4$$

$$w_h = c_1 + c_3 \cdot \rho^2$$

$$w = c_1 + c_3 \rho^2 + \frac{p_0 a^4}{64 D} \cdot \rho^4$$

Sınır şartları : 1)  $w \Big|_{\rho=1} = 0$  2)  $M_\varphi \Big|_{\rho=1} = 0$

$$1) c_1 + c_3 + \frac{p_0 a^4}{64 D} = 0$$

$$2) -\frac{D}{a^2} \left( \frac{d^2W}{dp^2} + \frac{\mu}{p} \cdot \frac{dW}{dp} \right) = 0$$

$$\frac{dW}{dp} = 2C_3 p + \frac{p_0 a^4}{16 D} \cdot p^3$$

$$\frac{d^2W}{dp^2} = 2C_3 + \frac{3p_0 a^4}{16 D} \cdot p^2$$

$$\frac{d^2W}{dp^2} + \frac{\mu}{p} \frac{dW}{dp} \Big|_{p=1} = 2C_3 + \frac{3p_0 a^4}{16 D} + \mu \left( 2C_3 + \frac{p_0 a^4}{16 D} \right) = 0$$

$$2C_3 (1 + \mu) = -\frac{p_0 a^4}{16 D} (3 + \mu) \rightarrow C_3 = -\frac{3 + \mu}{(1 + \mu)} \frac{p_0 a^4}{32 D}$$

$$C_1 - \frac{3 + \mu}{(1 + \mu)} \cdot \frac{p_0 a^4}{32 D} + \frac{p_0 a^4}{64 D} = 0 \rightarrow C_1 = \frac{5 + \mu}{1 + \mu} \cdot \frac{p_0 a^4}{64 D}$$

$$W = \frac{p_0 a^4}{64 D (1 + \mu)} \left[ p^4 (1 + \mu) - 2(3 + \mu) p^2 + 5 + \mu \right]$$

$$W_{\max.} = W \Big|_{p=0} = \frac{p_0 a^4}{64 D} \cdot \frac{5 + \mu}{1 + \mu}$$

İç kuvvetlerin bulunması :

$C_1$  ve  $C_3$  'ün bulunan değerleri yerlerine yazılarak :

$$\frac{dW}{dp} = \frac{p_0 a^4}{16 D} \cdot p \left( p^2 - \frac{3 + \mu}{1 + \mu} \right)$$

$$\frac{d^2W}{dp^2} = \frac{p_0 a^4}{16 D} \left( 3p^2 - \frac{3 + \mu}{1 + \mu} \right)$$

$$M_r = -\frac{D}{a^2} \left( \frac{d^2W}{dp^2} + \frac{\mu}{p} \cdot \frac{dW}{dp} \right) = -\frac{D}{a^2} \cdot \frac{p_0 a^4}{16 D} \left[ 3p^2 - \frac{3 + \mu}{1 + \mu} + \frac{\mu}{p} \cdot p \left( p^2 - \frac{3 + \mu}{1 + \mu} \right) \right]$$

$$= -\frac{p_0 a^2}{16} \left[ \frac{p^2 (3 + \mu) (1 + \mu) - (3 + \mu) (1 + \mu)}{1 + \mu} \right]$$

$$M_r = \frac{p_0 a^2}{16} (3 + \mu) (1 - p^2)$$

$$M_q = -\frac{D}{a^2} \left( \frac{1}{p} \cdot \frac{dW}{dp} + \mu \frac{d^2W}{dp^2} \right) = -\frac{D}{a^2} \cdot \frac{p_0 a^4}{16 D} \left[ \frac{1}{p} p \left( p^2 - \frac{3 + \mu}{1 + \mu} \right) + \mu \left( 3p^2 - \frac{3 + \mu}{1 + \mu} \right) \right]$$

$$M_{\varphi} = -\frac{P_0 \alpha^2}{16} \left[ \frac{\rho^2(3+\mu)(1+\mu) - (3+\mu)(1+\mu)}{1+\mu} \right] = -\frac{P_0 \alpha^2}{16} \left[ (\rho^2 - 1)(3+\mu) \right]$$

$$M = \frac{P_0 \alpha^2}{16} \left[ 3 + \mu - (1 + 3\mu)\rho^2 \right]$$

$$M_x = M_{\varphi x} = 0 \quad ; \quad Q_{\varphi} = 0$$

$$Q_r = -\frac{D}{\alpha^3} \left( \frac{d^3 W}{d\rho^3} + \frac{1}{\rho} \frac{d^2 W}{d\rho^2} - \frac{1}{\rho^2} \frac{dW}{d\rho} \right)$$

$$\frac{d^3 W}{d\rho^3} = \frac{3P_0 \alpha^4}{8D} \cdot \rho$$

$$Q_r = -\frac{D}{\alpha^3} \left[ \frac{3P_0 \alpha^4}{8D} \cdot \rho + \frac{1}{\rho} \cdot \frac{P_0 \alpha^4}{16D} \left( 3\rho^2 - \frac{3+\mu}{1+\mu} \right) - \frac{1}{\rho^2} \cdot \frac{P_0 \alpha^4}{16D} \cdot \rho \left( \rho^2 - \frac{3+\mu}{1+\mu} \right) \right]$$

$$Q_r = -P_0 \alpha \left( \frac{3}{8} \rho + \frac{3}{16} \rho - \frac{1}{16} \rho \right)$$

$$Q_r = -\frac{P_0 \alpha}{2} \cdot \rho$$

$Q_r$  'in bu değerini, genel olarak,  $\sum P_z = 0$  şartından da bulabilirdik.

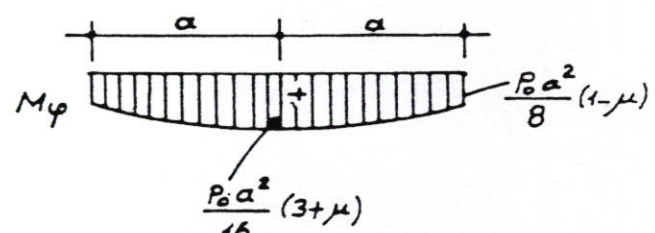
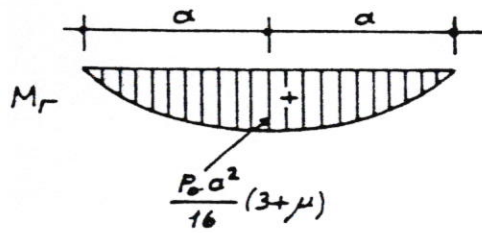
$$\pi r^2 \cdot P_0 + 2\pi r Q_r = 0$$

$$Q_r = -\frac{P_0 \cdot r}{2}; r = a \cdot \rho \quad Q_r = -\frac{P_0 \alpha}{2} \cdot \rho$$

$M_x$  ve  $M_{\varphi}$  diyagramları :

$$M_x = \frac{P_0 \alpha^2}{16} (3 + \mu) (1 - \rho^2)$$

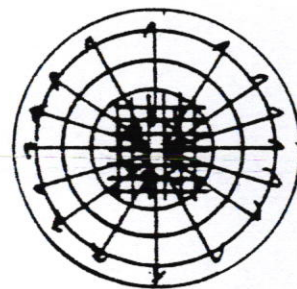
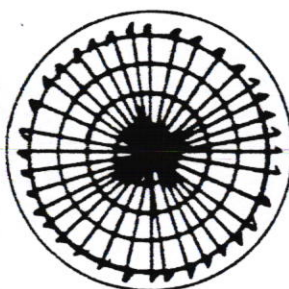
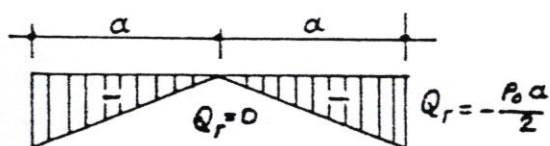
$$\begin{cases} \rho=0 \text{ için } M_x = (M_x)_{\max} = \frac{P_0 \alpha^2}{16} (3 + \mu) \\ \rho=1 \text{ için } M_x = 0 \end{cases}$$



$$M_{\varphi} = \frac{P_0 \alpha^2}{16} \left[ 3 + \mu - (1 + 3\mu)\rho^2 \right]$$

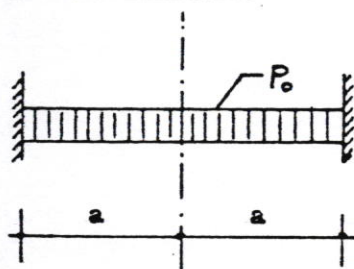
$$\begin{cases} \rho=0 \text{ için } M_{\varphi} = (M_{\varphi})_{\max} = \frac{P_0 \alpha^2}{16} (3 + \mu) \\ \rho=1 \text{ için } M_{\varphi} = \frac{P_0 \alpha^2}{16} \cdot 2(1 - \mu) \end{cases}$$

$$\zeta_r = -\frac{p_0 a}{2} \cdot \rho \quad \left\{ \begin{array}{l} \rho=0 \text{ için } \zeta_r = 0 \\ \rho=1 \text{ için } \zeta_r = (\zeta_r)_{\max} = -\frac{p_0 a}{2} \end{array} \right.$$



Bu detay radyal donatının üst üste binmesi nedeniyle mümkün değildir.

Örnek 4.2 : Düzgün yayılı yükle yüklenen anastre plak.



$$W_p = \frac{p_0 a^4}{64 D} \cdot \rho^4 ; \quad W_h = C_1 + C_3 \rho^2$$

$$W = C_1 + C_3 \rho^2 + \frac{p_0 a^4}{64 D} \cdot \rho^4$$

Sınır şartları : 1)  $W \Big|_{\rho=1} = 0$  2)  $\frac{dW}{d\rho} \Big|_{\rho=1} = 0$

$$1) \quad C_1 + C_3 + \frac{p_0 a^4}{64 D} = 0$$

$$2) \quad 2C_3 + \frac{p_0 a^4}{16 D} = 0 \quad C_3 = -\frac{p_0 a^4}{32 D}$$

$$1) \quad C_1 - \frac{p_0 a^4}{32 D} + \frac{p_0 a^4}{64 D} = 0 \quad C_1 = +\frac{p_0 a^4}{64 D}$$

$$W = \frac{p_0 a^4}{64 D} - \frac{p_0 a^4}{32 D} \cdot \rho^2 + \frac{p_0 a^4}{64 D} \cdot \rho^4$$

$$W = \frac{p_0 a^4}{64 D} (1 - 2\rho^2 + \rho^4) \quad W = \frac{p_0 a^4}{64 D} (1 - \rho^2)^2$$

$$\rho = 0 \text{ için } W = W_{\max} = \frac{p_0 a^4}{64 D}$$

1ç kuvvetler hesabı :

$$\frac{dW}{d\rho} = - \frac{p_0 a^4}{16 D} \cdot \rho + \frac{p_0 a^4}{16 D} \cdot \rho^3 = \frac{p_0 a^4}{16 D} (\rho^3 - \rho)$$

$$\frac{d^2 W}{d\rho^2} = \frac{p_0 a^4}{16 D} (3\rho^2 - 1)$$

$$M_r = - \frac{D}{a^2} \left( \frac{d^2 W}{d\rho^2} + \mu \frac{dW}{d\rho} \right) = - \frac{D}{a^2} \cdot \frac{p_0 a^4}{16 D} [3\rho^2 - 1 + \mu \cdot \rho (\rho^2 - 1)]$$

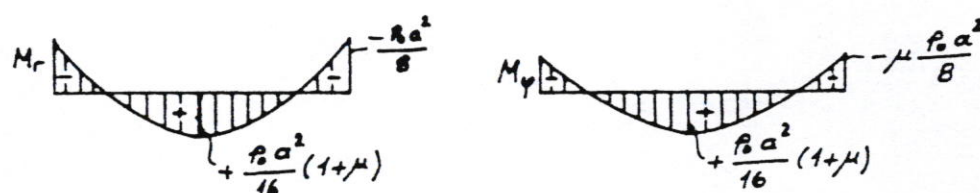
$$M_r = \frac{p_0 a^2}{16} [1 + \mu - (3 + \mu) \rho^2]$$

$$M_\varphi = - \frac{D}{a^2} \left( \frac{1}{\rho} \frac{dW}{d\rho} + \mu \frac{d^2 W}{d\rho^2} \right) = - \frac{D}{a^2} \left[ \frac{1}{\rho} \cdot \rho (\rho^2 - 1) + \mu (3\rho^2 - 1) \right] \frac{p_0 a^4}{16 D}$$

$$M_\varphi = \frac{p_0 a^2}{16} [1 + \mu - (1 + 3\mu) \rho^2]$$

$$\rho = 0 \text{ için } M_r = M_\varphi = \frac{p_0 a^2}{16} (1 + \mu)$$

$$\rho = 1 \text{ için } M_r = - \frac{p_0 a^2}{8} ; \quad M_\varphi = - \mu \frac{p_0 a^2}{8}$$



Serbest ve ankastre mesnetlermiş plakların karşılaştırılması :

Sehimler

$$W_{\max} (\text{ankastre}) = \frac{P_0 a^4}{64 D}$$

$$W_{\max} (\text{serbest}) = \frac{P_0 a^4}{64 D} \cdot \frac{5 + \mu}{1 + \mu} \quad \frac{W_{\text{ank.}}}{W_{\text{ser.}}} = \frac{1 + \mu}{5 + \mu} \approx \frac{1}{5}$$

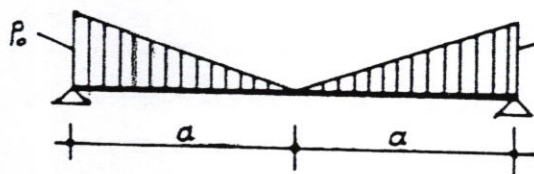
Momentler

$\rho=0$  için

$$M_r (\text{ankastre}) = \frac{P_0 a^2}{16} (1 + \mu)$$

$$M_r (\text{serbest}) = \frac{P_0 a^2}{16} (3 + \mu) \quad \frac{M_r (\text{ank})}{M_r (\text{ser})} = \frac{1 + \mu}{3 + \mu} \approx \frac{1}{3}$$

Örnek 4.3. Serbest mesnetli, lineer artan yük altındaki dairesel plak.



$$W_p = \frac{P_0 a^4}{225 D} \cdot \rho^5$$

$$W = C_1 + C_3 \rho^2 + \frac{P_0 a^4}{225 D} \cdot \rho^5$$

sınır şartları : 1)  $W|_{\rho=1} = 0 \quad C_1 + C_3 + \frac{P_0 a^4}{225 D} = 0$

2)  $M|_{\rho=1} = 0 \quad -\frac{D}{a^2} \left( \frac{d^2 W}{d\rho^2} + \frac{\mu}{\rho} \frac{dW}{d\rho} \right)_{\rho=1} = 0$

$$\frac{dW}{d\rho} = 2 C_3 \rho + \frac{P_0 a^4}{45 D} \cdot \rho^4$$

$$\frac{d^2 W}{d\rho^2} = 2 C_3 + \frac{4 P_0 a^4}{45 D} \cdot \rho^3$$

$$\left[ 2C_3 + \frac{4 P_0 a^4}{45 D} \rho^3 + \frac{\mu}{\rho} \left( 2 C_3 \rho + \frac{P_0 a^4}{45 D} \cdot \rho^4 \right) \right]_{\rho=1} = 0$$

$$2 C_3 + \frac{4 P_0 a^4}{45 D} + \mu \left( 2 C_3 + \frac{P_0 a^4}{45 D} \right) = 0$$

$$2 C_3 (1 + \mu) = - \frac{P_0 a^4}{45 D} (4 + \mu)$$

$$C_3 = -\frac{p_0 a^4}{90 D} \cdot \frac{4 + \mu}{1 + \mu}$$

$$C_1 = -C_3 - \frac{p_0 a^4}{225 D} = \frac{p_0 a^4}{90 D} \cdot \frac{4 + \mu}{1 + \mu} - \frac{p_0 a^4}{225 D}$$

$$C_1 = \frac{p_0 a^4}{45 D} \left[ \frac{4 + \mu}{2(1 + \mu)} - \frac{1}{5} \right]$$

$$W = \frac{p_0 a^4}{45 D} \left[ \frac{4 + \mu}{2(1 + \mu)} - \frac{1}{5} \right] - \frac{p_0 a^4}{90 D} \cdot \frac{4 + \mu}{1 + \mu} \cdot \rho^2 + \frac{p_0 a^4}{225 D} \cdot \rho^5$$

$$W = \frac{p_0 a^4}{45 D} \left[ \frac{4 + \mu}{2(1 + \mu)} - \frac{1}{5} - \frac{4 + \mu}{2(1 + \mu)} \cdot \rho^2 + \frac{1}{5} \rho^5 \right]$$

$$W = \frac{p_0 a^4}{45 D} \left[ \frac{4 + \mu}{2(1 + \mu)} (1 - \rho^2) - \frac{1}{5} (1 - \rho^5) \right]$$

$$\frac{dW}{d\rho} = \frac{p_0 a^4}{45 D} \left( \rho^4 - \rho \cdot \frac{4 + \mu}{1 + \mu} \right)$$

$$\frac{d^2 W}{d\rho^2} = \frac{p_0 a^4}{45 D} \left( 4\rho^3 - \frac{4 + \mu}{1 + \mu} \right)$$

$$M_r = -\frac{D}{a^2} \left( \frac{d^2 W}{d\rho^2} + \frac{\mu}{\rho} \cdot \frac{dW}{d\rho} \right)$$

$$M_\varphi = -\frac{D}{a^2} \left( \frac{1}{\rho} \cdot \frac{dW}{d\rho} + \mu \cdot \frac{d^2 W}{d\rho^2} \right)$$

Yukardaki değerler yerlerine yazılırsa :

$$M_r = \frac{p_0 a^2}{45} (4 + \mu) (1 - \rho^3)$$

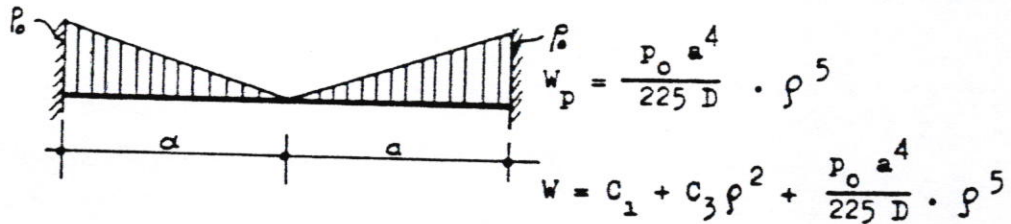
$$M_\varphi = \frac{p_0 a^2}{45} \left[ (4 + \mu) - (1 + 4\mu) \rho^3 \right]$$

bulunur.

$$\rho = 0 \text{ için } M_r = M_\varphi = \frac{p_0 a^2}{45} (4 + \mu)$$

$$\rho = 1 \text{ için } M_r = 0 ; M_\varphi = \frac{p_0 a^2}{15} (1 - \mu)$$

Örnek 4.4. Lineer artan yük etkisinde anakastre dairesel plak



Sınır şartları :

$$W \Big|_{\rho=1} = 0 \quad ; \quad \frac{dW}{d\rho} \Big|_{\rho=1} = 0$$

$$1) C_1 + C_3 + \frac{P_0 a^4}{225 D} = 0 \quad ; \quad C_3 = -\frac{P_0 a^4}{90 D}$$

$$2) 2C_3 + \frac{P_0 a^4}{45 D} = 0 \quad ; \quad C_1 = \frac{P_0 a^4}{150 D}$$

$$W = \frac{P_0 a^4}{225 D} \cdot \rho^5 - \frac{P_0 a^4}{90 D} \cdot \rho^2 + \frac{P_0 a^4}{150 D} = \frac{P_0 a^4}{15 D} \left( \frac{\rho^5}{15} - \frac{\rho^2}{6} + \frac{1}{10} \right)$$

$$\frac{dW}{d\rho} = \frac{P_0 a^4}{45 D} \cdot \rho^4 - \frac{P_0 a^4}{45 D} \cdot \rho = \frac{P_0 a^4}{45 D} \cdot \rho (\rho^3 - 1)$$

$$\frac{d^2 W}{d\rho^2} = \frac{4 P_0 a^4}{45 D} \cdot \rho^3 - \frac{P_0 a^4}{45 D} = \frac{P_0 a^4}{45 D} (4\rho^3 - 1)$$

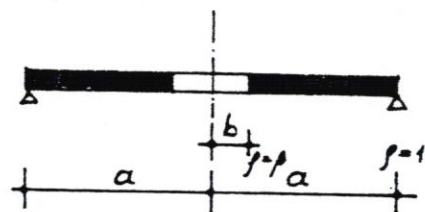
$$M_r = -\frac{D}{a^2} \left( \frac{d^2 W}{d\rho^2} + \frac{\mu}{\rho} \cdot \frac{dW}{d\rho} \right) = \frac{P_0 a^2}{45} \left[ 1 + \mu - (4 + \mu) \rho^3 \right]$$

$$M_\varphi = -\frac{D}{a^2} \left( \frac{1}{\rho} \cdot \frac{dW}{d\rho} + \mu \frac{d^2 W}{d\rho^2} \right) = \frac{P_0 a^2}{45} \left[ 1 + \mu - (1 + 4 \mu) \rho^3 \right]$$

$$\rho=0 \text{ için } M_r = M_\varphi = \frac{P_0 a^2}{45} (1 + \mu)$$

$$\rho=1 \text{ için } M_r = -\frac{P_0 a^2}{15} ; \quad M_\varphi = -\frac{P_0 a^2}{15} \cdot \mu$$

#### 4.2.5 - Ortasında boşluğu olan dairesel plaklar



$\beta = b/a$  diyelim. Ortadaki maddi bir nokta olmadığı için  $C_2 \neq 0$ ,  $C_4 \neq 0$  olur.

$$W_h = C_1 + C_2 \ln \rho + C_3 \rho^2 + C_4 \rho^2 \cdot \ln \rho$$

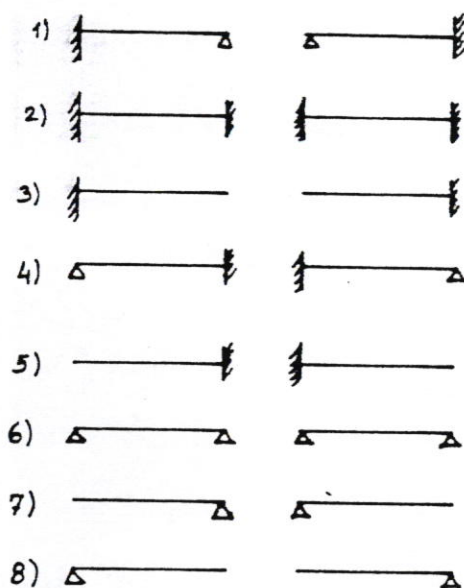
olur. Hesaplanması gereken 4 integral sabiti vardır. Bu sabitler mesnetlerdeki sınır şartları yardımıyla hesaplanır. Değişik mesnet şartları olabilir.

Mesnetler için genel olarak şunlar söylebilir.

##### Serbest mesnet:

$$1) W \Big|_{\rho=\rho_0} = 0$$

$$2) M_r \Big|_{\rho=\rho_0} = 0$$



Şekil 4.4. Boşluklu dairesel plaklarda çeşitli mesnetlenme şekilleri

##### Ankastre mesnet:

$$1) W \Big|_{\rho=\rho_0} = 0$$

$$2) \frac{dW}{dr} \Big|_{\rho=\rho_0} = 0$$

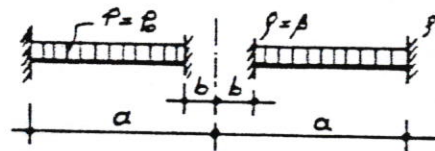
##### Bosta kenar:

$$1) M_r \Big|_{\rho=\rho_0} = 0$$

$$2) Q_r \Big|_{\rho=\rho_0} = 0$$

Böylece iç mesnet ve dış mesnet için yazılacak ikişer sınır şartı yardımıyla  $C_1, C_2, C_3, C_4$  sabitleri hesaplanır.

Örnek 4.5. Dış ve iç kenarlarından ankastre, düzgün yayılı yükle yüklü ortasında boşluğu olan dairesel plak :



$$W = C_1 + C_2 \ln \beta + C_3 \beta^2 + C_4 \beta^2 \cdot \ln \beta + \frac{p_0 a^4}{64 D} \beta^4$$

$$\frac{dW}{d\beta} = C_2 + \frac{1}{\beta} + 2C_3 \beta + C_4 (2\beta \cdot \ln \beta + 1) + \frac{p_0 a^4}{16 D} \cdot \beta^3$$

Mesnet şartları :

a) iç mesnet : 1)  $W \Big|_{\beta=\beta} = 0$  2)  $\frac{dW}{d\beta} \Big|_{\beta=1} = 0$

$$1) C_1 + C_2 \cdot \ln \beta + C_3 \cdot \beta^2 + C_4 \cdot \beta^2 \ln \beta + \frac{p_0 a^4}{64 D} \beta^4 = 0$$

$$2) C_2 \frac{1}{\beta} + 2C_3 \beta + C_4 \beta (2 \ln \beta + 1) + \frac{p_0 a^4}{16 D} \beta^3 = 0$$

b) Dış mesnet : 3)  $W \Big|_{\beta=1} = 0$  4)  $\frac{dW}{d\beta} \Big|_{\beta=1} = 0$

$$3) C_1 + 0 + C_3 + 0 + \frac{p_0 a^4}{64 D} = 0$$

$$4) C_2 + 2C_3 + C_4 + \frac{p_0 a^4}{16 D} = 0$$

$$\begin{bmatrix} 1 & \ln \beta & \beta^2 & \beta^2 \cdot \ln \beta \\ 0 & \frac{1}{\beta} & 2\beta & \beta(2 \ln \beta + 1) \\ 1 & 0 & 1 & 0 \\ 0 & 1 & 2 & 1 \end{bmatrix} \begin{Bmatrix} C_1 \\ C_2 \\ C_3 \\ C_4 \end{Bmatrix} = - \frac{p_0 a^4}{64 D} \begin{Bmatrix} \beta^4 \\ 4\beta^3 \\ 1 \\ 4 \end{Bmatrix}$$

Katsayılar determinanı :

$$\Delta = \begin{vmatrix} \frac{1}{\beta} & 2\beta & \beta(2 \ln \beta + 1) \\ 0 & 1 & 0 \\ 1 & 2 & 1 \end{vmatrix} + \begin{vmatrix} \ln \beta & \beta^2 & \beta^2 \cdot \ln \beta \\ \frac{1}{\beta} & 2\beta & \beta(2 \ln \beta + 1) \\ 1 & 2 & 1 \end{vmatrix}$$

$$\Delta = \frac{1}{\beta} + \beta^3 - 2\beta [1 + 2(\ln\beta)^2]$$

$$\Delta_1 = -\frac{p_0 a^4}{64 D} \begin{vmatrix} \beta^4 & \ln\beta & \beta^2 & \beta^2 \ln\beta \\ 4\beta^3 & \frac{1}{\beta} & 2\beta & \beta(2\ln\beta + 1) \\ 1 & 0 & 1 & 0 \\ 4 & 1 & 2 & 1 \end{vmatrix}$$

$$\Delta_1 = \frac{p_0 a^4}{64 D} \left\{ \beta [(\beta^2 - 1)^2 (1 - 2\ln\beta) - (2\ln\beta)^2] \right\}$$

$$\Delta_2 = -\frac{p_0 a^4}{64 D} \begin{vmatrix} 1 & \beta^4 & \beta^2 & \beta^2 \ln\beta \\ 0 & 4\beta^3 & 2\beta & \beta(2\ln\beta + 1) \\ 1 & 1 & 1 & 0 \\ 0 & 4 & 2 & 1 \end{vmatrix}$$

$$\Delta_2 = \frac{p_0 a^4}{16 D} \left\{ \beta (\beta^2 - 1) [(\beta^2 - 1) - \ln\beta(\beta^2 + 1)] \right\}$$

veya

$$\Delta_2 = \frac{p_0 a^4}{16 D} \left\{ \beta [(\beta^2 - 1)^2 - \ln\beta(\beta^4 - 1)] \right\}$$

$$\Delta_3 = -\frac{p_0 a^4}{64 D} \begin{vmatrix} 1 & \ln\beta & \beta^4 & \beta^2 \ln\beta \\ 0 & \frac{1}{\beta} & 4\beta^3 & \beta(2\ln\beta + 1) \\ 1 & 0 & 1 & 0 \\ 0 & 1 & 4 & 1 \end{vmatrix}$$

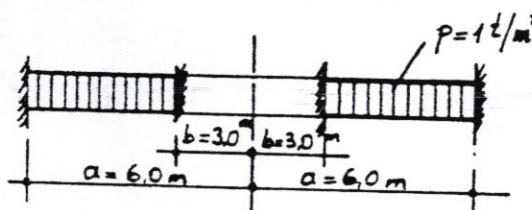
$$\Delta_3 = \frac{p_0 a^4}{64 D} \left\{ \beta [1 + \beta^2(1 - \beta^2) + 2\ln\beta(\beta^2 - 1)^2 + 2(2\ln\beta)^2] - \frac{1}{\beta} \right\}$$

$$\Delta_4 = -\frac{p_0 a^4}{64 D} \begin{vmatrix} 1 & \ln\beta & \beta^2 & \beta^4 \\ 0 & \frac{1}{\beta} & 2\beta & 4\beta^3 \\ 1 & 0 & 1 & 1 \\ 0 & 1 & 2 & 4 \end{vmatrix}$$

$$\Delta_4 = \frac{p_0 a^4}{32 D} \left\{ \beta \left[ (\beta^2 - 1) (4 \ln \beta - \beta^2) + 1 \right] - \frac{1}{\beta} \right\}$$

$$c_1 = \frac{\Delta_1}{\Delta} \quad c_2 = \frac{\Delta_2}{\Delta} \quad c_3 = \frac{\Delta_3}{\Delta} \quad c_4 = \frac{\Delta_4}{\Delta}$$

Sayısal uygulama :



$$a = 6,0 \text{ m} ; b = 3,0 \text{ m} ; h = 0,30 \text{ m}$$

$$E = 2,1 \cdot 10^6 \text{ t/m}^2$$

$$\mu = 0,15$$

$$D = 4,84 \cdot 10^3 \text{ tm}$$

$$\beta = b/a = 0,5$$

$$\ln \beta = -0,693$$

$$\Delta = \frac{1}{\beta} + \beta^3 - 2\beta \left[ 1 + (\ln \beta)^2 \right] = \frac{1}{0,5} + 0,5^3 - 2 \cdot 0,5 \left[ 1 + 2(-0,693)^2 \right]$$

$$\Delta = 2 + 0,125 - (1 + 0,96)$$

$$\underline{\Delta = 0,165}$$

$$\Delta_1 = \frac{p_0 a^4}{64 D} \left\{ \beta \left[ (\beta^2 - 1)^2 (1 - 2 \ln \beta) - (2 \ln \beta)^2 \right] \right\}$$

$$\frac{p_0 a^4}{64 D} = \frac{1 \cdot 6^4}{64 \cdot 4,84 \cdot 10^3} = 4,18 \cdot 10^{-3}$$

$$\Delta_1 = 4,18 \cdot 10^{-3} \left\{ 0,5 \left[ (0,25 - 1)^2 (1 + 2 \cdot 0,693) - (2 \cdot 0,693)^2 \right] \right\}$$

$$\Delta_1 = -1,21 \cdot 10^{-3}$$

$$\Delta_2 = \frac{p_0 a^4}{16 D} \left\{ \beta (\beta^2 - 1) \left[ (\beta^2 - 1) - \ln \beta (\beta^2 + 1) \right] \right\}$$

$$\Delta_2 = 4 \cdot 4,18 \cdot 10^{-3} \left[ 0,5(-0,75) (-0,75 + 0,693 \cdot 1,25) \right]$$

$$\Delta_2 = -0,729 \cdot 10^{-3}$$

$$\Delta_3 = \frac{p_0 a^4}{64 D} \left\{ \beta \left[ 1 + \beta^2 (1 - \beta^2) + 2 \ln \beta (\beta^2 - 1)^2 + 2(2 \ln \beta)^2 \right] - \frac{1}{\beta} \right\}$$

$$\Delta_3 = 4,18 \cdot 10^{-3} \left\{ 0,5 \left[ 1 + 0,25 \cdot 0,75 - 2 \cdot 0,693 \cdot 0,75^2 + 2(2 \cdot 0,693)^2 \right] - 2 \right\}$$

$$\Delta_3 = 0,522 \cdot 10^{-3}$$

$$\Delta_4 = \frac{p_o a^4}{32 D} \left\{ \beta \left[ (\beta^2 - 1) (4 \ln \beta - \beta^2) + 1 \right] - \frac{1}{\beta} \right\}$$

$$\Delta_4 = 2 \cdot 4,18 \cdot 10^{-3} \left\{ 0,5 \left[ -0,75 (-4 \cdot 0,693 - 0,25) + 1 \right] - 2 \right\}$$

$$\Delta_4 = -3,066 \cdot 10^{-3}$$

$$c_1 = -7,333 \cdot 10^{-3}$$

$$c_3 = +3,164 \cdot 10^{-3}$$

$$c_2 = -4,418 \cdot 10^{-3}$$

$$c_4 = -18,582 \cdot 10^{-3}$$

$$W = c_1 + c_2 \cdot \ln \rho + c_3 \rho^2 + c_4 \cdot \rho^2 \cdot \ln \rho + \frac{p_o a^4}{64 D} \cdot \rho^4$$

$$W = 10^{-3} (-7,333 - 4,418 \cdot \ln \rho + 3,164 \rho^2 - 18,582 \rho^2 \cdot \ln \rho + 4,18 \rho^4)$$

$$\frac{dW}{d\rho} = 10^{-3} \left( -4,418 \cdot \frac{1}{\rho} + 6,328 \rho - 18,582 \rho (2 \ln \rho + 1) + 16,72 \rho^3 \right)$$

$$\frac{dW}{d\rho} = 10^{-3} \left( -4,418 \cdot \frac{1}{\rho} - 12,254 \rho - 37,164 \rho \cdot \ln \rho + 16,72 \rho^3 \right)$$

$$\frac{d^2 W}{d\rho^2} = 10^{-3} \left( +4,418 \cdot \frac{1}{\rho^2} - 12,254 - 37,164 \cdot (\ln \rho + 1) + 50,16 \rho^2 \right)$$

$$\frac{d^2 W}{d\rho^2} = 10^{-3} \left( 50,16 \rho^2 - 37,164 \ln \rho + 4,418 \cdot \frac{1}{\rho^2} - 49,418 \right)$$

$$M_r = -\frac{D}{a^2} \left( \frac{d^2 W}{d\rho^2} + \mu \frac{dW}{d\rho} \right)$$

$$= -\frac{4,84}{36} \left[ 50,16 \rho^2 - 37,164 \cdot \ln \rho + 4,418 \cdot \frac{1}{\rho^2} - 49,418 + 0,15(16,72 \rho^2 - 37,164 \ln \rho - 4,418 \cdot \frac{1}{\rho^2} - 12,254) \right]$$

$$M_r = -7,081 \rho^2 + 5,746 \ln \rho - 0,505 \cdot \frac{1}{\rho^2} + 6,891$$

$$M_\varphi = -\frac{D}{a^2} \left( \frac{1}{\rho} \cdot \frac{dW}{d\rho} + \mu \frac{d^2 W}{d\rho^2} \right)$$

$$M_\varphi = -\frac{4,84}{36} \left[ 16,72 \rho^2 - 37,164 \ln \rho - 4,418 \cdot \frac{1}{\rho^2} - 12,254 + 0,15(50,16 \rho^2 - 37,164 \ln \rho + 4,418 \frac{1}{\rho^2} - 49,418) \right]$$

$$M_\varphi = -3,260 \rho^2 + 5,746 \ln \rho + 0,505 \cdot \frac{1}{\rho^2} + 2,644$$

$$Q_r = -3,0 \rho + 1,67 \cdot \frac{1}{\rho}$$

$\rho = 1$  için (Dış mesnet)

$$M_x = - 7,081 - 0,505 + 6,891 = - 0,695 \text{ tm/m}$$

$$M_y = - 3,26 + 0,505 + 2,644 = - 0,111 \text{ tm/m}$$

$$Q_x = - 3 + 1,67 = - 1,33 \text{ t/m}$$

$\rho = 0,50$  için (İç moment)

$$M_x = - 7,081 \cdot 0,25 - 5,746 \cdot 0,693 - 0,505 \cdot 4 + 6,891 = - 0,881 \text{ tm/m}$$

$$M_y = - 3,26 \cdot 0,25 - 5,746 \cdot 0,693 + 0,505 \cdot 4 + 2,644 = - 0,133 \text{ tm/m}$$

$$Q_x = - 3,0 \cdot 0,5 + 1,67 \cdot 2 = 1,84 \text{ t/m}$$

E K - A -

FOURIER SERİLERİ (\*)

Fourier serileri, uygulamalı mekanığın alanına giren birçok problemin analitik çözümünde vazgeçilmez araç durumundadır. Elastisite teorisindeki kısmi türevli diferansiyel denklemlerin çözümü de bunlardan biridir.

a) Tek Fourier Serileri:

$y = f(x)$  şeklinde verilmiş olan herhangi bir fonksiyon, ( $\sin$ ) ve ( $\cos$ )'lu terimleri içeren sonsuz bir seriye açılabilir. Eğer  $f(x)$  periyodik bir fonksiyon ise ( $yani f(x) = f(x + T)$  ise) :

$$f(x) = \frac{1}{2} A_0 + A_1 \cdot \cos \frac{2\pi x}{T} + A_2 \cdot \cos \frac{4\pi x}{T} + \dots + A_n \cdot \cos \frac{2n\pi x}{T} + \dots \dots \dots$$

$$+ B_1 \cdot \sin \frac{2\pi x}{T} + B_2 \cdot \sin \frac{4\pi x}{T} + \dots + B_n \cdot \sin \frac{2n\pi x}{T} + \dots \dots \dots$$
(A.1)

yazılabilir. Ya da daha kısa bir biçimde :

$$f(x) = \frac{1}{2} A_0 + \sum_{n=1}^{\infty} A_n \cdot \cos n\omega x + \sum_{n=1}^{\infty} B_n \cdot \sin n\omega x$$
(A.2)

$$\omega = \frac{2\pi}{T}$$
(A.3)

$A_0$ ,  $A_n$ ,  $B_n$  katsayıları Fourier Katsayıları olarak adlandırılır ve şöyle hesaplanır :

$$A_0 = \frac{2}{T} \int_0^T f(x) dx$$

$$A_n = \frac{2}{T} \int_0^T f(x) \cos n\omega x dx$$

$$B_n = \frac{2}{T} \int_0^T f(x) \sin n\omega x dx$$
(A.4)

$$(n = 1, 2, 3, \dots)$$

---

(\*) Fourier Serileri ile ilgili daha geniş bilgi için /2/ ye bakınız.

Eğer  $f(x)$  fonksiyonu, analitik bir formda verilmemişse veya söz konusu integralin alınması güç ise, bu integraller bir toplamla ifade edilebilir. Bunun için  $T$  periyodu ( $2m$ ) aralığa bölünürse, Fourier katsayıları : ( $T = 2m$ )

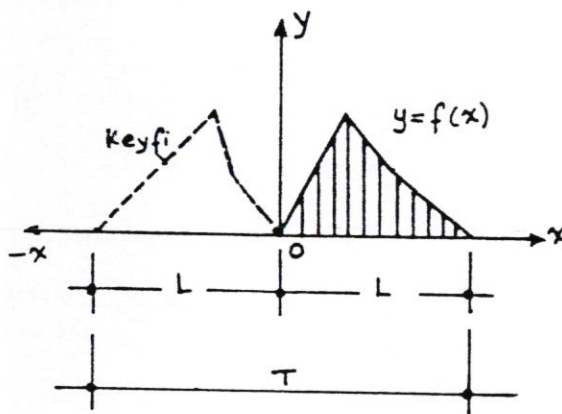
$$A_0 = \frac{1}{m} \sum_{k=0}^{2m-1} y_k$$

$$A_n = \frac{1}{m} \sum_{k=0}^{2m-1} y_k \cdot \cos \frac{k \cdot n \pi}{m} \quad (A.5)$$

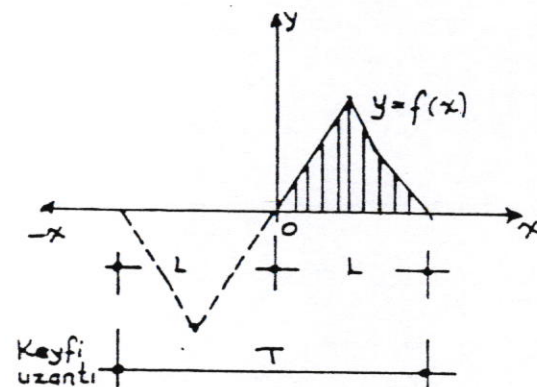
$$B_n = \frac{1}{m} \sum_{k=0}^{2m-1} y_k \cdot \sin \frac{k \cdot n \pi}{m}$$

$$(k=0,1,2,\dots,2m; n=1,2,3..m)$$

Eğer  $f(x)$  fonksiyonu periyodik değilse, kendi aralığı dışında keyfi olarak uzatarak periyodik hale getirmek mümkündür. Bu keyfi uzantı düz harmonik (çift harmonik), ters (tek) harmonik olabilir.



Çift harmonik fonksiyon



Tek harmonik fonksiyon

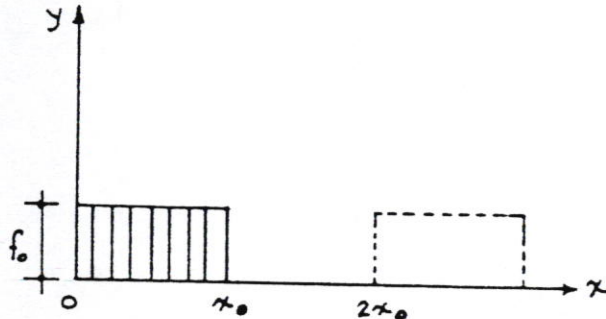
Birçok halde  $f(x)$  fonksiyonunu bir ( $L$ ) aralığında ifade etmek gereklidir. O zaman fonksiyon  $T = 2L$  periyodu ile serise açmak ve başlangıç noktasını merkez kabul etmek uygun olur.

Bir  $f(x)$  fonksiyonunu yalnızca cosinus terimleri ile ifa-

de etmek gerektiğini varsayıyalım; o zaman keyfi bir uzatma yaparak, fonksiyonu  $X$ 'e göre çift fonksiyon haline getiririz. Böylece :  $f(x) = f(-x)$  eşitliği sağlanır, fonksiyon da periyodik hale getirilmiş olur ve böylece (A.2) bağıntısındaki sinüs terimleri integrasyon sırasında ortadan kalkar. Aynı şekilde  $f(x)$ 'i bir tek fonksiyon haline getirirsek  $f(x) = -f(-x)$  sağlanır ve cosinüslü terimler integrasyon işleminde ortadan kalkar ve sinüslü terimlerden oluşan bir Fourier açılımı elde edilir. Böylece  $A_0$  -(A.1) bağıntısından görüldüğü gibi cosinus serisinin bir terimidir - sıfır olur. Örneğin serbest mesnetteki bir sınır şartının sağlanması mümkün olabilir.

#### Tek Fourier Serisi açılımı için örnek :

Aşağıdaki şekilde gösterilmiş olan  $y = f(x)$  fonksiyonunu ; Sabit terim, sinüs ve cosinüslü terimleri içeren Fourier Serisine açın .



$$f(x) = \begin{cases} 0 & \text{für } 0 \leq x \leq x_0 \\ f_0 & \text{für } x_0 \leq x \leq 2x_0 \end{cases}$$

Tam seriye açılım : Açılımın periyodu  $T = 2x_0$ , Sabit Terim :

$$A_0 = \frac{1}{x_0} \int_0^{2x_0} f(x) dx = \frac{1}{x_0} \int_0^{x_0} f_0 dx = \frac{f_0}{x_0} [x]_0^{x_0} = f_0$$

$$A_n = \frac{1}{x_0} \int_0^{2x_0} f(x) \cos \frac{n\pi x}{x_0} dx = 0 \quad (n = 1, 2, 3, \dots)$$

$$B_n = \frac{1}{x_0} \int_0^{2x_0} f(x) \sin \frac{n\pi x}{x_0} dx = \frac{f_0}{x_0} \int_0^{x_0} \sin \frac{n\pi x}{x_0} dx = -\frac{f_0}{n\pi} (\cos n\pi - 1)$$

$$B_n = \frac{2f_0}{n\pi} \quad (n = 1, 3, 5, \dots)$$

$$B_n = 0 \quad (n = 2, 4, 6, \dots)$$

$$A_0 = f_0$$

$$A_n = 0 \quad (n = 1, 2, 3, \dots)$$

$$B_n = \begin{cases} \frac{2f_0}{n\pi} & (n = 1, 3, 5, \dots) \\ 0 & (n = 2, 4, 6, \dots) \end{cases}$$

$$f(x) = \frac{f_0}{2} + \frac{2f_0}{\pi} \left( \sin \frac{\pi x}{x_0} + \frac{1}{3} \sin \frac{3\pi x}{x_0} + \frac{1}{5} \sin \frac{5\pi x}{x_0} + \dots + \frac{1}{n} \sin \frac{n\pi x}{x_0} \right)$$

$$f(x) = \frac{f_0}{2} + \frac{2f_0}{\pi} \sum \frac{1}{n} \cdot \sin \frac{n\pi x}{x_0} \quad (n = 1, 3, 5, \dots)$$

### b) Çift Fourier Sérileri

Plakların incelenmesinde, genellikle, verilen bir  $f(x, y)$  fonksiyonu,  $x$  ve  $y$  değişkenlerine göre, bir sinüs serisine açılır.

$$f(x, y) = \sum_{m=1}^{\infty} \sum_{n=1}^{\infty} F_{mn} \cdot \sin \frac{m\pi x}{a} \cdot \sin \frac{n\pi y}{b} \quad (A.6)$$

Bu ifade, periyod olarak  $T = 2a$  ve  $T = 2b$  değerlerinin kullanıldığı "y" ye göre sinüs açılımı ile çarpılan; "x" e göre sinüs açılımını göstermektedir.  $F_{mn}$  katsayılarını elde edebilmek için yukarıdaki ifadenin her iki tarafını önce  $\sin(\frac{k\pi y}{b}) dy$  ile çarpıp; sonra o ile  $b$  arasında integre edelim.

$$\int_0^b f(x, y) \cdot \sin \frac{k\pi y}{b} dy = \sum_{m=1}^{\infty} \sum_{n=1}^{\infty} F_{mn} \cdot \sin \frac{m\pi x}{a} \int_0^b \sin \frac{n\pi y}{b} \cdot \sin \frac{k\pi y}{b} dy$$

$$k \neq n \text{ için } \int_0^b \sin \frac{n\pi y}{b} \cdot \sin \frac{k\pi y}{b} dy = 0$$

$$k = n \text{ için } \int_0^b \sin^2 \frac{n\pi y}{b} dy = \frac{b}{2}$$

Benzer yaklaşım  $x$  değişkeni için de yapılırsa:

$$\int_0^a \sin^2 \frac{m\pi x}{a} dx = \frac{a}{2}$$

$$F_{mn} \cdot \frac{a}{2} \cdot \frac{b}{2} = \iint_0^a_0 f(x, y) \cdot \sin \frac{m\pi x}{a} \cdot \sin \frac{n\pi y}{b} dx dy$$

$$F_{mn} = \frac{4}{ab} \iint_{0,0}^{a,b} f(x,y) \cdot \sin \frac{n\pi x}{a} \cdot \sin \frac{m\pi y}{b} dx dy \quad (A.7)$$

bulunur. Kartezien koordinat sisteminde  $x=0$ ;  $x=a$  ve  $y=0$ ;  $y=b$  ile sınırlanmış bir alan boyunca sabit olan  $f(x,y)$  fonksiyonunu çift Fourier serisine açalım.

$$f(x,y) = f_0$$

Katsayılar :

$$\begin{aligned} F_{mn} &= \frac{4f_0}{ab} \int_0^a \sin \frac{n\pi x}{a} dx \int_0^b \sin \frac{m\pi y}{b} dy \\ &= \frac{4f_0}{ab} \cdot \frac{a}{n\pi} \left[ -\cos \frac{n\pi x}{a} \right]_0^a \cdot \frac{b}{m\pi} \left[ -\cos \frac{m\pi y}{b} \right] \\ &= \frac{4f_0}{\pi n m} (-\cos n\pi + 1) (-\cos m\pi + 1) \\ F_{mn} &\left\{ \begin{array}{ll} = \frac{16f_0}{\pi^2 mn} & (\pi, n = 1, 3, 5, \dots) \\ = 0 & (\pi, n = 2, 4, 6, \dots) \end{array} \right. \end{aligned}$$

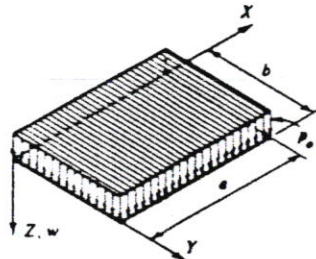
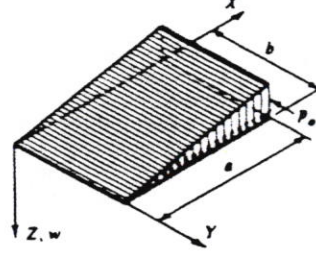
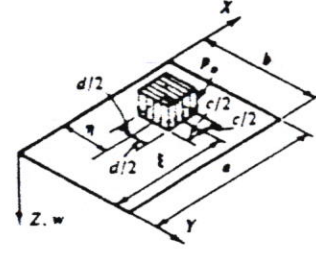
Bulunan  $F_{mn}$  değeri (A.6) da yerine yazılırsa :

$$f(x,y) = \frac{16f_0}{\pi^2} \sum_m \sum_n \frac{1}{mn} \cdot \sin \frac{n\pi x}{a} \cdot \sin \frac{m\pi y}{b} \quad (A.8)$$

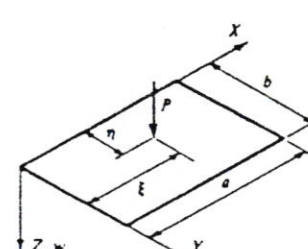
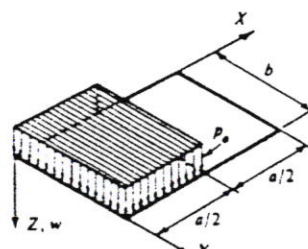
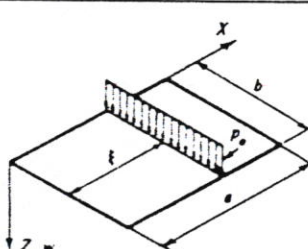
elde edilir.

Aşağıda çok kullanılan bazı yıldızların, çift Fourier serisine açılızında (A.7) den bulunan açılım katsayıları verilmiştir.

TABLO A.1 YÜKLERİN ÇİFT FOURIER SERİSİNE AÇILIMI

No.	YÜK	AÇILIM KATSAYILARI $P_{mn}$
1	$p_z(x, y) = \sum_m \sum_n P_{mn} \sin \frac{m\pi x}{a} \sin \frac{n\pi y}{b}$ 	$P_{mn} = \frac{16p_0}{\pi^2 mn}$ $(m, n = 1, 3, 5, \dots)$
2		$P_{mn} = -\frac{8p_0 \cos mx}{\pi^2 mn}$ $(m, n = 1, 3, 5, \dots)$
3		$P_{mn} = \frac{16p_0}{\pi^2 mn} \sin \frac{m\pi\xi}{a} \sin \frac{n\pi\eta}{b}$ $\times \sin \frac{m\pi c}{2a} \sin \frac{n\pi d}{2b}$ $(m, n = 1, 2, 3, \dots)$

TABLO A.1 (Devam)

No.	YÜK	AÇILIM KATSAYILARI $P_{mn}$
4	$p_z(x, y) = \sum_m \sum_n P_{mn} \sin \frac{m\pi x}{a} \sin \frac{n\pi y}{b}$ 	$P_{mn} = \frac{4P}{ab} \sin \frac{m\pi \xi}{a} \sin \frac{n\pi \eta}{b}$ $(m, n = 1, 2, 3, \dots)$
5		$P_{mn} = \frac{8p_0}{\pi^2 mn}$ for $m, n = 1, 3, 5, \dots$ $P_{mn} = \frac{16p_0}{\pi^2 mn}$ for $\begin{cases} m = 2, 6, 10, \dots \\ n = 1, 3, 5, \dots \end{cases}$
6		$P_{mn} = \frac{4p_0}{\pi a n} \sin \frac{m\pi \xi}{a}$ $(m, n = 1, 2, 3, \dots)$

## K A Y N A K L A R

- 1 . Berdan , Y. , " Plak Teorisi " Lisans Üstü ders notları  
(basılmamış.)
- 2 . Szilard , R. , " Theory and Analysis of Plates " ,  
Prentice - Hall , INC. , 1974.
- 3 . Park , R. , and Gamble , W.L. , " Reinforced Concrete Slabs" ,  
John Wiley and Sons , 1980 .
- 4 . Wood , R.H. , " Plastic and Elastic Design of Slabs and  
Plates " , Thames and Hudson , London , 1961 .
- 5 . Zienkiewicz , O.C. , and Cheung , Y.K. , " The Finite Ele-  
ment Method in Structural and Continuum Mechanics " ,  
Mc Graw Hill , 1971 .
- 6 . Özden , K. , " İnce Plaklar Teorisine Kısa Bir Bakış " ,  
2.baskı. İTÜ İnşaat Fakültesi , 1975 .